

Kliniğimizde Görülen Termde Düşük Kilolu Bebeklerin Değerlendirilmesi*

Dr. Ali Ayhan** / Dr. Hüsnü A. Kişnişçi** / Dr. Kunter Yüce***

Düşük kilolu bebek (LBW),⁺ gebelik yaşına göre küçük çocuk (SGA),⁺⁺ intrauterin büyümeye geriliği (IGR)⁺⁺⁺ ve termde düşük kilolu bebek (TLBW)⁺⁺⁺⁺ sözcükleri aynı eylemi ifade etmek için kullanılan deyimlerdir.^{6, 16} Bugün, SGA ve IGR sözcüklerinin daha lojik olduğu anlaşılmıştır.

Düşük kilolu bebek, bütün doğumların % 10.4 ünү, gebelik yaşına göre düşük kilolu bebekler ise bütün doğumların % 4.3 ünү teşkil etmektedir.¹⁶ Termde düşük kilolu bebekler ise bütün doğumların % 1 ini oluşturmaktadır.⁶ İntrauterin gelişme geriliği ise bütün canlı doğumların % 5 ini ve 2500 gramın altındakilerinde 1/3 ünү oluşturur.¹³ Ayrıca, 2500 gramın altındaki çocukların % 15 ini termde olduğu görülmektedir.²

Düşük kilolu bebeklerin ortaya çıkışına sebep olan faktörler, çevresel, maternal, fötal ve plasental olabilir.¹³ Bunlardan, anne ile ilgili olanlar arasında annenin gebelikte aldığı kilo, annenin boyu, enfeksiyonları (üst solunum yolu, ürogenital sistem, rubeolla, toksoplazmosis, listeriozis, sifiliz ve bazı viral hastalıklar), sistemik hastalıkları (kronik nefrit, kronik hipertansif-vasküler hastalıklar, kalp hastalıkları, annenin anemisi), toksikoz, yaşı, paritesi, skarlı uterus ve özellikle sigara içmesi sayılabilir.^{1, 4, 5, 8, 10, 13, 15, 19} Çocuğun cinsiyeti de ağırlığında önemli kabul

* Hacettepe Üniversitesi Tıp Fakültesi Kadın Hastalıkları ve Doğum Bilim Dalı Çalışmalarından.

** Aynı Fakülte Kadın Hastalıkları ve Doğum Bilim Dalı Öğretim Üyesi.

*** Aynı Fakülte Kadın Hastalıkları ve Doğum Bilim Dalı Asistanı.

+ LBW : 2500 gramın altındaki yenidöğanlar⁷

++ SGA : Gebelik yaşına göre beklenenin altında kilolular¹⁶

+++ IGR : Gebelik haftasına göre beklenenin % 10 altında kilolular¹³

++++ TLBW : Termde (38-42 hafta) 2500 gram ve altında olanlar⁷

edilmektedir. Fötal konjenital ve genetik nedenlerden ise 16-18 ve 13-15 trisomi, mongolism (% 20), Seckle, Silver, Delange, Turner gibi sendromlar, osteogenezis imperfakta, anencefalus sayılabilir.¹⁹ Ayrıca, küçük, infarktlı, yetersiz plasentalar da söz konusudur.¹⁹

Böyle, düşük kilolu bebek öyküsü olan ve özellikle düşük kilolu bebeği etkileyebilecek faktörlere sahip annelerde yapılması gereken işlemleri söyle sıralayabiliriz:

- Fetal plasental durumun tesbiti
- Fetal olgunluğun saptanması
- Annede mevcut patolojinin tesbiti ve gerekli girişim
- Doğum zamanının tayini

Fetoplasental, kabaca fetal durumu yansıtan testler şunlardır:^{8,16}

- Östriol (fetoplasental ünite)
- Östetrol
- İnsan korionik gonadotropini
- İnsan plasental laktogeni
- Diamin oksidaz (feto-desidual ünite)
- Alfa-fetoprotein
- Non Stress test ve Stress test (OCT)

Fetal olgunluğun saptanmasında kullanılan testler ise şunlardır:

- Lesitin/sfingomyelin
- Amnion sıvısında kreatinin
- Amnion sıvısında bilirubin
- Fetal hücrelerin boyanması
- Ultrasonik biparyatal çap ölçümü

Bu testlerden en çok kullanılanı 24 saatlik idrarda östriol ve amnion sıvısında lesitin/sfingomyelin saptanmasıdır. Bu değerler gebelik yaşına göre değişmektedir. Genellikle lesitin/sfingomyelin 2 ve üzerinde olması, bebeğin sürfaktan yönünden yeterliliğini gösterir. Bu bebekler, 37 ve 38. gebelik haftasında doğurtulmalıdır. Östriolün alt sınır değerleri ise Tablo I'de özetlenmiştir.

TABLO I

8 Gebelik süresi	24 saatlik idrarda östriol (mg.)
İlk trimester	1.0
20. hafta	2.0
30. hafta	7.0
40. hafta	12.0

Saptanan östriolün bu değerlerin altında olması veya önceden saptanmış olan değerin % 50 altına düşmesi, fetal sıkıntıyı gösterir. Ancak bu değerlerin bazı ilaçlarla yaniltıcı sonuç vereceği de unutulmamalıdır.

Çalışmada, kliniğimizde termde düşük kilolu bebek doğurmuş vakaların yaş, parite, çocuk cinsi ve annenin hastalıkları ile bebek ağırlığı arasındaki ilişki araştırılmakta ve gerekli tavsiyelerde bulunulmaktadır.

Materyal ve Metot

Hacettepe Tıp Fakültesi Kadın Hastalıkları ve Doğum Kliniğinde 1.1.1976 ve 1.1.1978 arasındaki iki yıllık sürede total 5008 doğum olmuştur. Bunlardan, 105 vakanın termde düşük kilolu bebek doğurduğu saptandı. Bu vakalar, araştırmamanın materyalini oluşturdu. Araştırma retrospektif planlanıp, doğum defterine kayıtlı protokole göre dosya incelemesi ile yapıldı.

Bulgular

Yukarıda belirtilen sürede 5008 doğumda % 2.09 (105 vaka) düşük kilolu bebek saptandı.

Vakaların en küçüğü 17, en büyüğü de 40 yaşında olup, ortalama yaşı 28.5 idi. Yaşı dağılımı Tablo II'de özetlendi.

TABLO II
YAŞ DAĞILIMI

Yaş grubu	Vaka sayısı	%
20 ve altı	13	12.39
21-24	27	25.71
25-28	39	37.15
29-32	16	15.23
33 ve üzeri	10	9.52
Toplam	105	100.0

% 12.39 vakanın adolesan yaşı grubunda olduğu görülmektedir.

Vakaların gebelik ve doğum sayısı dağılımı Tablo III ve IV' de özet olarak sunuldu.

Gebelik haftası olarak 38-42. haftalar arası alınmış olup, dağılımı Tablo V de verildi.

TABLO III
GEBELİK SAYISI DAĞILIMI

Gebelik sayısı	Vaka sayısı	%
1	54	51.32
2-3	30	28.88
4-5	11	10.38
6 ve üzeri	10	9.42
Toplam	105	100.0

TABLO IV
DOĞUM SAYISI DAĞILIMI

Doğum sayısı	Vaka sayısı	%
1	59	59.19
2-3	35	33.33
4 ve üzeri	11	10.48

TABLO V
GEBELİK HAFTASI DAĞILIMI

Gebelik haftası dağılımı	Vaka sayısı	%
38	27	25.71
39	30	28.57
40	33	31.42
41 ve üzeri	15	14.30
Toplam	105	100.0

Eylem süreleri incelendiğinde hızlı doğum % 13.18 vakada saptandı. Vakaların % 6.62 sinde ise uzamış eylem saptandı. Total eylem süre dağılımı saat olarak aşağıda verildi. (Tablo VI).

Doğum sırasında, vakaların % 29.52 sine anestezi verilmedi. Diğerlerinde ise sırasıyla % 24.76 genel, % 34.28 lokal ve % 11.44 diğer anestezi şekilleri uygulandı.

114 bebeğin geliş şekli ise aşağıda sunuldu. 9 çoğul gebelik (ikiz) mevcuttu (Tablo VII).

TABLO VI
EYLEM SÜRE DAĞILIMI

Eylem süresi	Vaka sayısı	%
3 saat ve altı	12	13.18
301-600	24	26.37
601-900	28	30.76
901-1200	9	9.89
1201-1500	9	9.89
1501-1800	3	3.29
1801- ve üzeri	6	6.62
Toplam*	91	100.0

* Sezaryenle ilgili eylem süresi verilmemiştir.

TABLO VII
BEBEKLERİN GELİŞ ŞEKİLLERİ

Geliş şekli	Vaka sayısı	%
Baş	93	81.57
Makad	17	14.91
Yan geliş	3	2.63
Kol sarkması	1	0.89
Toplam	114	100.0

14 vakada sezaryen uygulandı (% 13.33). Bunların 5 tanesi mükerrer 9 tanesi primer sezaryendi (% 8.56). Sezaryenlerin üçünün ikiz olması nedeni ile, 17 bebek doğurtuldu. Doğum şekli ile ilgili dağılım Tablo VIII de sunuldu.

TABLO VIII
BEBEKLERİN DOĞUM ŞEKLİ

Doğum şekli	Vaka sayısı	%
Spontan	63	55.26
Forseps	15	13.15
Makad ekstraksiyon	13	11.40
Vakum ekstraksiyon	5	4.38
Versiyon ekstraksiyon	1	0.90
Sezaryen	17	14.91
Toplam	114	100.00

Bebek ağırlıklarında hiçbirinin 1500 gr. dan aşağı olmadığı saptandı. İlgili dağılım Tablo IX'da verildi.

**TABLO IX
BEBEK AĞIRLIK DAĞILIMI**

Bebek ağırlığı	Vaka sayısı	%
1500-1999	15	13.15
2000-2499	85	74.56
2500	14	12.29
Toplam	114	100.00

Total düşük kilolu bebeklerde, fetal mortalite % 35 olarak saptandı. 110 canlı doğumda ise % 36.4 olarak belirlendi. Yeni doğan canlılık derecesi (Apgar) özet olarak sunuldu (Tablo X).

**TABLO X
YENİDOĞANIN CANLILIK DERECESİ**

Apgar skoru	Vaka sayısı	%
0	4	3.50
1-6	16	14.00
7-10	94	82.50
Toplam	114	100.0

114 bebekten iki tanesinde (% 17.5) anomali tesbit edildi. 105 vakada toplam 70 (% 66.66) gebelik komplikasyonu gözlendi. İlgili komplikasyonlar Tablo XI de verildi.

**TABLO XI
GEBELİKTE GÖRÜLEN KOMPLİKASYONLAR**

Komplikasyon	Vaka sayısı	%
Rh/rh	16	22.85
Kalp hastalığı	11	15.71
Toksikoz	10	14.28
EMR	9	12.85
Çoğul gebelik	9	12.85
Geçirilmiş uterin ameliyat	6	8.56
Plasenta ile ilgili sorunlar	3	4.32
Diger*	6	8.56
Toplam	70	100.0

* Hidramnios 2, nefrotik sendrom 1, lösemi 1, parsiyel paralizi 1, annede konjenital defekt 1 vakada saptanmıştır.

Bütün bebeklerin % 27.19 unda (31 vaka), kordonla ilgili komplikasyonlar görüldü. Bunların 2'sinde üç kez, 6'sında iki kez ve diğerlerinde de bir kez kordon boyna dolanmıştı. Bir vakada da hakiki düğüm saptandı.

Üç vakada (% 2.85) doğum sonu atoni gözlandı, ve kan nakli yapıldı. Altı vakada plasenta elle çıkarıldı.

Anne ölüm hızı % 9.5 olarak saptandı (1 vaka). Bu vaka toksikoz ve lösemi'li idi.

Tartışma

Total doğumlarda, düşük kilolu bebek görülme olasılığı % 1-12.3 arasında değişmektedir.^{5, 7, 11, 12, 13} 2500 gramın altındaki bebeklerin % 15'inin termde olduğu ve termde düşük kiloluların ise total doğumların % 1'i olduğu görülmektedir.^{2, 6} Kliniğimizde termde düşük kilolu bebek görülmeye hızı % 2.09 olarak bulundu. Bu konuda önemli olan, memleketlere göre değişen ortalama doğum ağırlığının, özellikle gebelik haftalarına göre tesbit edilmesi ve standart sapmalarının saptanmış olmasıdır. Bu noktadan hareket edildiğinde, terminde düşük kilolu bebek görülmeye olasılığının memleketten memlekete hatta ırktan ırka değişeceği bir geçektir.^{5, 11, 12} Nitekim, literatür araştırıldığında bu oranın beyaz ırkta % 33.33 ve zenci ırkta % 5.4 olarak verildiği görülmektedir. Hindistan'da ortalama yeni doğan ağırlığı 2572 gram olup, araştırmalar da 2001 gramın altı düşük kilolu olarak kabul edilmektedir.⁵

Anne yaşıyla düşük kilolu bebek arasında bir ilişki olduğu gözlenmiştir.^{5, 10, 17} Nitekim, 1165 vakalık bir seride, vakaların % 17.08'inin 19 yaş ve altında olduğu ve % 7.56'sının da 34 yaş ve üzerinde olduğu saptanmıştır.⁵ Bir başka çalışmada ise aynı olgular sırasıyla % 22.8 ve % 8 olarak verilmektedir.¹⁷ Aynı rakamlar total doğumlara göre hesaplandığında % 11.93 ve % 16.69 olarak bulunmuştur.^{5, 17}

Serimizde, vakaların % 12.39'unun 20 yaş ve altında olduğu ve % 9.52'sinin de 33 yaş ve üzerinde olduğu saptanmıştır. Sonuçlar literatürle uygunluk içindedir.

Anne paritesi ile bebek ağırlığı arasında bir ilişki olduğu üzerinde de durulmaktadır.^{5, 10, 17, 18} Bir araştırmada, vakaların % 26,4'ünün paritesinin bir ve % 33.5'inin paritesinin de 4 ve üzerinde olduğu görülmektedir. Total doğumlara göre ise bunların sırasıyla % 14.29 ve % 42 olduğu gözlenmektedir.⁵ Başka bir araştırmada da vakaların % 27'sinin bir doğum ve % 30.4'ünün de 4 ve üzerinde doğum yapmış olduğu belirtilmektedir.¹⁷ Görüldüğü gibi, düşük ve artan parite ile düşük kilolu bebek arasında istatistiksel anlamlı olmasa da ilişki olduğu

gözlenmektedir.^{4, 7} Çalışmamızda, vakaların % 56,19'unun birinci ve % 10,48'inin de 4 ve üzerinde doğum yapmış olduğu saptandı (Tablo IV).

Yenidoğanın cinsiyeti ile düşük kilolu olması arasında bir ilişki varlığı ve kız çocukların daha düşük ağırlıklı olduğu gözlenmektedir.^{5, 15, 19} Araştırmamızda da, kızlar çoğunlukta olup, ortalama kiloları erkek çocuklardan daha düşük idi.

Özellikle sigara içimi ile termde düşük kilolu bebek arasında ilişki olduğu, bunun da ikinci ve üçüncü trimesterde içilen sigara miktarı ile paralel olarak arttığı saptanmıştır.^{9, 10, 14, 15} Gebelikten önce içme veya erken gebelikte içilipli bırakma ile sigaranın olumsuz etkisi gözlenmemektedir. Sigaranın etki şekli hakkında kesin bir fikir birliği yoktur, ancak anne ve kordon kanında karboksi hemoglobinin arttığı, sigaranın plasental kan akımını azalttığı ve bebek beslenmesini olumsuz yönde etkilediği üzerinde durulmaktadır.^{10, 15} Araştırmamız retrospektif olduğu için, sigara ile bebek ağırlığı arasındaki ilişki konusunda fikir verilemedi.

Annenin sistemik hastalıkları, toksemisi, kronik hipertansif-vasküler hastalıkları ve enfeksiyonlarının; plasenta ile ilgili ablatio plasenta, plasenta previa, plasental yetmezlik gibi durumların; Rh uyuşmazlığı, diğer hemolitik hastalıklar, hidramnios ve anomalilerin, böbrek lezyonlarının; indüksiyon ve elektif sezaryenin ve EMR'nin düşük doğum ağırlıklı bebek üzerinde etkin faktörler oldukları kabul edilir.^{1, 12, 13, 20} Total vakalarımızda % 66.6 gebelik komplikasyonu gözlenmiştir. Bunların % 14,28'i toksemilidir. 101 vakalık bir seride % 32.7 vakada hipertansif hastalık saptanmıştır.¹⁶

Bir araştırmada, kardiak volümü 550 cc. nin altında olan grupta düşük kilolu bebek oranı % 17.1 iken 551 cc. nin üzerinde olanlarda bu olgu % 7.5 olarak verilmektedir.³ Vakalarımızın % 15.71'inde kalp hastalığı saptanmıştır. Gebelik komplikasyonları ile ilgili ayrıntılı bilgi Tablo XI'de verilmiştir.

Doğum şekli olarak termde düşük kilolu bebeklerde sezaryen olasılığı % 21 civarında belirtilmektedir.¹⁶ Bizde bu bulgu % 14.91 olup, total vakalarımızda % 9.35 olarak saptanmıştır.

Sonuç olarak, adolesan ve ileri yaş doğurganlığının önlenmesi, dengeli bir beslenme sağlanması, mevcut ve olabilecek sistemik ve diğer anne hastalıkları ile bilinçli bir şekilde uğraşım, feto-plasental bütünlüğün ve fetal olgunluğun tesbiti ile vakaların izlenmesi ve gerektiğinde doğurtulması ile sorun bir nebze olsun önlenebilir kanisındayız.

Özet

Düşük doğum kilosu insidansını etkileyen birçok faktör vardır. Gebelik yaşı, anne yaşı, paritesi, sigara içme, annenin sistemik hastalık-

ları, enfeksiyoz hastalıkları, fötal konjenital ve genetik anomaliler ve plasental yetersizliklerin düşük doğum ağırlığı ile beraber olduğu gösterilmiştir. Bu çalışmada, 105 annede bebek ağırlığına etki eden faktörler belirlenmektedir. Termde düşük kilolu bebek oranı % 2.09 olarak bulunmuştur. Fetal mortalite °/oo 35 tır. Sezaryen oranı % 14 olarak saptanmıştır. Konuya ilgili literatür gözden geçirilmektedir.

KAYNAKLAR

1. Auinger, W., Zeibekis, N.: Einfluß der Anämie auf Kindes- und Plazentagewicht. *Geburtsh U Frauenheilk* 37: 589, 1977.
2. Barden, P. T.: Premature labor. Year Book of Obstet. and Gynecol. Year Book Medical Publishers 1977, p. 109.
3. Bishop, E. H.: The relationship of infant birth weight to maternal heart size. *Clin Obstet. Gynecol.* 7: 666, 1964.
4. Brown, S. et al.: Low birth weight in babies born to mothers with sickle cell trait. *JAMA* 221: 1404, 1972.
5. Chakroborty, R. et al.: Proportion of low birth weight infants in an Indian population and its relationship with maternal age and parity. *Hum Hered* 25: 73, 1975.
6. Danforth (Ed.): *Obstetrics and Gynecology* 3 rd edition, Harper and Row publishers, Maryland, 1977, p. 624.
7. Ganguly, M. et al.: Factors associated with "low" and high birth weight. *Am. J. Epid* 96: 161, 1972.
8. Gerbie, U. M.: Biochemical monitoring in pregnancy. *Sciarra Gynecology and Obstetrics* Harper and Row publishers, 1978, chapter 55.
9. Gillespie, L.: Smoking and low birth weight.
10. Murphy, F. J., Mulcahy, R.: The effect of age, parity and cigarette smoking on baby weight. *Am. J. Obstet. Gynecol.* 111: 22, 1971.
11. Niswander, K., Jackson, C. E.: Physical characteristics of the gravida and their association with birth weight and perinatal death. *Am. J. Obstet. Gynecol.* 119: 306, 1974.
12. Page, E. W.: Pathogenesis and prophylaxis of low birth weight. *Clin. Obstet. Gynecol.* 13: 79, 1970.
13. Perry, C. P.: Intrauterine growth retardation infants. *Obstet. and Gynecol.* 48: 182, 1976.
14. Silverman, T. D.: Maternal smoking and birth weight. *Am. J. Epid*, 105: 513, 1977.
15. Smoking during pregnancy. *Brit Med. J.* 4: 339, 1968.
16. Tejani, N., et al.: Antenatal diagnosis and management of smallfor-gestational-age fetus. *Obstet. Gynecol.* 47: 31, 1976.
17. Terris, M., Gold, E.: An epidemiologic study of prematurity. *Am. J. Obstet Gynecol* 103: 358, 1969.
18. Trotnow, S. et al.: Untersuchung über die Körpergröße und das Körpergewicht von Neugeborenen in Abhängigkeit vom Paritätsstatus. *Geburtshu Frauenheilk* 36: 744, 1976.
19. Diseases of the newborn. Williams Obstetrics. 14 th edition, 1971, p. 1030. (ACC International Edition).

Erkek İnfertilitesi ve Kromozom Aberasyonları

Dr. Ergül Tunçbilek / Dr. Sevim Balçı** / Dr. Atif Akdaş***
Dr. Çelik Taşar**** / Dr. Emek Özen*******

Ortalama bütün evliliklerin % 15 inde ebeveynler istekleri dışında çocukszurlar, bu evliliklerin % 30'unda da kocanın sorumlu faktör olduğu gösterilmiştir. Erkeklerde üreme fonksiyonundaki bozuklıkların bu derece sıkmasına karşın önemli bir kısmında sebebin ne olduğu bilinmemektedir. Aşağıda sonuçlarını sunacağımız çalışma bu sebepler arasında seks kromozom hastalıklarının ne ölçüde rol oynadığını saptamak amacıyla ile planlanmıştır.

Materiel ve Metot

Çalışma Hacettepe Üniversitesi Tıp Fakültesi Genetik, Üroloji ve Patoloji bölümleri tarafından yapılmıştır. Arahk 1977-Haziran 1979 tarihleri arasında infertilite nedeni ile hastaneye müracaat eden ve spermogram sonuçlarına göre azoospermik olan 160 erkek hastanın fizik muayenelerine ilave olarak cinsiyet kromatini, kromozom analizleri ve testis biopsileri değerlendirilmiştir. Cinsiyet kromatini ağız mukozası epitelinden, kromozom analizleri ise periferik kandan çalışılmıştır. Hastalarda tripsin ve SSC ile Giemsa bantlama yapılmış ve en az 5 metafaz sahası sayılmış ve analiz edilmiştir. Seks kromozom yapısı XX olarak saptanan hastalarımızda ise en az 50 metafaz sahası sayılıp analiz edilmiştir. Ayrıca zeka seviyeleri hakkında fikir sahibi olmak amacıyla ile hastalarımızın öğrenim dereceleri ve meslekleri de kaydedilmişdir. Bu yazıda kromozom anomalisi saptanan vakaların çeşitli özellikleri sunulacaktır.

* Hacettepe Üniversitesi Tıp Fakültesi Genetik, Üroloji ve Patoloji Bölümleri Çalışmalarından.

** Hacettepe Üniversitesi Tıp Fakültesi, Genetik Ünitesinde Pediatri Profesörü.

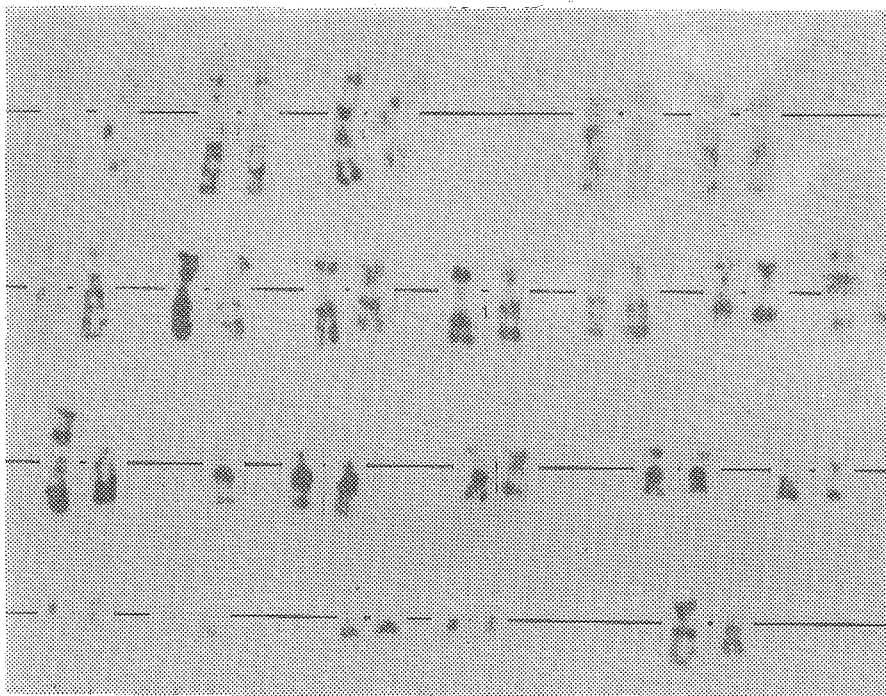
*** Aynı Fakülte Üroloji Bilim Dalı Öğretim Üyesi.

**** Aynı Fakülte Üroloji Bilim Dalı Öğretim Görevlisi.

***** Aynı Fakülte Patoloji Bilim Dalı Öğretim Üyesi.

Sonuçlar

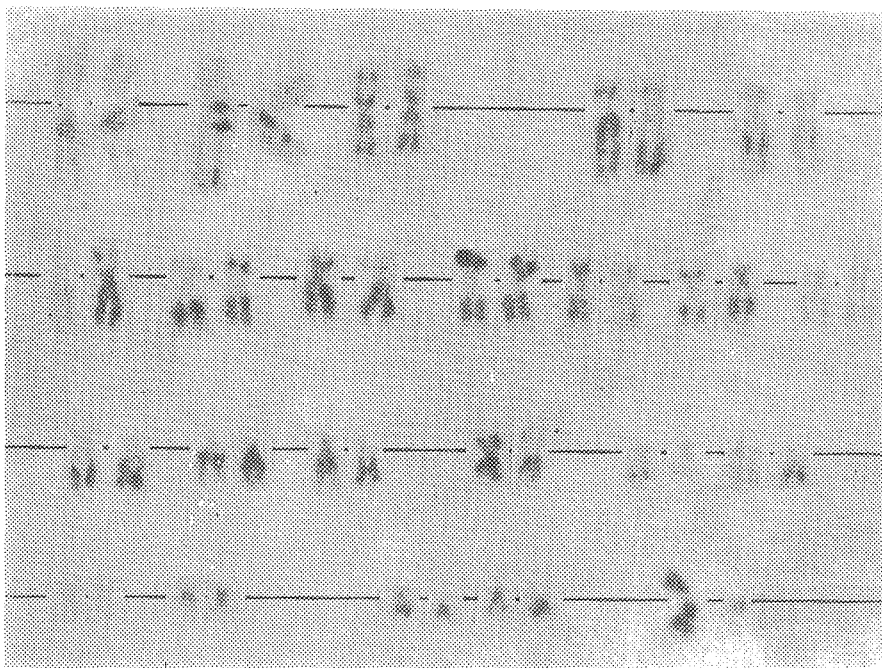
Hastalarımızın hepsi spermogram sonuçlarına göre azoospermik idiler. Seks kromatini (Buccal smear) analizleri ile 160 infertil hastadan 14'ü seks kromatini pozitif olarak bulunmuştur. Kromozom çalışması sonucunda da 160 hastadan 9 vakada XXY (Klinefelter sendromu), 5 vakada XX Male Sendromu ve 2 vakada 13/14 translokasyonu saptanmış (Şekil 1), bir vakamızda da Y kromozomunun uzun kolundan kopma gözlenmiştir (46, XYq-) (Şekil 2) (Tablo I). SSC ve Giemsa ile yapılan G bandlamalarda herhangi bir yapısal anomaliliye rastlanılmamıştır.



Şekil 1
Giemsa ile bantlanmış karyotip 45, XY, t (13:14).

Hastalarımızın fizik muayene bulguları gözden geçirildiğinde (Tablo II, III, IV) Klinefelter sendromlu vakalarda boy 172-182 cm. arasında, XX male vakalarında 163-174 cm. arasında, D/D translokasyonlarında 165-172 cm. arasında bulunmuştur.

Tablo II de görüldüğü gibi Klinefelter Sendromlu 9 hastadan 5'i enukoid görünüşlü idi, 2 hastada ginekomasti vardı. Vakaların tümünde de testisler hipoplastik idi. Beş XX male vakasının üçünde testisler atrofik, bir tanesinde de iki taraflı inmemiş testis mevcuttu.



Şekil 2

Giemsa ile bandlanmış karyotip. Y Kromozomunun belirgin küçüklüğü dikkati çekmektedir. 45, XYq-.

TABLO I

160 İNFERTİL ERKEK HASTADA SAPTANAN KROMOZOM ANORMALİKLERİ

XXY Sendromu	9 Hasta
XX Male Sendromu	5 "
45, XX, t (13:14)	2 "
46, XYq-	1 "
Total	17 Hasta

Hastalara zeka testi verilmemiş olmakla beraber meslek ve eğitimleri göz önünde tutulduğunda zekalarının normal olduğu kanısına varılmıştır.

Testis Biopsi Sonuçları: Testis biopsisi, Klinefelter Sendromlu 9 vakanın 4'ünde ve 5 XX male vakasının 4'ünde olmak üzere 8 hastada yapılmıştır. Bu vakalara ait geniş bilgi Tablo II ve III de sunulmuştur. Klinefelter Sendromlu vakaların testis biopsileri; seminifer tüplerde daral-

TABLO II
9 XXY SENDROMUNUN KLINİK VE PATOLOJİK BULGULARI

Vaka	Yaş	Boy	Fizik inceleme	Atrofik testis	Testis Biopsisi
1	24	181	Enükoid görünüm	+	—
2	30	180	Ginekomasti	+	Seminifer tüplerde hiyalinizasyon ve obliterasyon Kümeler halinde Leydig hücre hiperplazisi.
3	26	176	Enükoid görünüm	+	Seminifer tüplerde hiyalinizasyon ve obliterasyon
4	31	172	Normal	+	Tubüller hiyalinize, leydig hücreleri hiperplazisi
5	31	182	Ginekomasti	+	—
6	28	178	Enükoid görünüm	+	—
7	28	172	Enükoid görünüm	+	—
8	27	179	Normal	+	Tubüller hiyalinize, spermatogenezis yok. Leydig hücreleri hiperplazisi.
9	24	181	Enükoid görünüm	+	—

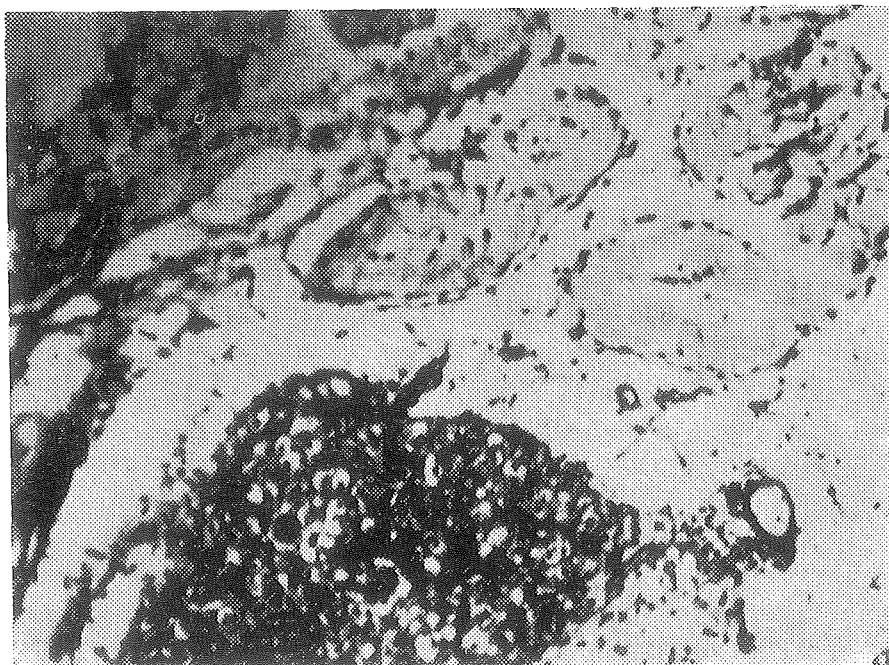
TABLO III
5 XX MALE SENDROMLU HASTANIN KLINİK VE PATOLOJİK BULGULARI

Vaka No	Yaş	Boy	Fizik inceleme	Testis biopsisi
1	42	160 cm.	Atrofik testis	Seminifer tubüller hiyalinize belirgin Leydig hücre hiperplazisi. Damarların basal membranında kalınlaşma.
2	32	166 cm.	Bilateral inmemiş testis	Seminifer tüpler hiyalinize. Leydig hücre hiperplazisi
3	25	174 cm.	Normal	Sertoli hücreleri seyrek. Spermatogenezis Spermatozit I. safhasında durmuş. Bazı tubüllerde spermatozoa var. Damarların basal membranı kalın.
4	28	168 cm.	Normal	—
5	28	163 cm.	Atrofik testis	“Sertoli-Cell only” Sendromu: Seminifer tüplerin çapları küçülmüş basal membranları kalın. Tübül içinde sadece hiperplastik sertoli hücreleri var.

TABLO IV
13/14 TRANSLOKASYONLU VAKALARIN BULGULARI

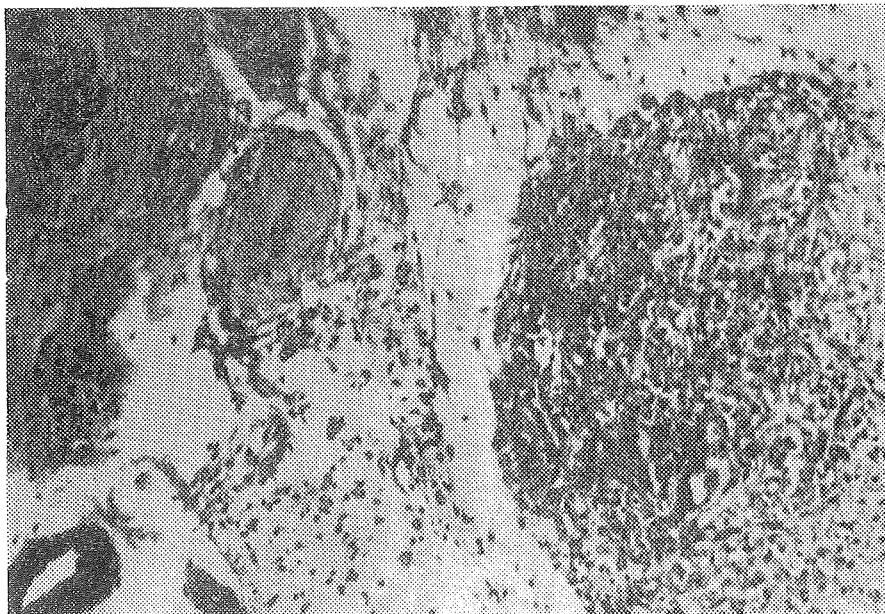
Vaka No	Yaş	Boy	Fizik Muayene
1	25/Y	165 cm.	Normal
2	28/Y	172 cm.	Normal

ma, hiyalinizasyon, peritubuler fibrozis ve spermatogenesis yokluğu ile karakterize olan atrofik testis bulgularını gösteriyordu (Şekil 3). XX male vakaları testis biopsilerinde ise, seminifer tubuluslarda hiyalinizasyon, spermatogenesis yokluğu ve belirgin interstitial hücre hiperplazisi mevcuttu (Şekil 4). Bu vakalardan birinde tüplerde sadece sertoli hücreleri dikati çekiyordu ve bu vaka "Sertoli-cell only" testis sendromu tanısı almıştır. (Şekil 5).



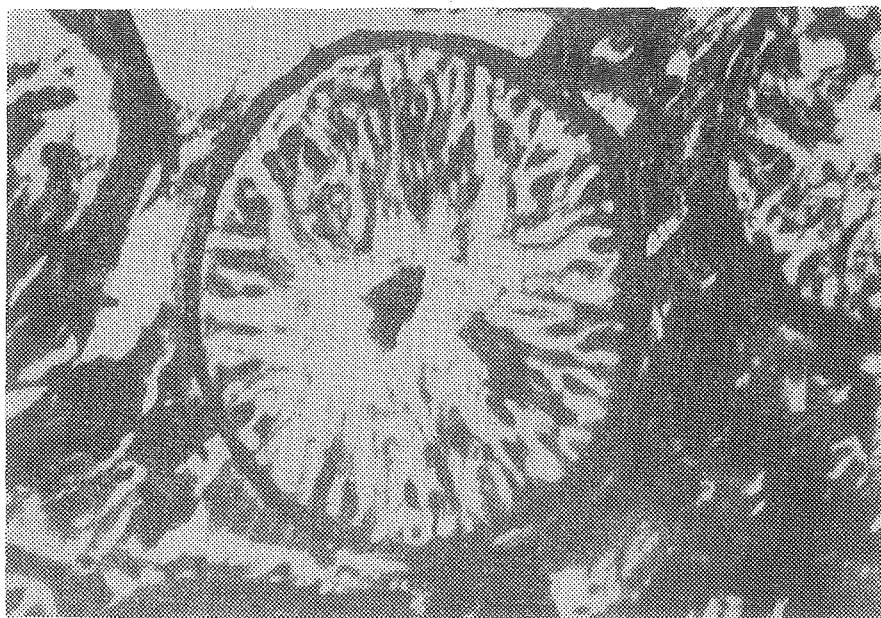
Şekil 3

Klinefelter sendromlu hastanın testis biopsisi Hyalinize seminifer tubuluslar ve Leydig hücre hiperplazisi görülmektedir (X 80 HxE).



Şekil 4

XX Male sendromlu vakalarımızdan birine ait testis biopsisi. Hyalinize seminifer tubulus ve leydig hücre hiperplazisi görülmüyor (X 80 HXE).



Şekil 5

Sertoli-Cell Only sendromu tanısı alan hastanın testis biopsisi Sertoli hücreleri ile döşeli seminifer tubulus görülmektedir (X 800 HXE).

Tartışma

Erkek infertiliteлерinde kromozomal faktörlerin rolünü araştıran çalışmalar Tablo V de özetlenmiştir.¹⁻¹⁰ Tablodan görüldüğü gibi infertil erkek hastalarda kromozom aberasyonları görülme sıklığı % 2.1-28 arasında değişmektedir. Bu sıklığın en düşük olduğu (% 2.1) Chandley'in serisinde bile infertil erkeklerde kromozom aberasyonlarının normal erkek populasyonundan 5 defa daha sık olduğu saptanmıştır.⁸ Van Niekerk ve arkadaşları çalışmasında oligospermisi olan erkeklerde kromozom aberasyonları sıklığı % 9.1, azoospermisi olanlarda da % 11.5 olarak bulunmuştur.¹⁰ Kjessler ve Chandley'in çalışmalarına göre de ejakulattaki spermatozoid miktarı ne kadar az ise karyotip anomalilerinin meydana gelmesi o kadar sık olmaktadır.^{2,8} Yukarıdaki çalışmalarla kromozom aberasyonları görülme yüzdesleri arasındaki farklılığın bu nedenle olması mümkündür.

Bütün serilerde en sık görülen seks kromozom aberasyonu Klinefelter Sendromu olarak bulunmaktadır. Bunu Y kromozomu variantları izlemektedir. Bizim serimizde de bir vakada Y kromozomunun uzun kolunun beklenenden kısa olduğunu saptadık. Hastanın babasını ya da erkek akrabalarını incelememiz maalesef mümkün olmamıştır. Bu nedenle bu kromozomun orijini ve infertilitedeki rolü hakkında bilgi sahibi olamadık.

Bahsedilen çalışmaların büyük kısmında D/D translokasyonuna normalde beklenenden daha büyük bir sıklıkta rastlanmıştır.^{2,3,6,7,10} Çalışmamızda da 160 hastadan ikisinde 13/14 translokasyonu bulunmuş olması normalden hemen hemen 10 defa fazla olan bu sıklığın tesadüfi olmadığı görüşünü desteklemektedir.¹¹ Kesin olarak bilinmemekle beraber, daha önce ileri sürüldüğü gibi translokasyon sırasında kaybolan her iki kromozoma ait sentromer bölgelerinin spermatogenesis üzerine etkili olduğu söylenebilir.

Çalışmamızın önemli bulgularından biri de 160 erkek hasta içinde 5 vakada XX seks kromozom yapısının bulunmuş olmasıdır. Benzer çalışmalarдан Zuffardi'nin⁶ serisinde iki XX male sendromu bulunmasına karşın diğerlerinde bu sendroma rastlanmamıştır. Bir başka çalışmada da infertilite nedeni ile izlenen 400 hasta arasında 3 vakada XX male sendromuna rastlandığı bildirilmiştir.¹² İlk defa 1964 yılında de la Chapelle tarafından fenotipik olarak erkek bir hastada, XX karyotipinin bulunmasından günümüze kadar 50'yi aşkın vaka rapor edilmiştir.¹³⁻¹⁷ XX male sendromu, erkeklerde nadir rastlanılan bir kromozom anomalisidir. Görülme sıklığı yenidoganda 20.000 doğumda bir olarak saptanmıştır.¹⁴

TABLO V
INFERTİL ERKEK HASTALARDA KROMOZOM ABERASYONLARININ ROLÜNÜ· ARAŞTIRAN ÇALIŞMALAR

	1*	2	3	4	5	6	7	8	9	10	Çalışmamız
Çalışan vaka sayıları	98	130	40	1294	4213	617	281	1599	198	165	160
Krom. aber. olan hasta sayısı	8	12	6	32	184	63	81	35	28	15	17
Krom. aber. yıldızdesi	8	9.2	15	2.7	4.4	10.2	28	2.1	3.5	9.1	10.6
47, XXXY	6	2	2	32	103	44	66	16	3	3	9
47, XYY	1	—	—	—	—	—	—	3	—	1	—
46, XX	—	—	—	—	—	—	2	—	—	—	5
Y krom. aberasyonu	1	2	2	—	27	7	—	2	21	3	1
Seks krom. mozaizizmi	—	5	—	—	—	—	—	1	1	4	—
Otozom. krom. aberasyonu	—	2	1	—	—	3	—	4	—	21	—
Çeşitli translokasyonlar	—	—	—	—	—	—	5	9	2	—	—
13:14 translokasyon	—	1	1	—	—	6	3	—	—	2	2

* Bu sıradaki numaralar kaynaklar bölümünde çalışmanın aldığı numaralardır.

XX male sendromlu vakalar psikoseksual davranışları, zeka düzeyleri, sekonder seks karakterleri ve genel görünüşleri ile XXY sendromuna benzerler fakat XX male vakalarının boyları Klinefelter sendromlu hastalardan biraz daha kısadır. Vakalarımızla ilgili klinik ve patolojik bulgular Tablo III de özetlenmiştir. Hastalarımızdan bir tanesinde gözlediğimiz bilateral inmemiş testis literatürdeki bazı vakalarda da dikkati çekmiştir. XX male vakalarının testis histolojisi, seminifer tüplerde peritubuler fibrozis, tüplerin lümeninde daralma, hiyalinizasyon, Leydig hücrelerinde artma ile karakterizedir. Bunların pek çoğu Klinefelter sendromlu vakalarda da bulunmaktadır. Bu sendromda testislerdeki bir başka bulgu da tüplerin normal veya hafifçe çaplarının daralması ve tüplerde sadece Sertoli hücrelerinin bulunmasıdır. Bu bulgu da testis biopsisi yapılan dört vakamızdan birisinde dikkati çekmiştir.

Erkek fenotipi ve testislerin Y kromozomunun yokluğuna rağmen nasıl geliştiğini açıklamak için bazı teoriler ileri sürülmüştür. Bunlardan birincisi, bazı hayvanlarda (keçi, fare) olduğu gibi, insanlarda da erkeklik belirleyen otozomal bir genin oluşudur.^{18, 19} Bir başka teoriye göre, Y kromozomunun çok ufak bir parçası, otozomal kromozomlara veya daha büyük bir olasılıkla X kromozomuna transloke olmaktadır.²⁰ Üçüncü teoriye göre ise hastalar kromozomal olarak mozaik bir yapıdadırlar, ya da 47, XXY kromozomlu hücre dizisi fertilizasyonun çok erken bir döneminde Y kromozomunu kaybetmektedir. Bu hipotezi ileri sürenler şimdide kadar tanımlanan vakaların % 17 sinde çeşitli miktarlarda 47, XXY karyotipinin gösterilmesinin kendilerini desteklediğini ve bandlama metodlarının kullanılmasının bu sayıyı daha da artıracığını söylemektedirler.¹² Son çalışmalar testiküler farklılaşmanın, Y kromozomunun perisentrik bölgesinde lokalize bir gen tarafından yapılan hücre membran antijeni (H-Y antijeni) yoluyla olduğunu göstermiştir.^{21, 22} Serolojik olarak H-Y antijeni bulunmadığında testiküler farklılaşma Y kromozomu olsa bile olmamaktadır. Y kromozomunun saptanmadığı fakat testisin farklılığı durumlarda ise H-Y antijeni serolojik olarak gösterilebilmektedir. Bu çalışmalar testis farklılaşmasının Y kromozomundan çok H-Y antijenin bulunduğuna bağlı olduğunu açıkça göstermiştir.

Sonuç olarak infertil erkek hastalarda etyolojide kromozom aberasyonlarının mutlaka düşünülmesi ve araştırılması gerektiği görülmektedir. Ayrıca mitotik kromozom yapıları normal olan azospermik infertil erkeklerde meiotik anomalilere sık rastlanması^{23, 24} oligo veya azoospermik erkeklerin sitogenetik kontrolden geçirilmesinin önemini ortaya koymaktadır.

Özet

İnfertilite nedeni ile Hacettepe hastanesine müracaat eden 160 azoospermik erkek hasta da cinsiyet kromatini, kromozom analizi ve testis biopsisi sonuçları değerlendirilmiştir. Seks kromatini pozitif bulunan 14 hastanın 9'unda Klinefelter, 5 inde de XX male sendromu saptanmıştır. Ayrıca 2 vaka da 13/14 translokasyonu 1 vakada da Y kromozomunun uzun kolunda kopma gözlenmiştir. Bulgularımız literatür bulguları ile karşılaştırılmış ve infertil erkek hastalarda kromozom analizleri yapılmasının gereği üzerinde durulmuştur.

KAYNAKLAR

- Philip, J., Skakkebaek, N. E., Hammen, R., Johnsen, S. G., Rebbe, H.: Cytogenetic investigations in male sterility. *Acta Obstet. Gynec. Scand.* **49**: 235, 1970.
- Kjessler, B.: Chromosomes and gametic output in 1000 infertile males, *Excerpta Med. Int. Cong. No. 234, Abstract* 1971, 446.
- Dutrillaux, B., Le Lorier, G., Salat, J. et Rotman, J.: Incidences des anomalies chromosomiques dans la stérilité masculine. *Presse Med.* **27**: 1231, 1971.
- Dubin, L., Amelar, R. D.: Etiologic Factors in 1294 Consecutive Cases of Male Infertility. *Fertil Steril* **22**: 469, 1971.
- Koulischer, L., Schoysman, R.: Etude de chromosomes mitotiques chez les hommes infertiles. *J. Génét. Hum.* **23**: 58, 1975, (Suppl).
- Zuffardi, O., Maraschio, P. and Pasquali, F.: Choromsome abnormalities and male sterility *J. Génét. Hum.* **23**: 347, 1975.
- Millet, D., Plachot, M., Lety, M. A., de Grouchy, J. and Netter, A.: Chromosomal anomalies in male secretory infertility. *J. Génét. Hum.* **23**: 121, 1975 (Suppl).
- Chandley, A. C., Edmond, P., Christie, S., Gowans, L., Fletcher, J., Frackiewicz, A., Newton, M.: Cytogenetics and infertility in man. I. Karyotype and seminal analyses. *Ann. Hum. Genet. Lond.* **39**: 231, 1975.
- Hendry, W. F., Polani, P. E., Pugh, R. C. B., Sommerville, I. F., Wallace, D. M.: 200 infertile Males: Correlation of Chromosome, Histological, Endocrine and Clinical Studies. *Brit. J. Urology* **47**: 899, 1976.
- Van Niekerk, W. A.: Chromosomes and Gynecologist. *Am. J. Obstet. Gynecol.*, 1978, **130**, 865.
- Smith, P. G. and Jacobs, P.: Incidence studies of constitutional chromosome abnormality in the post-natal population. In *Human Population Cytogenetics* eds by Jacobs, P., Price, W. H. and Law, P.: The Williams and Wilkins Co. Baltimore, 1970, p. 166.
- Miro, R., Caballin, R., Marisini, S. and Egoczus, J.: Mosaicism in XX Males. *Hum. Genet.* **45**: 103, 1978.
- de la Chapelle, A., Hortling, H., Niemi, M., Wennstrom, J.: XX sex chromosomes in a human male. First case. *Acta Med. Scand. (Suppl)* **412**: 25, 1964.
- de la Chapelle, A.: Analytic Review. Nature and Origin of males with XX Sex Chromosomes. *Amer. J. Hum. Genet.* **24**: 71, 1972.
- Rehder, H., Bruchl, P. and Seth, P. K.: XX Male Syndrome: Pathogenesis and aspects of diagnostic pitfalls *Urologie. Ansg. A.* **14**: 182, 1975.

16. de la Chapelle, A., Schröder, J., Murros, J. and Tallquist, G.: Two XX males in one family and additional observations bearing on the etiology of XX males Clin. Genet. **11**: 91, 1977.
17. Noel, B., Tous, J.: Sexual determination of XX men. J. Genet. hum. **26**: 287, 1978.
18. Pollard, C. E., Grieves, S. A., Short R. V.: Genetic intersexuality in goats. J. Reprod. Fertil (Suppl) **7**: 25, 1969.
19. CaHanach, B. M., Pollard, C. E., Hawkes, S. G.: Sex reversed mice. XX and XO males. Cytogenetics **10**: 318, 1971.
20. Evans, H. J., Buxton, K. E., Spowart, G. and Carothers, A. D.: Heteromorphic X Chromosomes in 46, XX males. Evidence for the involvement of X-Y interchange. Hum. Genet. **49**: 11, 1979.
21. Ohno, S.: A hormone-like action of H-Y, antigen and gonadal development of XY/XX mosaic males and hermaphrodites. Hum. Genet. **35**: 21, 1976.
22. Gerald, P. S.: The H-Y antigen and male sexual development. New Eng. J. Med. **300**: 788, 1979.
23. Hulten Maj: Cytogenetic aspects of human male meiosis. Stockholm. 1974, p. 370.
24. Koulischer, L., Schoysman, R., and Casseye, N. V.: Meiosis in male sterility. Report of 27 cases with a common anomaly. Clin. Genet. **8**: 396, 1975.

Böbrekte Basınç Natriürezinden Sorumlu Hormonal Madde Prostaglandinler midir?

Dr. Nimet Ünay Gündoğan*

Giriş

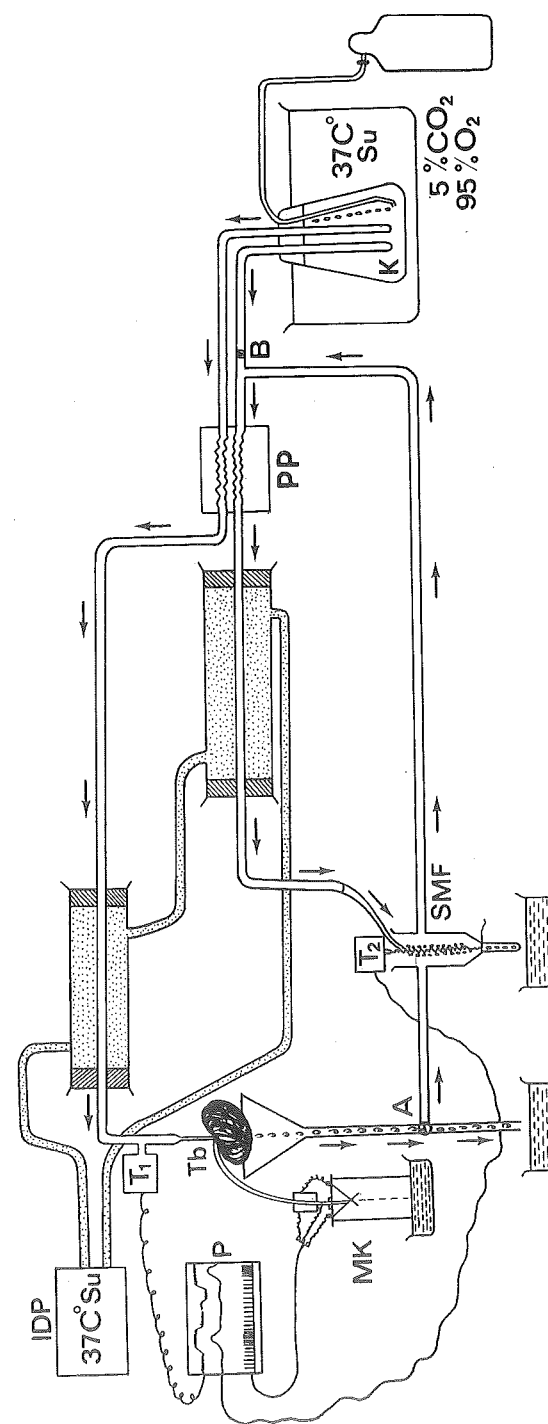
Böbrek arteriyel basıncının akut olarak yükseltilmesinin diürez ve natriüreze neden olduğu bildirilmiştir.¹⁻⁶ Otoregülasyonun, glomerüller filtrasyon hızını (GFH) değiştirmeden korumasına karşın bu bulguların saptanması konuyu ilginç hale getirmiştir.^{3, 7, 8} Belli sınırlar içinde, böbrek arter basıncındaki değişikliklerde otoregülasyon nedeni ile kortikal kan akımı değişmediği halde iç medulladaki kan akımı dikkat çekici olarak değişmektedir.^{9,10}

Otoregülasyonun bulunmadığı ve kan basıncı değişikliklerine çok duyarlı olan böbrek iç medullasında prostaglandinlerin (PG) varlığının gösterilmesi,^{11, 12} PB'nin akut olarak yükseltilmesinin, böbrekten PG salınışına neden olan diğer uyarınlar gibi etkili olacağını düşündürmüştür. Gerçekte önceli çalıştığımızda PB'nin akut yükseltilmesinde, venöz sıvı içindeki PGE₂-benzeri maddenin arttığı izlenmiştir.¹ PG'lerin ise diüretik ve natriüretik etkileri iyi bilinmektedir.^{13, 14, 15, 16} Bu yüzden çalıştığımızda idrar hacmi, sodyum ve potasyum boşaltımları ile böbrek venöz dönüş sıvısı içindeki PGE₂-benzeri madde aktivitesi eş zamanlı olarak izlenmiş, PB'nin yükseltilmesinde görülen PG salınışı ile sodyum boşaltımındaki ilişki degerlendirilmiştir.

Materiel ve Metot

a) **İzole Perfüze Organ:** Ağırlıkları 2400-2800 gr olan erişkin beyaz Viyana türü erkek tavşanlar Kg/30 mg sodyum pentobarbital ile anestezi edildikten sonra böbrek daha önce uygulanan metot ile

* Hacettepe Üniversitesi Tıp Fakültesi, Fizyoloji Bilim Dalı Öğretim Üyesi.



Şekil 1
İzole perfüze taysan böbreği ve böbrek venöz dönlüş sıvısının üzerinden geçirildiği biyolojik test organı (SMF) görülmektedir. Tb: Tavşan böbreği, SMF: Sığan Mide Fundusu, T₁: Basınç Transducer'i, T₂: Gerim Transducer'i, MK: Manetik Kaydedici, P: Poligraf, IDP: Isı Düzenleyici Pompa, K: Krebs' solusyonu, sabit ılısh su banyosu içinde, PP: Peristaltik Pompa, (A, B): Üç yollu musluk.

çıkarıılıp izole edilmiş ve dakikada 10-12 ml Krebs' solusyonu ile perfüze edilmiştir.¹⁷ PB başlangıçta 60-80 mmHg olarak sabit tutulmuş, denge durumuna ulaşıldktan sora PB akut olarak 30-40 mmHg yükseltilmiştir. Perfüzyon tekniği Şekil 1 de şematize edilmiştir.

b) Böbrek Venöz Dönüş Sıvısında PGE₂-benzer Aktivite Tayini: PGE₂-benzer maddenin böbrek venöz sıvısı içindeki miktarı sıçan mide fundus kasının verdiği cevaplardan dinamik biolojik test yöntemi ile saptanmıştır. Test organının üzerinden geçirilen böbrek venöz dönüş sıvısı ayrıca normal ve yükseltilmiş PB larında toplanarak ince tabaka kromatografisi tekniği ile standart böbrek PG leri ile karşılaştırılmış böbrekten salınan PG tipi tayin edilmiştir.¹

Deneyde İzlenen Yol: Böbrek ve sıçan mide fundus kası izole sisteme yerleştirildikten 1/2 saat sonra denge perioduna ulaşılmış, böbrekten gelen venöz sıvı berraklaşmıştır. Bundan sonra venöz sıvı iki adet üç yollu musluk Şekil 1 (A,B) aracılığı ile test organı üzerinden geçirilmeğa başlanmıştır. Test organının standard PGE₂ ye cevapları saptandıktan sonra PB üç kez 10 dk süre ile yükseltilmiştir. Yukseltmelerden hemen sonra PB başlangıçtaki normal değerine döndürülmiş ve böbreğin bu basınca uyum göstermesi için 10 dk beklenmiştir. Bundan sonra PB'nin normal olduğu ara kontroller için 10 dk süre ile idrar örnekleri alınmış ve eş zamanlı olarak test organındaki kasılmalar, PB'nin yükseltiliği dönemlerdeki gibi izlenmiştir. İdrar boşaltım hızı ml/dk, idrarla atılan sodyum ve potasyum değerleri ise $\mu\text{Eq}/\text{dk}$ olarak saptanmıştır.¹⁸

Sonuçlar istatistiksel olarak Student's t-testi ile değerlendirilmiştir.

Sonuçlar

11 deney yapılmış, PB her deneyde üç kez yükseltilmiştir. Kontrol değerleri, deney başlangıcında ve PB'nin normale dönüşünü izleyen 20 dk lik istirahat döneminin son 10 dk si içinde alınmıştır. Bütün idrar örnekleri 10 dk süre ile toplanmıştır. İdrar boşaltım hızına ait değerler Tablo I de gösterilmiştir.

İdrarla atılan sodyum değeri ($\dot{I}_{\text{Na}} \cdot V$) $\mu\text{Eq}/\text{dk}$ olarak Tablo II de belirtilmiştir.

İdrarla atılan potasyum ($\dot{I}_{\text{K}} \cdot V$) $\mu\text{Eq}/\text{dk}$ değerleri Tablo III de açıklanmıştır.

Tablo I, II, III ve Şekil 2 den izlendiği gibi PB'nin üç kez yükseltilmesinde idrar hacminde kontrollere göre $P < 0.001$, $P < 0.001$, $P < 0.001$ olarak önemli artışlar görülmüştür. Sodyum boşaltımında PB'nin yükseltiliği döneminde önceki kontrollere göre sırası ile $P < 0.001$, $P < 0.001$,

TABLO I
**İZOLE PERFÜZE TAVŞAN BÖBREĞİNDE PB'NIN AKUT YÜKSELTİLMESİ-
 NİN İDRAR BOŞALTIM HİZINA ETKİSİ**

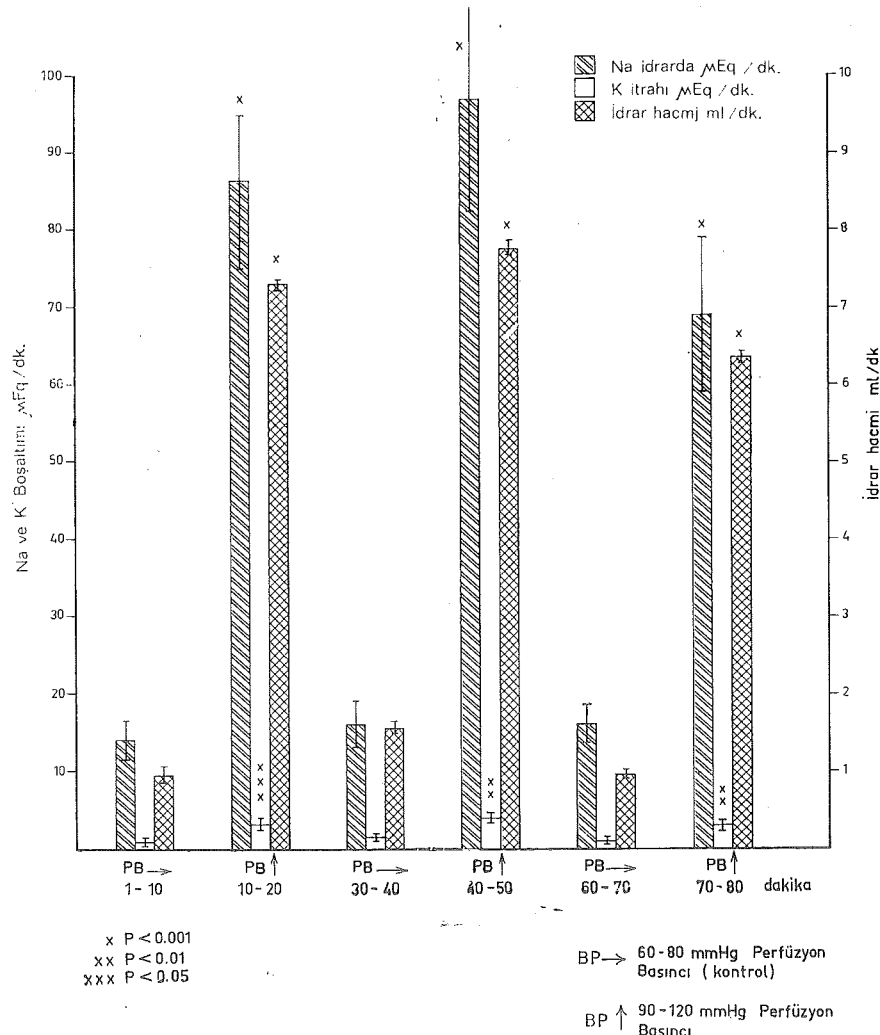
(PB→) 60-80 mmHg (PB↑) 90-120 mmHg	PB→	PB↑	PB→	PB↑	PB→	PB↑
Zaman (dk)	1-10	10-20	30-40	40-50	60-70	70-80
Ortalama idrar hacmi (ml/dk)	0.92	7.31	1.58	7.77	0.96	6.35
Standart hata	±0.16	±0.72	±0.56	±0.20	±0.15	±1.0
Eşler arası fark ortalamasının önemlilik derecesi	6.31 ± 0.71		6.19 ± 0.91		5.38 ± 1.0	
	P < 0.001		P < 0.001		P < 0.001	
Deney sayısı	11	11	11	11	11	11

TABLO II
**İZOLE PERFÜZE TAVŞAN BÖBREĞİNDE PB NIN AKUT YÜKSELTİLMESİ-
 NİN Na BOŞALTIMINA ETKİSİ**

(PB→) 60-80 mmHg (PB↑) 90-120 mmHg	PB→	PB↑	PB→	PB↑	PB→	PB↑
Zaman (dk)	1-10	10-20	30-40	40-50	60-70	70-80
Na boşaltımı (μ Eq/dk)	14.05	86.89	15.99	97.27	16.55	69.76
Standart hata	±2.55	±11.53	±2.78	±15.62	±2.44	±10.01
Eşler arası farkın önemlilik derecesi	72.83 ± 11.74		83.72 ± 15.56		73.20 ± 15.62	
	P < 0.001		P < 0.001		P < 0.001	
Deney sayısı	11	11	11	11	11	11

TABLO III
**İZOLE PERFÜZE TAVŞAN BÖBREĞİNDE PB'NIN AKUT YÜKSELTİLMESİ-
 NİN K BOŞALTIMINA ETKİSİ**

(PB→) 60-80 mmHg (PB↑) 90-120 mmHg	PB→	PB↑	PB→	PB↑	PB→	PB↑
Zaman (dk)	1-10	10-20	30-40	40-50	60-70	70-80
K boşaltımı (μ Eq/dk)	0.56	3.30	1.50	3.99	0.64	2.66
Standart hata	±0.16	±1.02	±0.60	±1.27	±0.19	±0.78
Eşler arası farkın önemlilik derecesi	2.73 ± 0.91		2.84 ± 0.88		2.02 ± 0.63	
	P < 0.05		P < 0.01		P < 0.01	
Deney sayısı	11	11	11	11	11	11



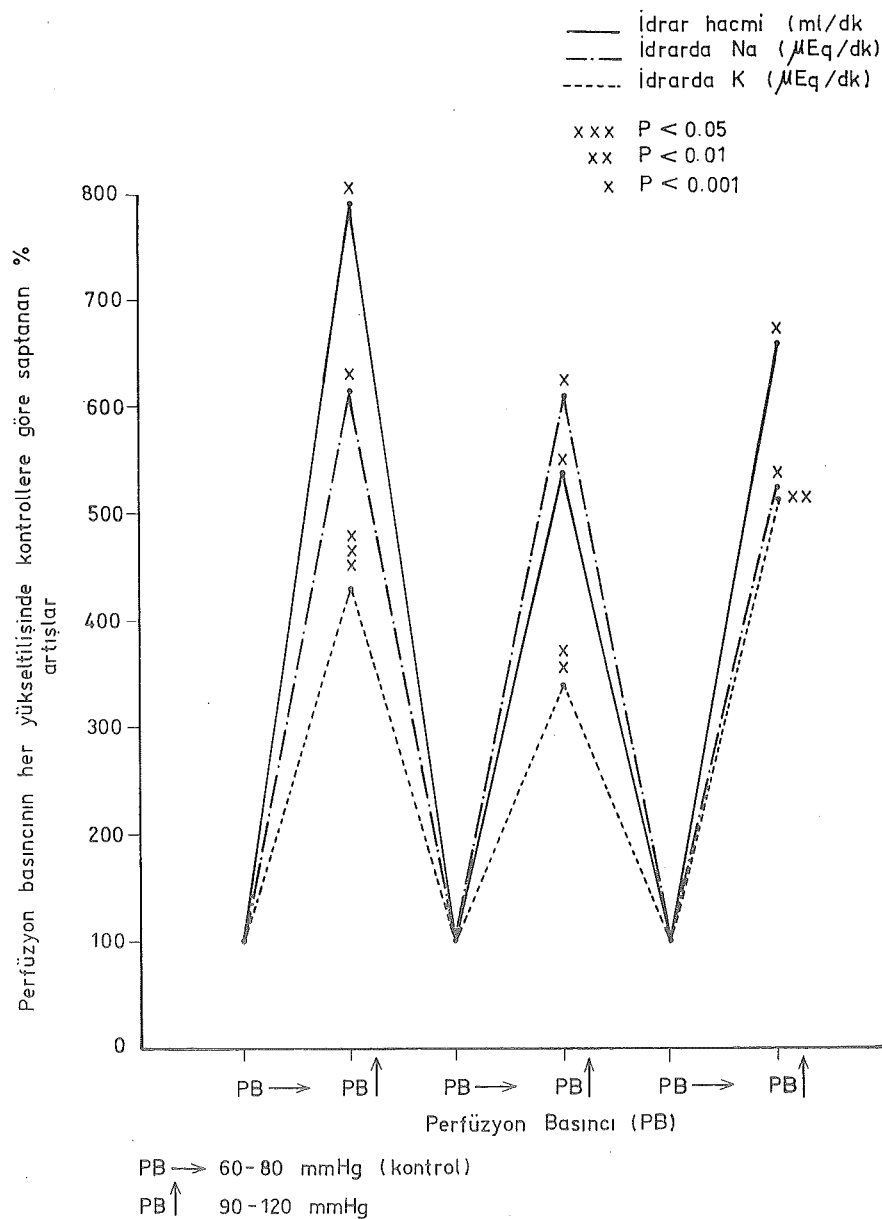
Şekil 2

Sodyum, potasyum, idrar hacminin bir dakikada boşaltılan değerlerinin, normal ve yüksek perfüzyon basınçlarında karşılaştırılması izlenmektedir. Apsis dakika olarak zamanı, ordinatlar solda sodyum ve potasyum ($\mu\text{Eq}/\text{dk}$) boşaltımını, sağda idrar hacmini (ml/dk) göstermektedir.

$P < 0.001$ olarak önemli artışlar izlenmiştir. Ayrıca potasyum boşaltımında da PB'nın yükseltildiği dönemlerde kontrollere göre $P < 0.05$, $P < 0.01$, $P < 0.01$ olarak önemli değişiklikler saptanmıştır. Kontrollere göre % artışlar Şekil 3 te izlenmektedir.

Sonuçlarda dikkat çeken bir bulgu, kontrol döneminde elde edilen değerlerin kendi aralarında karşılaştırılmaları yapıldığında sayısal

yakınlığın görülmemesidir. Aynı karşılaştırma yüksek PB'ında elde edilen değerlere de uygulanırsa yine bulgulardaki yakınlık ilgi çekicidir.



Şekil 3

Başlangıç ve ara kontrollere göre perfüzyon basıncının yükseltiliği üç dönemde saptanan sodyum, potasyum ve idrar hacmindeki artışların normalin % desi şeklindeki değerlendirilimeleri izlenmektedir.

Tartışma

Böbrek içi fiziksel faktörlerin yanında, "natriüretik hormon" olarak böbrek içi PG lerinin, sodyum boşaltımını düzenlemeye görev aldığı düşünülmektedir.^{2, 3, 4, 5, 6, 7} PGE₂, PGA₂, PGF_{2α} ve PGD₂ nin böbrek medullasında sentez edildiği gösterilmiştir.^{19, 20} Bunlardan E, A, D grubu prostaglandinlerin böbrek arterine infüze edilmelerinde, böbrek içi kan akımını etkileyerek diürezle birlikte sodyum boşlatımındaki artışa neden oldukları bildirilmiştir.^{9, 13, 14, 20, 21, 22}

PB'nın akut olarak 30-40 mmHg yükseltilmesi sırasında dinamik biyolojik test yöntemi ile böbrek venöz dönüş sıvısı içinde PGE₂-benzeri maddenin arttığı gözlenirken¹ eş zamanlı olarak incelenen idrar hacmi, sodyum ve potasyum $\mu\text{Eq}/\text{dk}$ boşaltımlarında PB'nın birinci yükseltilişinde başlangıçtaki kontrollere göre, sırası ile $P<0.001$, $P<0.001$, $P<0.05$ olarak önemli artışlar izlenmiştir. Bu dönemde böbrek venöz dönüş sıvısının ince tabaka kromatografisi ile yapılan incelenmesinde standard PGE₂ nin Rf değerine yakın değerde Rf değeri veren bir leke elde edilmiştir.¹ Böbrekte en çok bulunan PG tipi PGE₂ dir.^{19, 20} Çalışmamızda PB'nın yükseltilmesi PGE₂-benzeri maddenin salınışındaki artışa neden olurken eş zamanlı olarak sodyum itrahında da fazlalaşmağa neden olmuştur. Burada iki soru belirmektedir. Birincisi, PB'nın yükseltilmesinin niçin PG salınışındaki artışa yol açtığını, ikincisi ise yüksek PB'da izlenen sodyum boşaltımındaki artıştan PG lerin sorumlu olup olmadıkları konusudur. Birinci soruyu yanıtlamak için böbreğin yapısal özelliklerini gözden geçirmek gerekmektedir. İnsan ve kemiricilerin böbreklerinin iş medulla kısmında, Henle kulpu ve kapiller damarlara çok yakın komşuluğu olan osmofilik granüller yer almıştır.¹¹ Hipertansiyonda bu papiller granüllerin seyrekleştiği, medullada sodyum ve üre derişimlerinin azalduğu izlenmiştir. İç medulladaki bu osmofilik granüllerin PG leri kapsadığı bildirilmiştir.¹² Oto-regülasyonun bulunmadığı iç medullada PB'nın yükseltilmesi, damarlarla yakın komşuluğu olan intersitisyal hücrelerdeki, osmofilik granüllerden PG lerin kolaylıkla dolaşma geçmelerine neden olabilir.¹¹ Ayrıca iç medullada PO₂ basıncı düşüktür. Oksijen miktarının azlığına bağlı olarak buradaki ATP yapımı glikolize dayanmakta ve böylece ortama metabolik olarak iyi bir uyum sağlanmış bulunmaktadır.²³ İç medullada PG lerin aktif olarak sentez edildikleri bilinmektedir.^{11, 12, 19} *In vitro* olarak, böbrek iç medullasına ait doku parçacıkları ile yapılan deneyde, ortamın oksijen kapsamının % 5 ten % 95 e çıkarılması, PG sentez kapasitesini arttırmıştır.²³ Bu önemli bir bulgudur, çünkü iç medulladaki oksijen miktarının azlığından buradaki kan akış hızı sorumludur. Bu yüzden PG sentez kapasitesi yüksek olan iç medullada, kan akımının hızlanması PG sentezini düzenleyen bir faktör

olarak belirmektedir. Çalışmamızda PB nin yükseltilmesi ile izlenen PG salınışındaki artış böbrekteki bu yapısal özelliklere bağlı görülebilir.

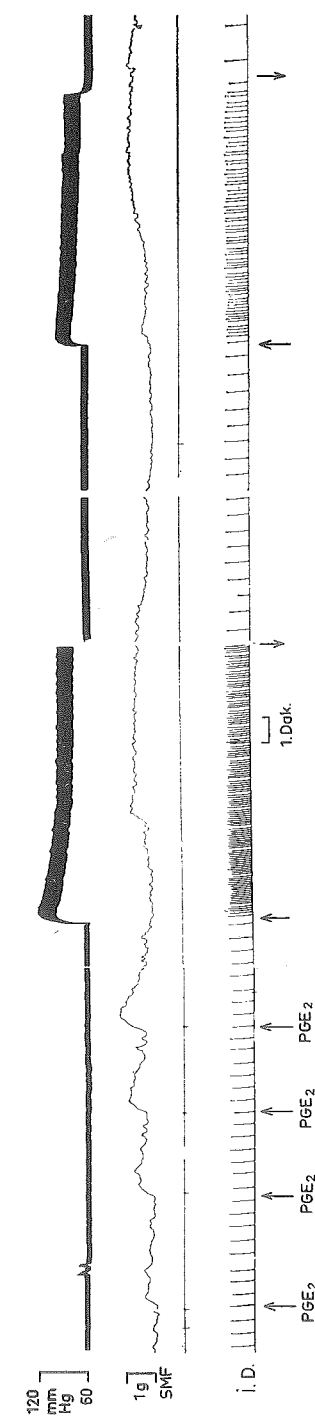
İkinci soruya yanıt olarak bazı çalışmaların sonuçlarını gösterebiliriz. Örneğin tuz yüklenen sıçanlarda böbrekte hemodinamik değişiklikler olduğu, kan akımının medulladan kortekse yer değiştirdiği, natriürezle birlikte idrardaki PGE, PGF_{2α} miktarlarının arttığı bildirilmiştir.²⁴ Kronik olarak tuzla yüklenen tavşanlara, PG sentezini inhibe eden fakat böbrek fonksiyonları için etkisiz olan indomethacin (İNDÖ) verilince papillada PGA₂ derisi azalırken idrarla boşaltılan tuz miktarı da azalmıştır.²⁵ Ayrıca köpeklere İNDÖ verilmesi ile böbrek kortikal kan akımının azaldığı gösterilmiştir.²⁶ Bundan başka PG lerin sentezi için gerekli öncül maddelerin, diyette bulunmaması sodyumun idrarla atılmasında bir azalmaya neden olmuştur.²⁷ Bunun aksine arkidonik asid gibi PG sentezi için gerekli öncül maddenin köpeklerde verilmesi, böbrekte PG sentezini artırırken düirez ve natriürez gözlenmiş, ancak bu deneklere PG sentezini inhibe eden nonsteroidal anti-inflamatuar ilaçlar (NSAİİ) uygulandıktan sonra düirez ve natriürez ortadan kalkmıştır.²⁸ Bütün bu bulgular PG lerin, böbrekler yolu ile sodyumun vücut dışına boşaltılmasında görev aldıklarını göstermektedir.

Dusing ve arkadaşlarının²⁹ sıçanlar üzerinde yaptıkları çalışmada vücut ağırlığını % 10 oranında artıracak miktarda tuzlu su infüzyonları yapılarak ekstrasellüler sıvı hacmi (ESSH) akut olarak genişletilmiştir. Daha önce İNDÖ alan bu deneklerde ESSH nin akut olarak genişletilmesi, GFH ni etkilemediği halde böbrek plazma akımını (BPA), idrar hacmini ve idrarla atılan Na, K miktarlarını azaltmıştır. Ancak yine İNDÖ verilmiş fakat ESSH genişletilmemiş olan aynı çalışmada bir başka deney grubunda GFH, BPA, idrar hacmi, idrarla atılan Na ve K miktarları değişmemiştir.²⁹ Her iki deney grubunda da verilen İNDÖ sistemik kan basıncını etkilememiştir ve filtre edilen total tübuler sodyum yükü değişmemiştir. PG sentezinin inhibe edilmesi, yanlış ESSH nin akut olarak genişletildiği deney grubunda PG yetersizliğine özgü bulguların ortayamasına neden olmuştur. Buna göre PG lerin böbrek fonksiyonlarını en etkin biçimde etkilediği ortam, böbreğe gelen kan miktarının artmış olduğu koşullardır. Tobian³⁰ ve Papanicalou'nun³¹ deneylerinde de bu görüş paylaşılmaktadır. Bu konuda Gennari ve arkadaşlarının³² yakında yaptıkları çalışmada, tuzlu su verilmesi ile akut olarak ESSH genişletilmesi sağlandığında idrarla atılan sodyum miktarının eş zamanlı olarak arttığı, kan basıncının düşürülmesi ile natriüretik etkinin derhal ortadan kalktığı izlenmiştir. Buna göre, bir yanandan sodyumun böbrekler yolu ile atılmasında PG lerin rol aldıklarını kanıtlayan çalışmalar^{24, 25, 26, 27, 28} görülürken diğer taraftan böbrek

PB nin yükseltilmesi ile natriüretik etkinin ortaya çıktığını bildiren araştırmaların^{3, 4, 5, 6} bulunması “basınç natriürezisinden” sorumlu hormonal madde PG lermidir?” sorusunu getirmiştir.^{7,22}

Tablo I, II, III ve Şekil 2 den izleneceği gibi PB nin üç kez yükseltilmesinde, idrar hacminde başlangıç ve ara kontrollere göre sırası ile $P < 0.001$, $P < 0.001$, $P < 0.001$ olarak artış görülürken aynı koşullarda Na ($\mu\text{Eq}/\text{dk}$) boşaltımında $P < 0.001$, $P < 0.001$, $P < 0.001$ olarak ,K ($\mu\text{Eq}/\text{dk}$) boşaltımında ise $P < 0.05$, $P < 0.01$, $P < 0.01$ olarak önemli artışlar saptanmıştır. PB nin yükseltilmesi böbrek interstisyumunda basınç yükselterek, tubulilerde mekanik kollapsa yol açıp tubulilerdeki geri emilimi baskılabilir.⁶ Bu ise elde ettigimiz bulguların nedeni olabilir. Ancak aynı sonuçları oluşturabilecek ve böbrekte doğal olarak en çok bulunan PGE₂ salınışındaki artışın birlikte izlenmesi¹ çalışmamızın önemli bir bulgusudur. Bu bulgumuzu Terashima ve arkadaşlarının³³ köpekler üzerinde yaptıkları in vivo çalışmalarında elde ettikleri sonuçlar desteklemektedir. Araştıracılar böbrek arterine hipertonus tuzlu su infüzyonu yaparlarken eş zamanlı olarak izledikleri böbrek ven plazmasındaki PGE miktarı ile böbrek PB nin istatistiksel olarak anlamlı bir artma gösterdiklerini saptamışlardır. Ancak bu deneklere İNDO verildiğinde, tuzlu su yüklemesi sırasında izlenen bulguların kaybolduğu görülmüştür.³³ Bu bulgu yükleme sırasında salinan PGE nin depo edilen den çok yeniden sentez edilen PG olabileceği şeklinde yorumlanmıştır. Bu görüşe, Şekil 4 de izlenen bulgumuz nedeni ile bizde katılmaktayız. Burada görüldüğü gibi PGE₂ ye duyarlı sıcan mide fundus (SMF) kasında PB nin yükseltilmesi ile yavaş, gittikçe artan fakat sürekli olan bir kasılma ortaya çıkması, depo edilmiş olandan çok böbrekte yeni den sentez edilen PG nin salınısına benzetilmiştir.

Yanıtlanması gereklili üçüncü bir soru da “böbrek PG lerinin sodiyum boşaltımını nasıl etkiledikleri” sorusudur. Dışardan verilen PG’lerin kortikal kan akımını artttığı, hızlı geçişe bağlı olarak proksimal tüplerden su ve sodyum geri emilimini azalttığı ileri sürülmektedir.^{9, 14, 15} Afferent ve efferent arteriollerde vazodilatasyonun aynı zamanda görülmesi GFH sabit kalmasına karşın, kan akımının artmasına neden olur.^{14, 16} Afferent ve efferent glomerüller arteriollerde akıma karşı direncin düşmesi, peri tübüler kapillerde hidrostatik basıncı yükseltirken onkotik basıncı düşürür.¹⁴ Bu ise su ve sodyum geri emilimini azaltır.^{8, 14, 16} Böylece su ve sodyum miktarının fazla bulunduğu tübüler sıvı Henle’nin çıkan koluna ulaşır. Burada sodyumun geri emilimi inhibe edildiğinden medulla tonisitesi gittikçe azalır. Diğer taraftan meduller kan akımının artması da bu alanda madde sürüklənməsinə sebep olarak idrarın konsantre edilmesi için gerekli medüller hipertonisiteyi bozar.^{16, 34}



Şekil 4

Perfüzyon basıncı, test organı ve idrar damalarının eş zamanlı olarak izlendiği poligrafla kaydedilmiş deney trasesi. Perfüzyon basıncı yükseltildiğinde test organında hemen değil taşat gitlikçe artan süreli bir kasılma olduğu izlenmektedir. standard PGE₂ nin değişik dozlarının oluşturduğu kasılmalarla karşılaştırılması yapılmaktadır.

İ. D: İdrar Damlaları, SMF: Sığan Midle Fundus, Perfüzyon Basıncı, Perfüzyon basıncı akut yükseltilişini, ↑ ok işaretli ise perfüzyon basıncının başlangıç değerine dönüşünü belirtmektedir.

Bu etkiler asetilkolin, bradikinin gibi damar genişletici diğer maddelerle de görülmektedir.³⁵ Bu yüzden diüretik ve natriüretik etkiden PG lerin damar genişletici özelliklerinin sorumlu olduğu ileri sürülmektedir.^{13,14,15} Diğer taraftan Lafferty ve arkadaşları³⁶ PGA₂ nin, proksimal tüp ve Henle'nin çıkan kolunda Na-K-ATP'azı inhibe ederek sodyum iyonunun taşınması için gerekli enerjiyi bloke ettiğini göstermişlerdir. Ancak bu bulgu, tavşan böbreği korteks ve medullasından ayrılan tubulusların PGE₁, PGE₂, PGA₁, PGA₂ ile entübe edildiği in vitro çalışmalarla kanıtlanamamıştır. Düsing ve arkadaşları³⁷ İNDÖ verilmiş deneklere ESSH genişletilmesi uygulayarak kortikal, meduller ve papiller Na-K-ATP'az aktivitesini izlediklerinde önemli bir değişikliğin oluşmadığını bildirmiştir. Roman ve Kauker'in³⁸ sıçanlar üzerinde yaptıkları mikropunksiyon çalışmalarında PG sentetazi inhibe eden NSAİİ verilmesinin, idrar akış hızını, sodyum ve potasyum boşaltımını önemli miktarda azalttığı gösterilmiştir. Bu çalışmada PG inhibitörlerinin primer olarak su, sodyum ve potasyumun tubüler geri emilimlerini artttığı açıkça belirirken, eş zamanlı olarak izlenen böbrek venöz kanındaki PGE₂-benzeri maddenin % 90-69 oranında azalma gösterdiği saptanmıştır. Böylece bu mikropunksiyon çalışmaları ile özellikle kortiko meduller nefronlarda, böbrek içi PG lerinin su, sodyum ve potasyum geri emilimini azaltığı gösterilmiştir. Potasyum boşaltılmasındaki azalma, Henle'nin çıkan kolunda artan sodyum geri emilime bağlanmakta ve ortamda PG ler olmadığı zaman potasyum geri emiliminde arttığı ileri sürülmektedir. Bu bilgilere dayanılarak PG lerin potasyum geri emiliminde ara madde olma olasılıkları belirmektedir. Roman ve Kauker'in sonuçları bulgularımızla uygunluk göstermektedir. Çünkü PGE₂-benzeri madde miktarı venöz sıvı içinde artarken su, sodyum ve potasyum geri emilimi azalarak boşaltımlarında önemli artışlar izlenmiştir. Çalışmamızda PB'nin yükseltilmesinde görülen potasyum atılmasındaki artış, eş zamanlı olarak artan PGE₂-benzeri maddenin, potasyum geri emilimini engellediği şeklinde yorumlanabilir.

PG lerin distal tubulslarda tuz geri emilime bir etkisinin bulunup bulunmadığı saptanamamıştır.³⁴ Bununla beraber böbrek PG lerinin renin,³⁹ aldosteron⁴⁰ sekresyonlarının artmasında aracı olmaları araştırma konusudur.

PG lerin kollektör tüplere etkisi, antidiüretik hormonun (ADH) sekresyonunu baskılıyarak ve ayrıca bu hormonun aktive ettiği adenilsk-lazı inhibe ederek olmaktadır.^{14, 15, 16} Çalışmamız izole perfüze sisteme yapıldığı için bu hormonal etkileşim söz konusu olamaz. Ayrıca dışardan PG verilmemiği için, PB'nin yükseltilmesi ile böbrekte doğal olarak bulunan medullar PG lerin sentez ve salınışlarının arttığı varsayı-

lrsa (Şekil 4) bu endojen PG lerin nefronlara nasıl ulaşıp böbrek fonksiyonlarını etkiledikleri konusu önemli bir soru olarak belirir. Buna bir yanıt arandığında endojen PG lerin vaza rekta, Henle'nin çıkan kolu veya lenfatik yolla kortekse ulaşarak yukarıda açıklamaya çalıştığımız etkileri oluşturduğu bildirilmektedir.³⁴

İzole sisteme bağlanan böbrek preparatının, çalışma süresi içinde cevaplarının güvenilir olup olmadığı sorusuda yanıtlanması gereklî önemli bir konudur. Bunun için Tablo I, II, III tatkîk edildiğinde görüleceği gibi PB yükseltildiğinde elde edilen bulguların kendi aralarında karşılaştırılması yapıldığında değerlerin birbirine yakınlığı dikkat çekicidir. Aynı özellik başlangıç ve ara kontrol değerler için de söz konusudur. Bu ise izole perfüze tavşan böbrek preparatının, deney süresince fizyolojik cevap açısından güvenilir olduğunu göstermektedir.

Bulgularımız PB'nin akut olarak yükseltilmesinin izole perfüze tavşan böbrek preparatında sodyum, potasyum ve idrar boşaltımında artışlara neden olduğunu göstermiştir. Bu sonuçlarla, deneyin başlangıcında eş zamanlı olarak venöz dönüş sıvısı içinde PGE₂-benzeri madde miktarında artmanın saptanması "basınç natriürezisinden sorumlu hormonal madde PG ler midir?" sorusuna yanıt getirilmiştir. Bu açıdan bulgularımız değerli olabilir.

Teşekkür

Değerli katkıları nedeni ile Ankara Üniversitesi Tıp Fakültesi Farmakoloji Kürsüsünden Prof. Dr. R. K. Türker'e, PGE₂, PGA₂, PGE_{2x} yi armağan olarak gönderen Dr. J. E. Pike, Upjohn, Kalamazoo, Michigan U.S.A. firmasına, teknik asistan olarak kusursuz ekip çalışması yapan Teknolog Ü. Bayazit, R. Coşkun ve İ. Köseoğlu'na teşekkürlerimi bildiririm.

Özet

Böbrek perfüzyon basıncının (PB) yükseltilmesinin idrar hacmine, sodyum ve potasyum boşaltılmasına olan etkileri Krebs'le perfüze izole tavşan böbreğinde incelenmiştir. PB'nin 30-40 mmHg yükseltilmesi idrar hacminde, sodyum ve potasyum boşaltımında sırası ile $P < 0.001$, $P < 0.001$, $P < 0.05$ olarak önemli artışlara neden olmuştur. PB'nin izole sistemde aynı koşullarda yükseltilmesinin, böbrek venöz dönüş sıvısı içinde önemli miktarda PGE₂ benzeri madde kapsamını artırdığı da daha önce izlenmiştir.¹

Basınç natriürezisinde, peritübüler kapiller basıncının artmasına bağlı olarak proksimal tüplerden sodyum geri emiliminin azaldığı ileri

sürülmektedir.^{2, 3} Bununla beraber natriürezisten sorumlu hormonal bir mekanizma üzerinde de durulmaktadır. Böbrek PB nin yükseltilmesinin böbrek içi humoral bir mekanizmayı aktive etme olasılığı vardır. Çalışmamızda PB nin yükseltilmesi ile ortaya çıkan sodyum, potasyum ve idrar boşaltımındaki artış eşlik eden bir bulguda böbrek venöz dönüş sıvısı içindeki PGE₂ benzeri aktivitetenin artmış olmasıdır. PB nin yükseltilmesi PGE₂ ye benzer bir maddenin sentezini sağlayan bir uyarı olarak varsayılrsa, natriürezisle birlikte görülmesi anlam kazanmakta ve basınç natriürezisinden sorumlu olabileceği ileri sürülen hormonal teoriyi desteklemektedir.

KAYNAKLAR

1. Gündoğan, Ü. N.: Böbreğin antihipertansif fonksiyonu ve perfüzyon basıncı. Doğa 1: 9, 1977.
2. Martino, J. A., and Early, L. E.: Demonstration of a role of physical factors as determinants of the natriuretic response to volume expansion. J. Clin. Invest. 46: 196, 1967.
3. Selkurt, E. E., Womark, I., and Dailey, W. N.: Mechanism of natriuresis during elevated renal arteriol pressure. Amer. J. Physiol. 209: 95, 1965.
4. Windhager, E. E., Lewy, J. E., and Spitzer, A.: Intrarenal control of proximal tubular reabsorption of sodium and water. Nephron 6: 247, 1969.
5. Kaloyanides, G. J.: Effect of perfusion pressure on sodium and calcium excretion in the isolated dog kidney. Amer. J. Physiol. 138: 462, 1971.
6. Kaloyanides, G. J., DiBona, G. F., and Baskin, P.: Pressure natriuresis in the isolated kidney. Amer. J. Physiol. 220: 1663, 1971.
7. Lee, J. B.: Natriuretic "hormone" and renal prostaglandins. Prostaglandins. 1: 1, 1972.
8. Rector, F. C., Van Giesea, G., Kiil, F., and Seldin, D. V.: Influence of expansion of extracellular volume on tubular reabsorption of sodium independent of changes in glomerular filtration rate and aldosteron activity. J. Clin. Invest. 43: 341, 1964.
9. Barger, A. C., and Herd, J. A.: Study of renal circulation in the unanesthetized dog with inert gases: External counting. In proceeding third international congress of nephrology, Karger, Basel. 1966.
10. Thurau, K.: Renal hemodynamics. Amer. J. Med. 36: 698, 1964.
11. Tobian, L., Ishii, M., and Duke, M.: Relationship of cytoplasmic granules in renal papillary interstitial cells to "post salt" hypertension. J. Lab. Clin. Med. 73: 309, 1969.
12. Dunn, M. J., Staley, R. S., and Harrison, M.: Characterization of prostaglandin production in tissue culture of rat medullary cell. Prostaglandins. 12: 37, 1976.
13. Bay, W., Ferris, T. F.: Studies of the mechanism of prostaglandin E (PGE) induced natriuresis. Clin. Res. 23: 355, A, 1975.
14. Johnston, H. H., Herzog, J. P., Laufer, D. P.: Effect of prostaglandin E on renal hemodynamics sodium and water excretion. Amer. J. Physiol. 213: 939, 1967.

15. Fulgraff, G., and Meiforth, A.: Effects of prostaglandin E₂ on excretion and reabsorption of sodium and fluid in rat kidney (micropuncture studies). *Pflügers Arch.* **330:** 243, 1971.
16. Gross, J. B., and Barter, F. J.: Effects of prostaglandins E, A and F_{2x} on renal handling of salt and water. *Amer. J. Physiol.* **225:** 218, 1973.
17. Gündoğan, Ü. N., and Türker, R. K.: Influence of pulmonary circulation on diuretic action of prostaglandin E₂. *Pharmacology.* **11:** 278, 1974.
18. Meites, S., and Faulkner, W. R.: Manual of practical micro and general procedures in clinical chemistry. pp. 30, Thomas. C. G. (Derleyen) Springfield Illinois. U.S.A. 1962.
19. Lee, J. B., Crowshaw, K., Takman, B. H.: The identification of prostaglandin E₂, F_{2x}, and A₂ for rabbit kidney medulla. *Biochem. J.* **105:** 1251, 1967.
20. Friesinger, G. C., Olez, O., Sweetman, B. J., Nies, A. S., Data, J. L.: Prostaglandin D₂ another renal prostaglandin. *Prostaglandins.* **15:** 969, 1978.
21. Carr, A.: Hemodynamic and renal effects of a prostaglandin A₁ in subjects with essential hypertension. *Am. J. Med. Sci.* **259:** 21, 1970.
22. Papanicolau, N., Moutokalakis, Th., Safar, M., Sotiropoulou, G., Bariety, J., and Milliez, P.: Urinary prostaglandins before and after extracellular space expansion in normal rats. International conference on prostaglandins, Abstract book, p. 180, Florence, 1970.
23. Zenger, T. V., Levitt, M. J., and Davis, B. B.: Possible modulation of renal prostaglandins. *13:* 143, 1977.
24. Dusing, R., Opitz, W. D., and Kramer, H. J.: The role of prostaglandins in the natriuresis of acutely salt-loaded rats. *Nephron.* **18:** 212, 1977.
25. Lee, J. B., and Attallah, A. A.: Response of intrarenal PGA₂ to salt loading in rabbit. *Circ. Res. Suppl. I* **24:** 75, 1974.
26. Kirschenbaum, M. A., White, N., Stein, J. H., and Ferris, T.: Redistribution of renal cortical blood flow during inhibition of prostaglandin synthesis. *Am. J. Physiol.* **227:** 801, 1974.
27. Rosenthal, J., Simone, P.G. and Silbertgleit, A.: Effects of a prostaglandin deficiency on natriuresis and blood pressure. *Prostaglandins.* **5:** 435, 1974.
28. Tannenbaum, J., Splawinski, T. A., Oates, J. A., and Neis, A. S.: Enhance renal prostaglandin production in the dog. I. Effects on renal function. *Circulation Res.* **36:** 197, 1975.
29. Düsing, R., Melder, B., and Kramer, H. J.: Prostaglandins and renal function in acute extracellular volume expansion. *Prostaglandins.* **12:** 3, 1976.
30. Tobian, L. Schaning, S. Seefeldt, C.: The influence of arteriol pressure on the antihypertensive action of a normal kidney, a biological servomechanism. *Ann. Int. Med.* **60:** 378, 1964.
31. Papanicolaou, N.: Investigation of the mechanism of prostaglandin release. *Experientia,* **28:** 275, 1972.
32. Gennari, F. J., Lefavour, G. S., Caflisch, C. R., Spevack, S. Cortell, S.: Identification of two components in the natriuretic response to saline loading in the rat. *Amer. J. Physiol.* **235:** F126, 1978.
33. Terashima, R., Anderson, F. L., Jubiz, W.: Prostaglandin E release in the dog: Effect sodium. *Amer. J. Physiol.* **231:** 1429, 1976.

34. Zins, G. R.: Renal prostaglandins. *The Amer. J. of Med.* **58**: 14, 1975.
35. Carriere, S., Friberg, J., and Pierre, J. G.: Vasodilatators, intrarenal blood flow and natriuresis in the dog. *Amer. J. Physiol.* **221**: 92, 1971.
36. Lafferty, J. J., Kanhegeser, H., Lee, J. B., and Parker, C. W.: Metabolic mechanisme of action of the renal prostaglandins. Bergström, S., and Bernhard, S. (Derleven). *Advance in the bioscience international conference of prostaglandins*. Pergamon Press, Oxford. 1973, pp. 293.
37. Düsing, R., Opitz, W. D., and Kramer, H. J.: A possible role of prostaglandins (PG) in the natriuresis flowing ECV-expansion. *Abstract, kidney. Int.* **8**: 473, 1975.
38. Roman, R. J., Kauker, M. L.: Renal effect of prostaglandin synthetase inhibition in rats: Micropuncture studies. *Amer. J. Physiol.* **235**: F111, 1978.
39. Krakoff, L. P., De Guia, D., Vlachakis, N., Stitricke, J., Goldstein, M.: Effect of sodium balance on arterial blood pressure and renal responses to prostaglandin A₁ in man. *Circ. Res.* **33**: 539, 1973.
40. Fichman, M., and Horton, R.: Significance of effects of prostaglandins on renal and adrenal function in man. *Prostaglandins.* **3**: 629, 1973.

Erişkin Olekranon Kırıkları

Dr. Nasır Özdemir* / Dr. Ümit Akkoyunlu*

Dr. Yaser Muşdal* / Dr. Şakir Memikoğlu* / Dr. Faruk Balkar**

Bu araştırmada, Hacettepe Üniversitesi Hastaneleri Ortopedi ve Travmatoloji Bölümünde 1968-1977 yılları arasında tedavi edilen olekranon kırıklarının tedavi ve sonuçları literatürle karşılaştırılarak değerlendirilmiştir. Dirsek kırıklarının önemli bir bölümünü içeren olekranon kırıkları, iyi tedavi edilmediği takdirde dirsek eklemi fonksiyonunu önemli ölçüde azaltacağı bilinmektedir.

Olekranon kırığı iki esas mekanizma ile meydana gelir.

1. Direkt Travma: Dirsek üzerine düşme veya olekranon üzerine gelen darbe ile olur. Bunlar genellikle tek veya çok parçalı kırıklardır.

2. İndirekt Travma: Triseps kasının ani ve kuvvetli kasılması sonucu oluşur. Kırığın ayrılma derecesi, yumuşak dokulardaki yırtılma ve Triseps kasının çekme derecesine bağlı olarak değişiklik gösterir.¹⁻⁵

Materyel ve Metot

1968-1977 yılları arasında tedavi edilen 58 dirsek eklemi kırığı vakasının 17 sinde olekranon kırığı tedavi ve sonuçları ile birlikte değerlendirilmiştir. Vakalarımızın klinik ve radyolojik muayenesi yapıldıktan sonra, Riseborough ve Radin tarafından geliştirilen ve dünyaca kabul edilen değerlendirmeye uygun olarak sonuçlar aşağıdaki şekillere ayrıldı.¹⁷

İyi: 10 dereceden az hareket kaybı ile hastanın şikayetinin olmaması,

Orta: 30 dereceye kadar olan hareket kısıtlığı ve ancak sorulan sorularla ağrı gibi şikayetlerin olması,

Kötü: 30 dereceden fazla hareket kısıtlığı ve sabit deformitenin olması.

* Hacettepe Üniversitesi Tıp Fakültesi Ortopedi ve Travmatoloji Bilim Dalı Öğretim Üyesi.

** Aynı Fakülte Ortopedi ve Travmatoloji Bilim Dalı Uzmanı.

Vakalarımızın 4 ünde konservatif, 13 ünde ise cerrahi tedavi uygulanmıştır. Cerrahi tedavi uygulanan vakaların hepsinde kırık fragmanı ayrılmıştır. Konservatif tedavi uygulanan vakaların birinde ayrılmamış kırık, 3 ünde kopma tarzında ayrılmış kırık vardır.

Cerrahi tedavide, 3 vakada frogmanın exisyonu, 10 vakada internal fixasyon araçları kullanılmıştır.

Bulgular

Araştırmamızda toplam 58 vakanın 17 sinde (% 29.4) olekranon kırığı vardı. Hastaların yaşıları 20-65 arası, (ortalama 34.3 yaşı), vakaların 6 si kadın 11 i erkekti. Tablo I de kırığın etyolojik nedenleri gösterilmişdir.

Vakalarımızda bir tanesinde ayrılmamış kırık (% 5.9) diğer 16 vakada (% 94.1) ayrılmış kırık tesbit edilmiştir.

Olekranon kırıklı vakalarımızın sonuçları Tablo II de gösterilmiştir.

Tablo III de kırık günü ile tedaviye başlama günü arasında geçen süre ve tedaviden elde ettigimiz sonuçlar gösterilmiştir.

TABLO I

Etyolojik Neden	Vaka sayısı	%
Dirsek üzerine düşme	5	29.4
Açık el üzerine düşme	7	41.2
Trafik kazası	3	17.6
Diğer nedenler	2	11.8

TABLO II

Tedavi Şekli	Vaka sayısı	Sonuç			
		İyi	Orta	Kötü	Komplikasyon
Konservatif	4	2	2	—	—
Cerrahi	13	5	6	2	5 Degeneratif artrit.
Toplam	17	7	8	2	5

TABLO III

Vaka Sayısı	Geçen Süre	İyi	Orta	Kötü
8	1-8 gün	4	3	1
7	9-30 gün	3	4	—
2	Bir aydan sonra	—	1	1

Tartışma

Olekranon kırıklarında etyolojik faktörler Tablo I de gösterilmiştir. Elde ettiğimiz bulgular literatürdeki bulgulara benzemektedir.¹⁻⁴ Literatürde, olekranın kırığı ile birlikte düşük oranda dirsek eklemi dislokasyonundan söz edilmektedir.^{3, 6, 7} Ancak vakalarımız arasında dislokasyona rastlanmamıştır.

Ayrılmamış olekranon kırıklarında bir çok araştırmacı konservatif tedaviyi önermektedirler.^{2, 3, 7, 8} Bu araştırmacıların bir kısmı dirseğin ekstansiyonda immobilizasyonuna karşıdır. Richard farr ise, dirseğin 3 hafta extansiyonda daha sonra 1-2 hafta flexionda tutulmasını tavsiye etmektedirler. Eppright ve Wilkins yaşlı hastalarda daha kısa süreli immobilizasyondan sonra aktif hareket önermektedirler.^{2, 3, 7, 8}

Ayrılma gösteren kırıklarda araştırmacıların büyük çoğunluğu cerrahi yaklaşımından yanadırlar.^{3, 8-12} Anderson'a göre eklem yüzünün tam anatomič redüksiyonu sağlanmalıdır, aksi takdirde degeneratif artritin gelişmesi yüksek oranda meydana gelecektir.¹⁰

Cerrahi tedavide kullanılan internal fiksasyon araçları sonuçları etkilemesi bakımından değişiklik göstermektedir. Babayan, tel dikiş ile vida kullanılan vakaların mukayese sonucu tel dikiş ile fiksasyondan daha iyi sonuç alındığını rapor etmektedir.⁴ De Palma, oblik ve az parçalı kırıklarda 8 şeklinde tel dikiş tekniğini önerir.⁸ Deliyannis parçalı kırıklarda Webervasey tekniği ile iyi sonuç aldığıını ileri sürmektedir.⁶ 8 şeklinde tel dikişi ile tedavi ettiğimiz 1 vakadan "iyi", tel serklaj ile tedavi ettiğimiz bir diğer vakadan ise "orta" sonuç elde ettik.

Anderson'a göre, özellikle olekranon parçalı kırıklarında ve alt fragman ile birlikte radiusun öne deplase olduğu hallerde intramedüller fiksasyon en iyi tedavidir.¹⁰ Eppringt ve Wilkins, özellikle oblik kırıklarda rush pin yerine vida ile fiksasyonu önerirler.³ Parçalı kırık olan bir vakamızda Rush Pin kullanılmıştır. Bu vakanın sonucu "orta"dır.

Colton, kırıklı-çırıklı vakalarda AO tipi kalın Spongiosa vida ile daha iyi sonuçların alınabileceğini yaynlamıştır.¹¹

Wadsworth, Sherman'nın kompresyon kemik vidasını fiksasyon için tavsiye ederek erken harekete başlanabileceğini ileri sürmektedir.¹⁴

Martin, Zuelser'in kancalı plagi ile tedavi ettiği 25 vakadan çok iyi sonuç aldığıını yaynlamıştır.¹⁵ Bazı araştırmacılar, parçalı veya nonunionda proximal parçanın eksizyonunu tavsiye etmektedirler.^{3, 5, 8, 10, 11, 16} Bizim 3 vakamızda bu teknik uygulanmış, bir vakadan "kötü" diğer iki vakadan iyi sonuç elde edilmişdir. Weseley ve Eisenstein'e göre fragmanın

eksizyonu ile dirseğin ekstansiyon kuvvetinde herhangi bir azalma olmamaktadır.¹⁵ Colton'a göre kırıkçıklarda eksizyon kontrendikedir.¹¹

Literatürü gözden geçirdiğimizde dikkatimizi çeken konu tedavi şeklinin çok değişik olmasıdır. Bu değişik tedavi şekllerine rağmen sonuçlar genel olarak iyidir. Bu durumda kanaatimize göre kırığın şekli, hastanın yaş ve aktivitesine göre tedavi şekli seçilmelidir. Bir diğer önemli noktada Tablo III te de görüldüğü gibi, kırık anından itibaren tedaviye başlama süresi uzadıkça sonuçlar kötüye doğru geliş göstermektedir. Şimdiye kadar literatürde bu parametreye hiç degenilmemiştir. Bu açıdan araştırmamız özellikle ülkemiz açısından orijinalite ve önem kazanmaktadır.

Özet

1968-1977 yılları arasında kliniğimizde takip ve tedavisi yapılan 17 olekranon kırığı vakasının tedavi yöntemleri sonuçları ile birlikte incelenmiştir.

Araştırmamızda elde ettiğimiz sonuçlar diğer kaynaklarla uyum gösterecek ölçüde iyidir. Ayrıca kırık alçı ile tedaviye başlama süresinin uzamasının elde ettiğimiz sonuçları kötü yönde etkilediği ortaya çıkmıştır. Bu parametreye hiç bir yanında rastlanmadığından bu çalışmanın ülkemiz açısından önemini ve orijinalitesini ortaya koymaktadır.

KAYNAKLAR

1. Ege, R. Hareket sistemi travmatolojisi, AÜTF yayınlarından, Sayı: 250, 1971.
2. Farr, R. B.: Fractures of the elbow New York J. Med. 40: 129, 1940.
3. Rockwood, C. A. and Green, D. P.: Fractures. v.I, Philadelphia, J. B. Lippincott company, 1975.
4. Schiltz, R. J.: The language of fractures. Baltimore, Williams and Wilkins, 1972.
5. Watson-Jones, R.: Kırıklar ve mafsal yaralanmaları (çeviri). cildi. AÜTF. yayınlarından, Sayı: 182, 1968.
6. Deliyannis, S. N.: Comminuted fractures of the olecranon tracted by the Weber Vayes technique, injury., 5: 19, 1973.
7. Hofbauner, F., Licen, D., and Roka, R.: Olecranon fractures; later results. Excerpta Medica, Orthop. Surg., sec. 33, Abst. No. 721, Vol. 22.2 114-115, 1977.
8. De. Palma, A. F.: Kırık ve çıkışlıkların tedavisi (çeviri). Cilt 1. AÜTF yayınlarından Sayı: 277, 1973.
9. Aldredge, G. N. Jr. and Gregory, C. F.: Triceps advancement in olecranon fractures J. Bone Joint Surg., 51A: 816, 1969.
10. Grenshaw, A. H.: Campbells operative orthopaedics. ed. 5. st. lauis. C. V. Mosby, 1971.

11. Colton, C. L.: Fractures of the olecranon in adults: Classification and management. in jury. 5: 121, 1973.
12. Keon-Cohen, M. T.: Fractures at the elbow J. Bone joint surg. 48A: 1623, 1966.
13. Babayan, R.: Fractures of the olecranon. Excerpta Medica, Ortho. Surg., 33, Abst. No. 1472, Vol. 22. 4: 238, 1977.
14. Wadsworth, T. G.: Screw fixation of the olecranon after fracture or osteotomy. Clin. Orthop, 119: 197, 1976.
15. Wesely, M. S. and Eisenstein, A. L.: The use of the zuelser hock plate in fixation of olecranon fractures.
16. The management of fractures in elderly patients is different. J. Bone Joint Surg., 47A: 1043, 1965.
17. Radin, E. L., and Riseborough, E. J.: Fractures of the radial head. J. Bone Joint Surg., 48A: 1055, 1966.

Doğum Eyleminin Tıbbi İndüksiyonu*

Dr. Ali Ayhan / Dr. Hüsnü A. Kişnişçi** / Dr. Timur Gürgan*****

Üterus kontraksiyonlarının herhangi bir yolla oluşturulması esasına dayanır. Doğumcular, ağrı yetersizliği ve eylemin doğrudan uyarımı üzerinde uzun süredir çalışmaktadır. Geçmiş M. S. 100 yıllarına kadar giden amniotomi bugün cerrahi indüksiyonda yaygın olarak kullanılmıştır. Üstelik aynı amaçla servikal bujilerde kullanılmıştır.(1835)⁶

Gebelikte, uygulanımada sakincaları ortaya çıkan ergot alkaloidleri eylemin indüksiyonu amacıyla ile 1800 yıllarda uygulanmış, sonraları Castor yağı, Kinin, özellikle 1906'lardan sonra arka hipofiz ekstreleri ve sentetik analogları aynı amacıyla kullanılmıştır.

Halen sentetik oksitosinler, prostaglandinler, hipertonik solüsyonlar, elektrik ve akapunktur gibi araç ve yöntemler doğum eyleminin indüksiyonunda yaygın olarak kullanılmaktadır.^{6, 18}

Watson (1922), Stein (1934), Mathie ve Dowson başarılı deneyimlerini bildirirkenfoto-maternal olumsuz etkilerine de degeinmişlerdir.⁶

Eylemin indüksiyonunda kullanılan yöntemleri şöyle özetlemek mümkündür:

1. Mekanik: (İntestinal ve ureteral hiperaktivite, vibratilatator, meme başı uyarımı)
2. Cerrahi: (Amniotomi, striping)
3. Tıbbi: (Castor yağı, kinin, spartaine sülfat, oksitosin, desaminoksitosin, prostaglandin, hipertonik solüsyonlar, betamethasone)
4. Elektriki
5. Akapunktur
6. Yöntem kombinasyonları

* Hacettepe Üniversitesi Tıp Fakültesi Kadın Hastalıkları ve Doğum Bilim Dalı Çalışmalarından.

** Hacettepe Üniversitesi Tıp Fakültesi Kadın Hastalıkları ve Doğum Bilim Dalı Öğretim Üyesi.

*** Aynı Fakülte Kadın Hastalıkları ve Doğum Bilim Dalı Asistanı.

Başarılı bir eylem indüksiyonunda aranan en önemli faktörlerden biri şüphesiz serviksin durumu ve uterusun oksitosine duyarlılığıdır.^{2, 3, 4, 6, 21} Serviksin durumu servikal olgunluk* veya Bishop** pelvik skor sistemi ile değerlendirilir. Serviks olgun ve baş angaje ise başarı % 97'dir. Bishop Skora 6 ve altında başarı oranı düşerken eylem süresi uzamaktadır.

TABLO I

Açıklık	0	1-2	3-4	5
	0	1	2	3
Silinme	% 0-30	% 40-50	% 60-70	% 80
	0	1	2	3
Kıvam	sert	orta	yumuşak	
	0	1	2	
Pozisyon	Arkada	ortada	önde	
	0	1	2	
Önde gelen	-3	-2	-1-0	+ 1-2
Kısımlı	0	1	2	3

İndüksiyon elektif ve terapötik (endikasyonlu) olmak üzere iki şekilde uygulanır.⁸ Elektif uygulamada fötal olgunluktan emin olunmalıdır.*^{***}

Terapötik endikasyonda doğum 24 saatte yaptırılmalıdır. Bu sürede doğum oluşmazsa tekrarlayan inatçı uygulamalarдан kaçınarak sezer-yana başvurulmalıdır.

Terapötik indüksiyon endikasyonları şunlardır:^{6, 7, 10}

1. Gebelik ve hipertansiyon
2. Postmatürite (on gün üzeri)
3. Erken membran rüptürü (36 hafta..... 6 saat beklenir.)
4. Gebelik ve diabet (Diabetin derecesi ve fötal olgunluk göz önüne alınarak 34. haftadan itibaren yapılır.)

* Serviks, onde, yumuşak, silinme % 50, açıklık 2 cm. ise serviks olgundur denir.

** Bishop'un Pelvik Skor Tablosu

*** Fötal olgunluk: Biparietal çapı ölçerek, femur distal ve tibia proksimal kemikleşme noktalarını saptayarak ve fötometri yaparak bulunduğu gibi, Lesitin/Sfingo-myelin, kreatinin, tayinleri ile de yapılmaktadır.

5. Rh isoimmünizasyonu (isoimmünizasyona göre 33. haftadan itibaren yapılır.)

6. İnter uterin ölümler
7. Parsiyel plasenta previa, Ablatio Plasenta
8. Amniotik mayının mekonyumlu olması
9. Toksikoz, renal yetmezlik
10. Anemi, infeksiyonlar, pyelitis gravidarum

Aşağıdaki durumlarda ise indüksiyon uygulanmamalıdır:^{3,4,6,7}

1. Baş-pelvis uyuşmazlığı (inter spinal çapın 9.5 cm'den, pelvis giriminin ön-arka çapının 10 cm'den transver çapının 12 cm'den küçük olduğu hallerde)

2. Uygun olmayan presentasyon ve pozisyon
3. Çoğul gebelik, Polihidramnios
4. Servikal olgunluk yetersizliği
5. III. ve IV dereceden kalp hastalıklarında
6. Grand multiparite
7. Skarlı uterus
8. 35 yaş ve üzerindekilerde
9. 4000 gr. ve üzeri ağırlıkta bebek beklenmesi

Şu hallerde indüksiyona cevapsızlıktan söz edilir:¹³

1. 12 saatlik uygulamada servikal değişiklik yoksa,
2. Uterin kontraksiyonlar var, 3 cm'den fazla serviks açılmamışsa
3. Uterin kontraksiyonlarının yeterli düzeye çıkamaması.
4. Yeterli kontraksiyonlar var, uygulanan ilaç bırakılınca kontraksiyonlar duruyorsa.

Kullanılan indüksiyon ajanının olumsuz etkilerini şöyle özetlemek mümkündür:^{6, 13}

1. Kardiyo-vasküler olumsuz etkileri (hızlı ve yüksek dozda tansiyon arteriyel düşer.)
2. İnter vasküler koagülasyon ve hipofibrinojenemi
3. Antidiüretik etki (20 mili ünite ve üzerinde ciddi su entoksikasyonları görülebilir.)

4. Kan glikoz değişiklikleri (hipoglisemi)
5. Hiperlipemİa
6. Eylemi başlatamaz (özellikle amniotomi yapılmayanlarda)
7. Kuvvetli kasılma ve tetanik kontraksiyon
8. Uterin rüptür ve prematür plasental ayrılma
9. Post partum kanama ve atoni
10. Amniotik mayı embolisi
11. İtra uterin infeksiyon
12. Emosyonel davranışlar (korku-anksiyete)
13. Neonatal sarılık (Oksitosin-Fetal hipoksi (uterus kasılması ve kan akımındaki azalmaya bağlı)-Fötal glukronil transferaz aktivitesinde inhibisyon-Karaciğer bilirubini bağlayamaz ve atamaz, Neonatal sarılık olur.)
14. Kordon sarkması (7 defa daha sık)
15. Prematürite
16. Fötal sıkıntı, hipoksi ve fiziksel travma
17. İnfeksiyon

Bugün tıbbi indüksiyonda en çok kullanılan hipofiz arka lop ekstreleri olup, bunlardan da sentetik olarak yapılan oksitosin'dir. Oksitosin bir deka peptit'dir. Hipotalamustan salgılanır. Aksonal akımla arka hipofizde depolanır. Gerekince salınır. Uterus düz adelesini kasılmaya sevkeder ve aynı zamanda meme bezlerindeki düz adeleleride uyararak sütün salınmasını sağlar. Oksitosin ile hücre depolarize olur. Bu sırada Na^{++} iyonu hücre içine girer ve membrandaki Ca iyonu serbestleşir. Actin + Myosin — ACTO-MYOSİN-ATP kompleksi (Kontraksiyon).



Actomyosin-ATP kompleksi $\frac{\text{Ca}^{+2} \text{Mg}^{+2} \text{K}^+}{\text{ATP ase}}$ Actin-Myosin inorganik K, fosfat, ADP, enerjiye dönüş. Adale gevşer.^{1,6}

Alkolle salınımı engellenir Plasental Oksitokinaz ile nötralize olur. Adeleden, damardan transbukkal ve nazal yollardan etkilidir. Yarılanma ömrü 3-4 dakikadır.^{1,6} En emin veriliş yolu damardan olmalıdır. % 5 dekstroz içinde her 100 cc de bir ünite olacak şekilde oksitosin (synpitian) solusyonu yapılır. Başlangıçta 4 mili ünite/dakikada olmak üzere (8 damla) uygulanır. Cardiff, Tekmar veya Palmer infüzyon pompaları ile bu uygulama daha kolay olarak yapılabilir.⁶

Internal ve eksternal monitorle alınan cevaba göre doz artırılır. Genellikle 10 mili ünite/dakikada (20 damla) uterus cevabı için yeterlidir. Ancak duruma göre 20 mili ünite/dakikaya çıkılabilir. Yeterli cevapta 4 cm servikal açıklık olduğunda amniotomi yapılmalıdır. 20 mili ünite/dakika üzerinde hipertonik kasılmalar beklenmelidir. Bu nedenle doz artırılmasında hasta çok yakından izlenmeli ve damla sayısını artırmaktansa daha konsantre solusyon kullanılması tercih edilmelidir. Bu durum özellikle su intoksikasyonu yönünden önemlidir.

Bu kısa hatırlatmadan sonra kliniğimizde indüksiyon hızı, başarı oranı,foto-maternal olumsuz etkileri hakkında gözlemlerimizi sunacağız.

Materiyel ve Metot

Bu çalışma Hacettepe Tıp Fakültesi Kadın Hastalıkları ve Doğum Kliniğinde doğum yapan 3049 gebeden 264 hastada yapıldı. Bunlardan 200 hastaya synpitan verildi. 64 gebede kontrol grubu olarak alındı. Vakaların 38. gebelik haftası ve üzerinde olmasına, müracaatlarında eylemde olmamasına, bütün fetüslerin baş prezentasyonu göstermelerine ve fetüs olgunluğunun tam olmasına özen gösterildi.

Bütün hastalar fizik ve pelvik muayeneye tabi tutuldu. Bishop skoru tayin edildi. 100 cc de 1 internasional ünite simpitan bulunan % 5'lik dekstroz solusyonu hazırlandı. Kontraendike olmayan vakalara Palmer infüzyon pompası ile 4 mili ünite/dakikada (8 damla) olmak üzere damardan verilmeye başlandı. Internal ve eksternal monitorle fötüs ve kontraksiyonlar izlendi. Uterin cevaba göre doz 15 dakikada bir artırıldı. (Ortalama 20 mili ünite/dakikada, nadiren 30 mili ünite/dakikada). Bundan sonra sabit dozda devam edildi. Aktif eylem sağlanınca bütün vakalara 100 mgm Dolantin-2.5 mgm. Haloperidol, 1 amp. Epidosin yapıldı. 4 cm servikal açıklıkta membranlar rüptüre edildi. Genel bilgilerde belirtilen indüksiyon cevapsızlığı ve yetersizliği prensiplerine sadık kalındı.

Bulgular

Hacettepe Tıp Fakültesi Kadın Hastalıkları ve Doğum Kliniğinde 1978 yılında doğum yapmış 3049 vakanın 200'üne indüksiyon uygulandı. (% 6.5).

İndüksiyon yapılanların ancak % 5'i 35 yaş ve üzerinde idi. Yaş dağılımı özettelendi (Tablo II).

İndüksiyon vakalarının % 20'sinin 4 ve üzerinde gebeliği olduğu gözlemlendi. (Tablo III).

Vakaların % 52'sinin hiç doğum yapmadığı saptandı (Tablo IV).

TABLO II
VAKALARIN YAŞ DAĞILIMI

Yaş grupları	İndüksiyon grubu		Kontrol grubu		Toplam	
	Vaka sayısı	%	Vaka sayısı	%	Vaka sayısı	%
24 ve altı	76	38.0	27	42.2	103	39.01
25-29	76	38.0	22	34.4	98	31.11
30-34	38	10.0	10	15.6	48	19.50
35 ve üzeri	10	5.0	5	7.8	15	5.68
Toplam	200	100.0	64	100.0	264	100.00

TABLO III
GEBELİK SAYI DAĞILIMI

Gebelik Sayısı	İndüksiyon Grubu		Kontrol Grubu		Toplam	
	Vaka sayısı	%	Vaka sayısı	%	Vaka sayısı	%
1	88	44.0	28	43.5	116	43.93
2-3	73	36.0	26	40.9	99	31.50
4 ve üzeri	39	20.0	10	15.6	49	18.57
Toplam	200	100.0	64	100.0	264	100.00

TABLO IV
DOĞUM SAYISI DAĞILIMI

Doğum Sayısı	İndüksiyon Grubu		Kontrol Grubu		Toplam	
	Vaka sayısı	%	Vaka sayısı	%	Vaka sayısı	%
0	106	53.0	27	42.2	133	50.39
1	57	28.0	18	28.1	75	28.40
2 ve üzeri	37	19.0	19	29.7	56	21.21
Toplam	200	100.0	64	100.0	264	100.00

Araştırma ve kontrol grubunda gebelik yaşlarının 38 hafta üzerinde olmasına özen gösterildi. Üstelik bütün bebeklerin baş prezentasyonunda olmasına dikkat edildi.

İndüksiyon endikasyonları özet olarak sunuldu (Tablo V).

Verilen simpitamın ortalama dozu Tablo VI'da gösterildi.

İndüksiyon vakalarının % 56'sı 0-1 saatte aktif eyleme girdi (Tablo VII).

Vakaların % 16'sının 0-3 saat, % 17'sinin 12 saatten daha uzun sürelerde doğduğu gözlandı (Tablo VIII).

Vakaların % 20'sinde çeşitli anestezi şekilleri uygulandı (% 35 lokal, % 25 genel, % 2 spinal, % 8 karışık).

TABLO V
İNDÜKSİYON ENDİKASYONLARI

Endikasyon	İndüksiyon Grubu		Kontrol Grubu		Toplam	
	Vaka S.	%	Vaka S.	%	Vaka S.	%
Rh sorunu*	62	31.0	23	35.94	85	32.19
Gün aşımı	53	26.5	13	20.31	68	25.71
EMR**	40	20.0	9	14.07	49	19.93
Toksikoz	20	10.0	8	12.50	28	10.60
Diabet	7	3.5	6	9.38	13	4.92
Elektif	6	3.0	—	—	6	2.27
Toksoplasmosis	4	2.0	3	4.68	7	2.65
İntra uterin ölüm	3	1.5	2	3.12	5	1.89
Diger***	5	2.5	—	—	5	1.89
Toplam	200	100.0	64	100.00	264	100.00

* 40 vakada Rh sorunu gün aşımı ile beraberdi.

** Erken membran rüptürü

*** Parsiyel Plasenta previa 3 vakada, parsiyel plasenta saperasyonu 1 vakada, kronik renal yetersizlik 1 vakada gözlendi.

TABLO VI
VERİLEN SİMPİTAN DOZ DAĞILIMI

Verilen doz	Vaka sayısı	%
5 I.Ü	98	49.0
10 I.Ü	57	28.5
15 I.Ü	35	17.5
20 ve üzeri I.Ü	10	5.0
Toplam	200	100.0

TABLO VII
**DAMLA BAŞLANGICI İLE EYLEM BAŞLANGICI ARASINDAKİ SÜRE
DAĞILIMI**

Süre (saat)	Vaka sayısı	%
0-1	112	56.0
1.01-4	71	35.5
İlk uygulamada eyleme girmeyen	17	8.5
Toplam	200	100.0

İndüksiyon uygulananlarda sezaryen hızı % 7 olarak saptandı (Tablo IX).

Total sezaryen hızımız % 9.38 olarak saptanmış olup, primer sezaryen oranı % 6.5'tur.

Yenidoğanların apgar değer dağılımı Tablo X'da özettelendi.

TABLO VIII
TOTAL EYLEM SÜRESİ DAĞILIMI

Eylem Süresi (saat)	Primipar		Multipar		Toplam	
	Vaka S.	%	Vaka S.	%	Vaka S.	%
0-3	8	8.43	21	23.01	29	16.0
3.01-6	25	26.31	31	34.06	56	30.0
6.01-9	25	26.31	18	19.78	43	23.0
9.01-12	12	12.64	13	14.28	25	14.0
12.01-25 ve üzeri	25	26.31	8	8.87	33	17.0
Toplam	95	100.00	91	100.00	186	100.0

TABLO XI
DOĞUM ŞEKİLLERİ DAĞILIMI

Doğum Şekli	İndüksiyon Grubu		Kontrol Grubu		Toplam	
	Vaka S.	%	Vaka S.	%	Vaka S.	%
Spontan	125	62.5	49	75.4	174	65.90
Çıkumda forceps	55	27.5	13	21.5	68	25.75
Vakum ekstraksiyon	6	3.0	2	3.1	8	3.03
Sezaryen	14	7.0	—	—	14	5.32
Toplam	200	100.0	64	100.0	264	100.00

TABLO X
APGAR DEĞER DAĞILIMI

Apgar Değeri	İndüksiyon Grubu		Kontrol Grubu		Toplam	
	Vaka S.	%	Vaka S.	%	Vaka S.	%
0	3	1.5	2	3.1	5	1.89
1-6	8	4.0	2	3.1	10	3.18
7-10	189	94.5	60	93.8	249	94.93
Toplam	200	100.0	64	100.0	264	100.00

TABLO XI
YENİ DOĞANLARIN AĞIRLIK DAĞILIMI

Yeni doğan Ağırlığı	İndüksiyon Grubu		Kontrol Grubu		Toplam	
	Vaka S.	%	Vaka S.	%	Vaka S.	%
2499 ve altı	6	3.0	9	13.9	15	5.68
2500-2999	38	19.0	12	18.4	50	18.93
3000-3499	80	40.0	19	30.8	99	37.30
3500-3999	67	33.0	16	24.6	83	31.43
4000 ve üzeri	9	5.0	8	12.3	17	6.66
Toplam	200	100.00	64	100.00	264	100.00

TABLO XII
EYLEM SÜRESİ İLE ANNE YAŞI ARASINDAKİ İLİŞKİ DAĞILIMI

Eylem Süresi (saat)	24 ve altı			25-29			Anne Yaş Grupları			Toplam	%
	%	%	%	%	%	%	%	%	%		
0-3	5	7.2	15	21.1	9	19.5	29	16			
3.01-6	24	34.7	21	29.5	11	23.9	56	30			
6.01-9	18	26.0	17	23.9	8	17.3	43	23			
9.01-12	10	14.4	11	15.4	4	8.6	25	14			
12. 01 ve üzeri	12	17.7	7	10.1	14	30.7	33	17			
Toplam	69	100.0	71	100.0	46	100.0	186	100			

TABLO XIII
EYLEM SÜRESİ İLE GEBELİK HAFTASI ARASINDAKİ İLİŞKİ DAĞILIMI

Eylem Süresi (saat)	38 hafta			39 hafta			40 hafta			41 hafta			42 hafta			Toplam	%
	Vaka S.	%	Vaka S.	%	Vaka S.	%	Vaka S.	%	Vaka S.	%	Vaka S.	%	Vaka S.	%	Vaka S.	%	
0-3	2	12.5	3	10.0	12	25.0	6	11.1	6	15.7	29	16					
3.01-6	6	37.5	7	23.3	9	18.7	19	35.1	15	39.4	56	30					
6.01-9	5	31.25	5	16.6	10	20.8	14	25.9	9	23.6	43	23					
9.01-12	1	6.25	7	23.3	7	14.7	8	14.8	2	5.6	25	14					
12.01 ve üzeri	2	12.5	8	26.8	10	20.8	7	13.1	6	15.7	33	17					
Toplam	16	100.0	30	100.0	48	100.0	54	100.0	38	100.0	186	100					

TABLO XIV
EYLEM SÜRESİ İLE BEBEK AĞIRLIĞI ARASINDAKİ İLİŞKİ DAĞILIMI

Eylem Süresi (saat)	2499 V. S.	2500-2999		Bebek Ağırlığı 3000-3499		3500-3999		4000+		Toplam V. S. %
		%	V. S.	%	V. S.	%	V. S.	%	V. S.	
0-3	4	66.8	7	20.5	8	10.8	10	15.8	—	29
3.01-6	1	16.6	8	23.5	27	36.4	17	26.9	3	33.35
6.01-9	—	—	15	44.1	18	24.3	8	12.6	2	22.2
9.01-12	1	16.6	1	2.9	11	14.8	9	14.2	3	33.35
12.01-+	—	—	3	9.0	10	13.7	19	30.5	1	11.1
Toplam	6	100.0	34	100.0	74	100.0	63	100.0	9	100.0
									186	100.0

Yeni doğanların % 3'ünün 2499 gram ve altında, buna karşılık ise % 5'inin 4000 gram ve üzerinde olduğu saptandı (Tablo XI).

Eylem süresi ile anne yaşı, gebelik haftası ve bebek ağırlığı ilişkisi Tablo XII, Tablo XIII, Tablo XIV'te sunuldu.

Total vakaların % 6.8'inde fötal sıkıntı saptandı. Ancak ilacın kesilmesi ile durum düzeldi. Vakaların % 4'ünde doğum sonu atoni ve % 3'ünde kanama saptandı.

Servikal, vaginal ve perineal yırtıkların kontrole göre daha sık olduğu saptandı.

Uterus spazmi % 3.4 vakada görüldü. İlaç kesildiğinde bu hiper-tonik kasılmalar kendiliğinden düzeldi.

Servisimizde indüksiyona bağlı doğrudan bebek ölümü gözlenmedi. Ancak Rh ve ABO uyuşmazlığı dışında indüksiyon yapılanların çocukların % 28, kontrol grubunda % 24 sarılık saptandı.

Tartışma

Uygulamamızda eylemin tıbbi indüksiyon hızı % 6.5 olarak saptandı. Çeşitli merkezlerde bu hızın % 4.4 ile % 41.8 arasında değiştiği görülmüştür.^{7, 12, 13, 16, 17} Bu oranlarda klinik tutum yanında riskli vakaların belirli merkezlere gönderilmesinin de büyük payı vardır. Eylemin indüksiyonunda özen gösterilmesi gereken konulardan biride hastanın yaşıdır. Genellikle 35 yaşın üzerinde uterus rüptürü gibi komplikasyonlar daha sık görülmektedir.^{3, 7, 19} Çeşitli serilerde 35 yaş ve üzerindeki vakalar % 3.4 ile 10 arasında değişmektedir.^{6, 7} Sunulan seride bu oran % 5.0 olarak bulunmuştur. Katı tutumda olmaktadır heran cerrahi girişim yapılabilecek merkezlerde yakın izlemek koşuluyla indüksiyonun yapılabileceği kanısındayız.

Eylem indüksiyonunda bir başka risk faktörü de gebelik-doğum sayısıdır. Genel bilgilerde belirtildiği gibi 4. üncü doğumdan itibaren indüksiyon kontraendike olarak kabul edilmektedir.^{3, 7} Bir seride vakaların ancak % 5,9'unun 5 ve üzerinde doğum yaptığı saptanmıştır.⁷ Serimizde 4 ve üzerinde gebeliği olanlar vakaların % 20'ini teşkil etmektedir. Çok yakın takip ile sınırlı bir uygulamadan çekinilmemelidir.

Elektif indüksiyon bir yana bırakılırsa terapötik indüksiyonda literatür sonuçları ile uyum dikkati çekmektedir. Nitekim literatürde de ilk sıraları gün aşımı erken membran rüptürü, Rh sorunu, toksemi, hipertansiyon gibi nedenler almaktadır.^{3, 6, 7, 9, 10, 15, 19} Özellikle doğumun sonlandırılmasında endikasyonun payı büyütür. Çünkü katı endikasyon varsa doğumun 24 saat içinde sonlandırılması gerekmektedir.

Vakaların aktif eyleme girmelerinde; verilen doz, gebelik haftası serviksin olgunluğu, membranın ve fötüs başının durumu önemli faktörlerdir. Özellikle Bishop skoru 5'in altında tıbbi indiksyon uygulanan vakalarda fazla birşey beklenmemelidir. Serimizde Bishop skoruna göre seçimi yapılan vakaların % 56'sının 1 saatte eyleme girdiği saptanmıştır. Bir araştırmada primipar vakaların % 47'sinin multipar vakalarında % 67'sinin 3 saat içinde aktif eyleme girdiği bildirilmiştir.¹⁰

Simpitan uygulanan vakaların % 83'ün 12 saat içinde doğurduğu saptanmıştır (Tablo VIII). Kontrol grubundaki vakalar ise % 73'ü aynı sürede doğum yapmışlardır. Bir çalışmada 6 saatte primiparların % 24'ünün, multiparların ise % 52'sinin, buna karşın 12 saatte primiparların % 66'sının, multiparların ise % 84'ünün doğum yaptığı bildirilmiştir.¹⁰

Vakaların % 7'sine sezaryen uygulanmıştır. (Tablo IX). Kliniğimizin total sezaryen hızı % 9.38'dir. Bir araştırmada % 4.2 vakanın forceps-vakum, % 3.3'de sezaryenle doğurtulduğu saptanmıştır.¹⁰ İndüksiyon vakasında sezaryen hızı % 1.7 ile 11 arasında değişmektedir.^{2, 9, 11, 13, 14} Sezaryen genellikle teröpatik amaçla indüksiyon uygulanan vakalarda, başarısız indüksiyon gösterenlerde uygulandı. Literatürde de sezaryen için benzer nedenler bildirilmiştir.^{4, 7, 15, 20}

Yeni doğanların apgar değerleri 6'nın altında olanlar indüksiyon grubunda % 4, kontrol grubunda ise % 3.4 olarak gözlenmiştir.

Serimizde % 4 vakada postpartum vakada atoni ve % 3 vakada postpartum kanama görüldü. Bu durum literatürde % 1.1 ile 6.6 arasında değişme göstermektedir.^{2, 9, 12, 15, 18, 20} İndüksiyon uygulananların doğum sonu devresi atoni ve kanama bekłentisi yönünden iyi değerlendirilmelidir.

Vakalarımızın % 3.4'ünde hipertonik uterus kontraksiyonlar saptanmıştır. Bu hız araştırmalarda % 1.9 ile 7.3 arasında değişmektedir.^{2, 5, 9, 11} Bu tür komplikasyonlar yakından izlenirse ve düşük dozda simpitanla başlayıp, tedrici artma yolu ile önlenebilir. % 6.8 vakada fötal sıkıntı saptandı. İlacin kesimi ile düzeldi. Bu durum literatürde % 11 ile 21.1 arasında değişme göstermektedir.⁵

Serimizde rastlanmayan uterus rüptürü literatürde % 0.9 ile 2.4 arasında görülmektedir.² Vaka seçimi, yakın takip bu tür komplikasyonları önlemektedir. Özellikle bu komplikasyon intramusküller uygulamalarda görülmektedir.

İndüksiyon vakalarında 7 kat sıkılıkla kordon sarkmasına rastlanmaktadır.¹³

Bebek ölümlerinin $\% 0.2$ ile 1 oranında değiştiği saptanmıştır. Aynı araştırmancın kontrol grubunda bu durum $\% 0.33$ olarak bulunmuştur.¹¹ Gözlemimizde doğrudan indüksiyona bağlı fötal ölüm gözlenmemiştir. Sonuçlarımızı doğrulayan araştırmalarda vardır.^{9, 14, 15, 21} Internal ve eksternal monitörle yakından izlenimle gerektiğinde sezaryenе baş vurularak önlenebilir.

Literatürde oksitosine bağlı yenidoğan sarılığı bildirilmiştir.^{3, 6, 19} Bu sarılıklar oksitosine bağlanmadan önce diğer sarılık nedenlerinin elimine edilmesi gereklidir. Nitekim Rh ve ABO dışında simpitan uygulanan vakaların $\% 28$ ve kontrol grubunda da $\% 24$ oranında yenidoğan sarılığına rastlanılmıştır.

Oksitosik ajanlar ile eylemin indüksiyonunda başarı oranı $\% 67$ ile $\% 97$ arasında değişme göstermektedir.^{2-7, 9-12, 14, 20, 21} Serimizde oksitosinle indüksiyon başarı oranı $\% 91.5$ olarak bulunmuştur. Gebelik haftası, servikal olgunluk, membranların durumu, anne yaşı gibi faktörler başarıyı etkilemektedir.

Sonuç

Sonuç olarak diyebiliriz ki endikasyon iyi seçilmeli, membran rüptüre edilip hemen tıbbi ajanlara geçilmeli, internal ve eksternal monitörle fetüs ve kontraksiyonlar yakından izlenmelidir. Gerçek endikasyon da doğum 24 saat içinde yaptırılmalıdır. Elektif vakalarda bu kural dışına sınırlı olsa çıkmalıdır.

Özet

Kliniğimizde çalışma esnasında 3049 doğum oldu. 200 vakaya simpitanla eylemin tıbbi indüksiyonu yapıldı ($\% 6.5$). Bunlardan 14 vaka ($\% 7$) sezaryenle doğurtuldu. İndüksiyon endikasyonları verildi. Eylem süresi doğum şekli ve indüksiyonun etkinliği tartışıldı. Konuya ilgili literatür gözden geçirildi.

KAYNAKLAR

1. Arisan, K.: Doğum Bilgisi, 1, Baskı, Çeltut Matbaacılık Koll. Şirk. İstanbul, 1978, 174.
2. Baumgarten, V. K., Frolich, H.: Oxytocin und desaminooxytocin ZWR bukkalen. Geburtsein Leitung, Zbl, Gynak, 89: 513, 1967.
3. Benson, C. R.: Current Obst. And Gynecol. Diagnosis and Treatment. 1 Ed. Lange medical Publications, Los Altes, California 1976, 589.
4. Böckler, H.: Die bukkale anwendug von desamino-oxytocin inder Geburtshilfe Geburtsh. Fraunheik 10: 934, 1968.
5. Chung, H. K.: Use of buccal oxytocin in induction of labor in Chinase women. Brit. Med. J. 1: 710, 1966.

6. Clare, F. B.: Medical induction of labor. A Review, Clin, Obstet. Gyne., **2**: 49, 1975.
7. Cordano, A., Kraus, V.: Clinical experience with oxytocin. Obstet. Gynecol. **39**: 247, 1972.
8. Driscoll, K.: Selective induction of labor. Brit. Med. J. **4**: 727, 1975.
9. Hennessey, E., Lang, L.P.: A clinical evaluation of buccal oxytocin. Australian and New Zealand Obstet. Gynec., **6**: 236, 1969.
10. Kaern, T., Schöffer, B.: Effectiveness of induction of labor by intravenous oxytocin. Acta Obstet. Gynec. Scand. **50**: 1971.
11. Laine, J.: Experience of intranasal, buccal and intravenous oxytocin as methods of induction labor. Acta Obstet. Gynec. Scand. **49**: 156, 1970.
12. Liliental, C. M., Ward, J. P.: Medical induction of labor. J. Obstet. and Gynec. Brit. Comwth. **78**: 317, 1971.
13. Macvicar, J.: Failed induction of labor. J. Obstet. and Gynec. **78**: 1007, 1971.
14. Müller, K., Osler, M.: Induction of labor: A comparison of intravenous, intranasal and transbuccal oxytocin. Acta Obstet. Gynec. Scand. **46**: Supp. 9: 59, 1967.
15. Poulsen, E. F.: The induction and stimulation of labor with buccal desamino oxytocin tablets and oxytocin tablets. Acta Obstet Gynec. Scand. **52**: 203, 1973.
16. Sheikh, G. N., Jones, D. P.: The duration of induced labor, J. Obstet. and Gynec. British Comwth. **77**: 1070, 1970.
17. Stronge, J. M. et al.: Active Management of labour, British Med. Journal, **3**: 135, 1973.
18. Theobald, G. W.: The electrical Induction of Labour. 1 th Ed. Butterworth and Co. Ltd. London, 1973.
19. Tricomi, V.: Induction of labor, a contemporary view, clin. J. Obs. Gynec, **4**: 3, 1968.
20. Umuroğlu K. ve Çetinalp. O.: Ağızdan tatbik edilen Sandopart ile bir çalışma ve neticeleri. Zeynep Kamil Tıp Bülteni, **4**: Sayı 3, 1973.
21. Wespi, H. J., und Rehsteiner, H. P.: Erfahrungen mit Syntacinton und oda-Bukkal tabletten. Gynaecologie, **162**: 414, 1966.

Fötal Asetabuler Derinlik İndeksi

Dr. Yaser Muşdal*

Asetabuler derinliğin intrauterin hayatı gelişimi çok karanlık kalmıştır. Bu konuda yapılan çalışmalarla asetabuler derinliğin sadece gözle bakarak değerlendirildiği, derin veya sık kelimeleri ile ifade edildiği anlaşılmıştır.^{2, 3, 5, 6, 9} Ancak Ralis ve Mc Kibbin'in araştırmasının bu konuya daha doğru bir yön verdiği görülmüştür.⁷ Prenatal fötal devrede yapılan çalışmalarla, genellikle fetüsün yaşıının tayin edilmesi önem taşımaktadır. Bu konuda Streeter (1921)'in yapmış olduğu araştırmalarla ortaya koyduğu bilgiler esas olarak kabul edilmektedir.^{4, 8} Fötal femoral gelişme konusunda ise Felts¹ (1954) in yapmış olduğu çalışmada Streeter'in bulguları esas alınarak femur boyu ile fötal yaş arasındaki bağlantı yaklaşık olarak Tablo I'deki gibi bulunmuştur:

TABLO I

Femur Boyu	Fötal Yaş
2 mm.	7 Hafta
3.5 "	8 "
9.2 "	9.5 "
18 "	12 "
26 "	13 "
38 "	15 "
50 "	16 "
58 "	19 "
66 "	20 "
76 "	27 "
100 "	29 "
105 "	40 " (Felts, 1954) ¹

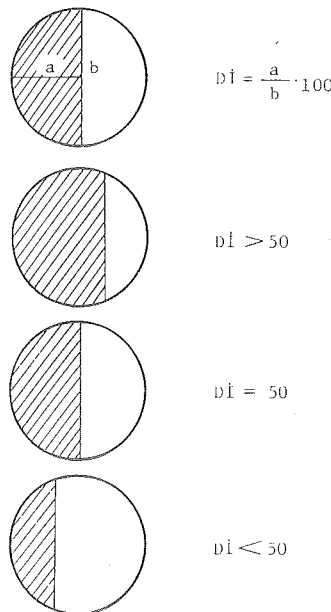
Materiyel ve Metot

Bu çalışma için Ankara Doğumevi'nden temin edilen herhangi bir sebeple ölü doğmuş veya doğumdan kısa bir süre sonra ölmüş, üç ile

* Hacettepe Üniversitesi Tıp Fakültesi Ortopedi ve Travmatoloji Bilim Dalı Doçenti.

on ay arasında fötal yaşıları (25-110 mm. arasında femur boyları) olan 100 adet normal fetustan elde edilen 200 koksa kullanıldı. Bunların 46'sı erkek, 54'ü ise dişi fetus idi.

Asetabuler derinlik indeksi (ADI) nin tayini: Asetabulum kürenin bir parçası gibi kabul edilirse, küre parçasının derinliğini giriş çapına oranlar 100 ile çarparsak her kürede (veya dayirede) sabit olan bir değer ortaya çıkar. Şöyle ki, yarımkürede bu değer 50 dir, küre parçası yarımküreden az ise bu değer 50 nin altında, çok ise üstündedir, (Şekil 1). Bunun için spina iliaka anterior inferior ile tüber iskiumun orta noktasını birleştiren çizgiyi dik kesen asetabuler çap ile bu çap üzerindeki en fazla asetabuler derinlik kumpasla titiz bir şekilde ölçüldü, (Şekil 2). Bütün vakalara ait bu rakamlar elde edildikten sonra elektronik bir hesap makinasının da yardımı ile her vakanın asetabuler derinlik indeksi (ADI) Şekil 1 deki formülden yararlanarak ayrı ayrı saptandı. Bütün vakalar, fötal yaşı (5 mm. aralıklarla femur boy) gruplarına göre istatistiksel değerlendirmeye tabi tutuldu.



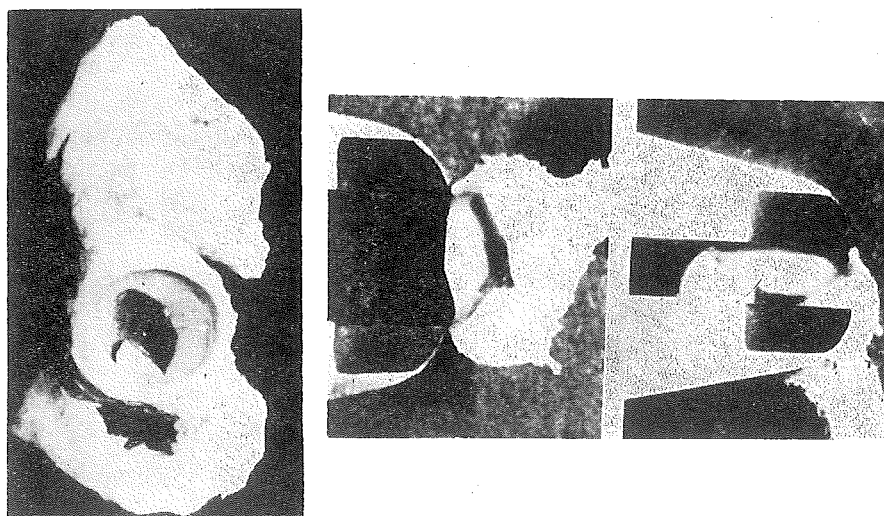
Şekil 1

Ralis ve McKibbin metodu ile asetabuler derinlik indeksinin tayini.

Bulgular

Tablo II'de bütün fetuslara ait asetabuler derinlik indeksi (ADI) nin ortalama ve standart sapma değerleri ve vaka sayıları femur boy (fötal yaşı) grubu sırasına göre verildi. Şekil 3' te bütün fetusların asetabuler

derinlik indeksi değerleri (ortalama, en küçük ve en büyük) femur boy (fötal yaşı) grubu sırasına göre gösterildi. Düşey çizgiler her fötal yaşı bulunan en küçük ve en büyük değerler arasında çizilmiştir. Çizgilerin ürezzindeki rakamlar ise vaka sayılarını vermektedir.



Şekil 2
Fötal koksada asetabuler çap ve derinliğin ölçülmesi.

TABLO II

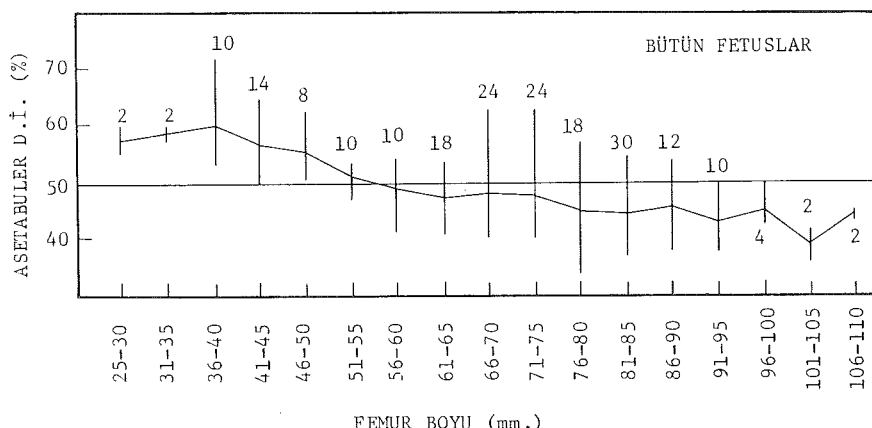
F. B. (mm.)	A. D. İ. ORT.	(%) STD Sapma	Vaka Sayısı
25-30	57.62	3.56	2
31-35	58.80	1.63	2
36-40	60.23	6.17	10
41-45	56.85	4.98	14
46-50	55.86	4.89	8
51-55	50.75	1.84	10
56-60	49.69	3.78	12
61-65	47.44	2.68	16
66-70	48.49	5.63	24
71-75	47.83	5.35	24
76-80	45.05	6.24	18
81-85	44.77	5.02	30
86-90	46.19	4.29	12
91-95	43.23	3.61	10
96-100	45.18	2.87	4
101-105	39.06	3.87	2
106-110	44.42	0.43	2

TABLO III

Karşılaştırılan Femur Boyu Grupları		Ortalamaların Farkı	Ortalamaların Farkının STD. Hatası	P Değeri
30-40	41-45	3.37	2.27	> 0.05
36-40	46-50	4.37	2.68	> 0.05
36-40	51-55	9.48	2.03	< 0.001
36-40	56-60	10.54	2.14	< 0.001
36-40	61-65	12.78	1.74	< 0.001
36-40	66-70	11.73	2.18	< 0.001
36-40	71-75	12.40	2.10	< 0.001
36-40	76-80	15.18	2.45	< 0.001
36-40	81-85	15.46	1.94	< 0.001
36-40	86-90	14.04	2.23	< 0.001
36-40	91-95	16.99	2.26	< 0.001
41-45	46-50	1.01	2.19	> 0.05
41-45	51-55	6.10	1.66	< 0.01
41-45	56-60	7.17	1.76	< 0.001
41-45	61-65	9.41	1.43	< 0.001
41-45	66-70	8.36	1.82	< 0.001
41-45	71-75	9.02	1.75	< 0.001
41-45	76-80	11.81	2.04	< 0.001
41-45	81-85	12.08	1.62	< 0.001
41-45	86-90	10.66	1.84	< 0.001
41-45	91-95	13.62	1.85	< 0.001
46-50	51-55	5.11	1.67	< 0.01
46-50	56-60	6.17	1.94	< 0.01
46-50	61-65	8.41	1.53	< 0.001
46-50	66-70	7.37	2.23	< 0.01
46-50	71-75	8.03	2.14	< 0.001
46-50	76-80	10.81	2.50	< 0.001
46-50	81-85	11.09	1.99	< 0.001
46-50	86-90	9.67	2.07	< 0.001
46-50	91-95	12.63	2.01	< 0.001
51-55	56-60	1.06	1.31	> 0.05

(TABLO III'ün Devamı)

Karşılaştırılan Femur Boyu Grupları		Ortalamaların Farkı	Ortalamaların Farkının STD. Hatası	P Değeri
51-55	61-65	3.31	0.97	< 0.01
51-55	66-70	2.26	1.83	> 0.05
51-55	71-75	2.92	1.75	> 0.05
51-55	76-80	5.70	2.03	< 0.01
51-55	81-85	5.98	1.63	< 0.001
51-55	86-90	4.56	1.46	< 0.01
51-55	91-95	7.52	1.28	< 0.001
56-60	61-65	2.24	1.22	> 0.05
56-60	66-70	1.20	1.81	> 0.05
56-60	71-75	1.86	1.73	> 0.05
56-60	76-80	4.64	2.01	< 0.05
56-60	81-85	4.92	1.61	< 0.01
56-60	86-90	3.50	1.65	< 0.05
56-60	91-95	6.46	1.58	< 0.001
61-65	66-70	-1.05	1.51	> 0.05
61-65	71-75	-0.38	1.45	> 0.05
61-65	76-80	2.40	1.68	> 0.05
61-65	81-85	2.67	1.35	> 0.05
61-65	86-90	1.25	1.32	> 0.05
61-65	91-95	4.21	1.23	< 0.01
66-70	71-75	0.66	1.59	> 0.05
66-70	76-80	3.44	1.84	> 0.05
66-70	81-85	3.72	1.45	< 0.01
66-70	86-90	2.30	1.85	> 0.05
66-70	91-95	5.26	1.94	< 0.05
71-75	76-80	2.78	1.79	> 0.05
71-75	81-85	3.06	1.42	< 0.05
71-75	86-90	1.64	1.78	> 0.05
71-75	91-95	4.60	1.85	< 0.05
76-80	81-85	0.28	1.64	> 0.05
76-80	86-90	-1.14	2.07	> 0.05
76-80	91-95	1.82	2.16	> 0.05
81-85	86-90	-1.42	1.65	> 0.05
81-85	91-95	1.54	1.72	> 0.05
86-90	91-95	2.96	1.71	> 0.05

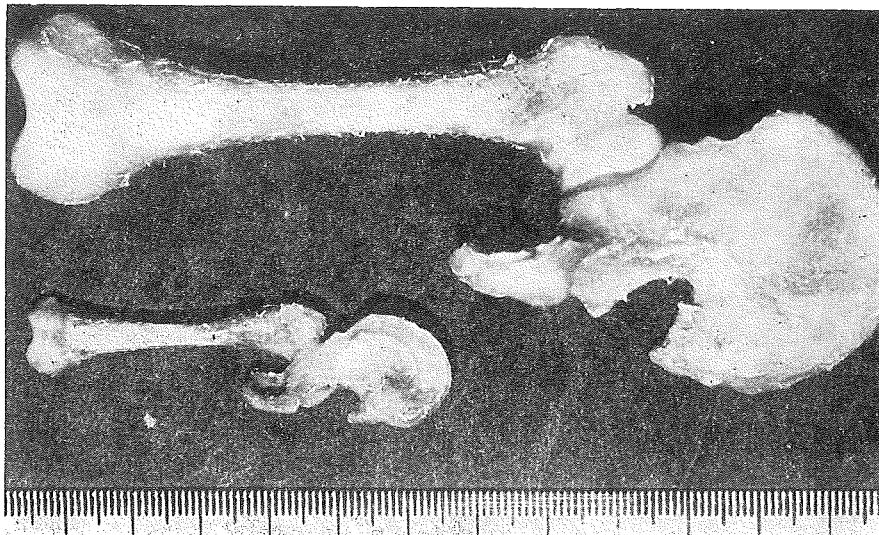


Şekil 3

Asetabuler derinlik indeksi grupları ortalamaları arasındaki farkın önem denetimi yapıldı. Gruplardaki vaka sayısı 6 ve 6'nın üstünde olanların P değerleri, Tablo III de verildi.

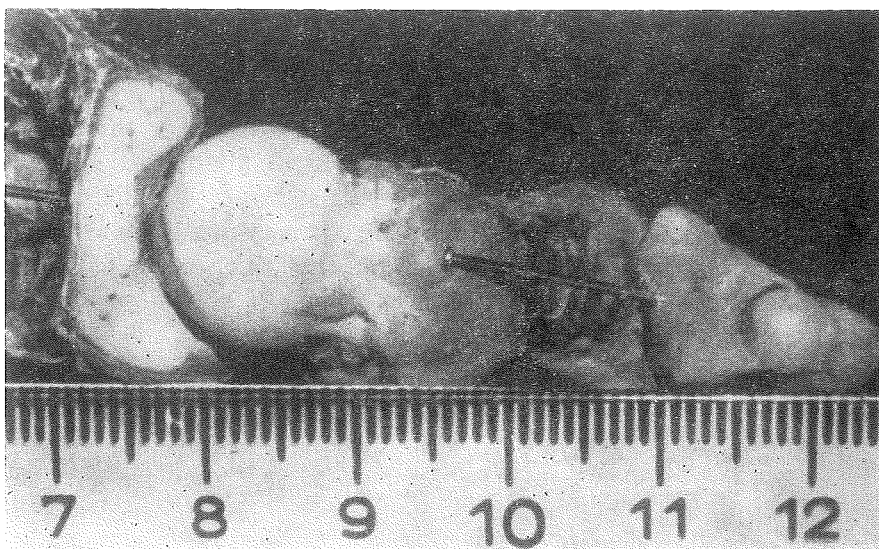
Tartışma

Asetabuler derinlik indeksi (ADİ) ortalama değerlerinin, femur boyu (fetal yaşı) küçüldükçe arttığı, femur boyu büyüldükçe ise azaldığı ilginç şekilde görülmüştür, (Tablo II, Şekil 3 ve Şekil 4, 5). Gene aynı şekilde asetabuler derinlik indeksinin her fotal yaşı, varyasyonlar arzettiği izlenmiştir, (Şekil 3). Bu konu ile ilgili yazınlarda benzer fikir ve bulgular mevcuttur.^{2, 3, 5, 7} Fakat varyasyondan bahsedene tesadüf edilmemiştir. Yalnız Laurendon (1965) diğerlerinin aksine asetabulumun derinliğinin relatif olarak değişmediğini iddia etmiştir. Asetabuler derinlik indeksi değerlerinin ortalamaları arasındaki farkının önem denetimi, bütün vakalarda olduğu gibi erkek ve dişi fetuslarda da ayrı ayrı yapıldı. Ancak her femur boy (fetal yaşı) grubunda vaka sayısı 6 ve daha fazla olanlar arasındaki önem denetimi sonuçları, bütün vakalarda olduğu gibi erkek ve dişi fetuslarda da istatistikçi yönden ilginç sonuçlar ortaya çıkardı, (Tablo III). Bu bulgular asetabuler derinliğin erken fotal yaşıda fazla olduğunu, fetus büyüldükçe ise bu derinliğin azaldığını kesin şekilde ispatlamaktadır, (Şekil 4, 5). Üzerinde az çalışma olmasına rağmen var olanlar, asetabuler derinliğin de relatif olarak değişken olduğunu ve ilginç bir eğri çizdiğini göstermektedir.⁷ Daha önceki güvenilir fikir ve bilgiler ve bizim çalışmamızla asetabuler derinliğin relatif olarak olgun fetusta en az olduğu kesin şekilde gösterilmiştir, (Tablo II ve Şekil 3). Erken fotal devrede ve büyük çocuklarda bu derinliğin fazla olduğu dikkati çekmektedir.⁷ Femoral torsionun tersi gibi seyreden bu değişikliği fotal postürle açıklıyor.



Şekil 4

Vaka 78. femur boyu 93 mm, asetabuler derinlik indeksi % 37.78 ve vaka 67 femur boyu 46 mm, asetabuler derinlik indeksi % 56.47. Küçük vakada femur başının örtümesi daha iyi olmaktadır.



Şekil 5

Vaka 47, femur boyu 101 mm, asetabuler derinlik indeksi % 36.32 ve vaka 14, femur boyu 40 mm, asetabuler derinlik indeksi % 72.00. Büyüük vakada asetabulumun sig oluşu bariz şekilde görülmektedir.

mak yetersizdir. Sebep ne olursa olsun ilginç olan, doğum anındaki asetabuler derinliğin relativ olarak en az oluşudur. Bu şekil bir eklem üzerinde çevresel faktörlerin, daha kolay etkileyici olabilecekleri bu bulgularla kuvvet kazanmaktadır.

Özet

Fötal femur boyları 25-110 mm. (fötal yaşı yaklaşık 3-10 ay) arasında olan 100 normal fetustan elde edilen 200 koksada (200 vakada) asetabuler derinliğin matematiksel ölçümü ve elde edilen verilerin istatistiksel değerlendirilmesi yapıldı. Asetabulum kürenin bir parçası gibi kabul edilerek bunun derinliği Ralis ve Mc Kibbin tekniği ile ölçüldü ve % olarak değerlendirildi. Fötal asetabuler derinliğin, fötal yaşı (femur boyu) küçüldükçe arttığı, fötal yaşı büyüldükçe ise azaldığı kesin şekilde görüldü. Ayrıca asetabuler derinliğin her fötal yaşı seviyesinde varyasyonlar arzettiği anlaşıldı. % 72.00 en büyük, % 34.52 en küçük ve % 48.85 ± 6.86 ortalama fötal asetabuler derinlik indeksi olarak saptandı. Asetabuler derinliğin olgun fetusta relativ olarak en az oluşu, çevresel faktörlerin bu safhada kalça eklemini daha kolay etkileyebileceği tezini kuvvetlendirdi.

KAYNAKLAR

1. Felts, W. J. L.: The prenatal development of the human femur. *The American Journal of Anatomy*, 94: 1, 1954.
2. Gardner, E. and Gray, D. J.: Prenatal development of the human hip Joint. *American Journa. of Anatomy*, 87: 163, 1950.
3. Haupt, E. C.: The relation of anteversion of the femur and the gross shape of the acetabulum. *Journal of Bone and Joint Surgery*, 45-A: 658, 1963.
4. Hellman, L. M., Pritchard, J. A. and Wynn, R. N.: The morphologic and Functional development of the foetus. *Williams Obstetrics*, Fourteenth edition, 1970, pp. 199.
5. Laurendon, R. O.: Development of the acetabular roof in the foetal hip. *Journal of Bone and Joint Surgery*, 47-A: 975, 1965.
6. Morville, P.: On the anatomy and pathology of the hip Joint. *Act. Orthop. Scand.* 7: 107, 1936.
7. Ralis, Z. and Mc Kibbin, B.: Changes in shape of the human hip Joint during its development and their relations to its stability. *Journal of Bone and Joint Surgery*, 55-B: 780, 1973.
8. Trolle, D.: Age of foetus determined from its measures. *Act. Obst. et Gynec. Scand.*, 27: 327, 1947.
9. Watanabe, R. S.: *Embryology of the Human Hip Clinical Orthopaedics and Related Research*, 98: 8, 1974.

Öksürük Kesici Şurupların Formülasyonu Üzerinde Çalışmalar

II. Etilmorphin Hidroklorür İçeren Şurupların Stabilitesi
ve Önformülasyonu

Dr. A. Atilla Hincal*

Yarı sentetik öksürük kesici bir ilaç olan etilmorphin, aynı etkide ve tabii bir afyon alkaloidi olan kodeinden sadece 3 No'lu karbondaki metoksi grubunun etoksi ile değiştirilmiş olması ile ayrılır. Tablet, draje ve şurup gibi ilaç şekillerinin formüllerine tek madde veya diğer etken maddelerle kombinasyonları halinde girer. Bu preparatlarda kodeinin değişik etkenlere bağlı olarak renklenme ve parçalanma ürünleri verdiği bildirilmiştir.^{1, 3, 7, 8, 12} Etilmorphinin yarı sentetik bir madde oluşu hem elde edilişinde kodeine göre bazı avantajlar sağlamaktadır hem de kodeine göre daha stabil olduğuna dair bazı bilgiler mevcuttur. Değişik maddeler yanında ve değişik farmasötik preparatlarda etilmorphinin niteli^{4-6, 9, 11, 13, 16, 17} ve nicel tayinleri^{2, 10, 14, 16, 18} üzerine bazı çalışmalar vardır. Ancak bu maddeyi içeren şurup formülasyon çalışmalarına ve preparatlarının stabilitelerini inceleyen çalışmalarla literatürde rastlanamamıştır. Bu çalışmada, Tablo I de formülleri verilen şurumlarda meydana geldiği saptanan renklenme ile⁸ etilmorphin kaybı arasında ilişki bulunup bulunmadığı ve maddenin şurumlardaki stabilitesi araştırılmış, etilmorphin hidroklorür üzerine ısı, ışık, oksidasyon ve terkipteki diğer maddelerin etkileri incelenmiş ve en uygun formülasyon için ön çalışmalar yapılmıştır.

Materiel ve Metot

Kullanılan Maddeler: Çalışmada kullanılan etilmorphin hidroklorür (Mac Farlan Smith Ltd. Edinburgh), kodein fosfat (Verenigde Phar-

* Hacettepe Üniversitesi Eczacılık Fakültesi Galenik Farması Bilim Dalı Öğretim Üyesi.

maceutics Fabrieken N. V. ,Apeldoorn) Toprak Mahsulleri Ofisinden, etilalkol T. C. Tekel idaresinden, diğer etken ve yardımcı maddeler Türk İlaç endüstrisinin değişik firmalarından temin edilmiştir (Tablo I). Terkiplerdeki bidistile su ve şrupular laboratuvarlarında taze hazırlanmıştır. Analitik çalışmalarında chloroform proanalyse (E. Merck) aluminyum oksit PF₂₅₄ (E. Merck), kieselgel GF₂₅₄ (E. Merck) kullanılmışlardır.

Kullanılan Gereçler: Chromatoplater (Carlo Erba), rotavapor "R" (Buchi), UVIS chromatolamp (Desega), santrifüj (Janetzki K-23), I. R. spektrofotometresi (Beckman DB), oda sıcaklığında ve gün ışığı alan laboratuvar "A" ($22.0 \pm 0.4^{\circ}\text{C}$)), yapay ışık dolabı "B" (1000 Watt fluoresan lamba, $22.0 \pm 0.4^{\circ}\text{C}$ sıcaklıkta ve 160X125X110 cm boyutlarında metal bir dolap), soğuk, karanlık oda "C" (termostatlı $4 \pm 0.1^{\circ}\text{C}$ sıcaklıkta, karanlık 225X350X200 cm boyutlarında bir oda).

Şrupuların Hazırlanışı: Araştırmaya konu olarak alınan ana formülleri; Formül I (FOR I) ve formül II (FOR II); Tablo I'de gösterilmiştir. Formüllerdeki etilmorfin hidroklorür ve diğer maddelerin stabilitelerini tek tek izlemek amacıyla kontrol serisi (K. S.) şrupları hazırlanmıştır (K. S. 1 - K. S. 10). Hazırlamada daha önceki bir çalışmada⁸ kodein şrupları için tanımlanan yöntem izlenmiştir.

Etilmorfinin Şruplardan Ekstraksiyon Yöntemi: 800 ml şrup % 10 sodyum karbonat (a/h) çözeltisi ile pH 9-10 arasında ayarlanmış, etilmorfin şruptan kloroform ile ekstre edilmiştir. Ekstrakt rotavapörde kuruluğa kadar uçurulmuştur. Elde edilen kuru artık nitel ve niceł tayin için kullanılmıştır.

Nitel ve Nicel Tayin Yöntemi: Şruplarda etilmorfin hidroklorür ve parçalanma ürünlerinin nitel ve niceł tayininde, aluminyum oksit PF₂₅₄ (0.25 mm), kieselgel GF₂₅₄ (0.25 mm) adsorbanları kaplı ince tabakalar ve kloroform-metanol (90:10) ile n hekzan-aseton-metanol-amonyak % 25 (60:20:10:0.5) sürükleyici sistemleri kullanılmıştır. Sürüklenen maddelerin görünebilir hale getirilmesinde Dragendorff (Munier-Macheboeuff), 2,4 -dinitrofenilhidrazin, iodoplatinik asit en iyi sonucu vermişlerdir.

Çalışılan şrupların (1. Röntgen filmine sarılmış şrup grupları, 2. Kontrol serileri, 3. FOR I ile FOR II şrupları) boş şrupa (vehikül ve yardımcı maddeleri içermektedir) karşı renk artışı, 340 nm dalga boyunda sekiz aylık bir sürede, belirli aralıklarla, şrubun geçirgenliği ölçülecek saptanmıştır.

FOR I ve FOR II şruplarında etilmorfin hidroklorür niceł tayini için ince tabakadan etilmorfinin Rf'indeki lekeye karşıgelen alan kazına-

TABLO I
ETİLMORFİN HİDROKLORÜR ŞURUPLARININ FORMÜLASYONUNDAYA CALIŞILAN ANA TERKİPLER VE KONTROL SERİLERİNİN TERKİPLERİ

Maddeler	Ana Terkipler							Kontrol Serileri			
	Formül I	Formül II	1	2	3	4	5	6	7	8	9
Etilmorphin											
Hidroklorür (Dionin)	0.100 g	0.100 g	—	—	0.10 g	—	—	—	0.100 g	0.100 g	0.100 g
Kodein Fosfat	0.200 g	0.200 g	—	—	0.20 g	—	—	—	0.200 g	0.200 g	0.200 g
Efedrin											
Hidroklorür	0.400 g	—	—	—	—	0.400 g	—	—	0.400 g	—	0.400 g
Potasium Gar-											
yakolsulfonat	—	0.550 g	—	—	—	—	0.500 g	0.500 g	—	0.550 g	—
Sodyum											
Benzoat	—	0.500 g	—	—	—	—	—	0.500 g	—	0.50 g	—
Kloroform	% 0.3	% 0.3	% 0.3	% 0.3	% 0.3	% 0.3	% 0.3	% 0.3	% 0.3	% 0.3	% 0.3
Akol	% 1.5	% 1.5	% 1.5	% 1.5	% 1.5	% 1.5	% 1.5	% 1.5	% 1.5	% 1.5	% 1.5
Metil Paraben	% 0.1	% 0.1	% 0.1	% 0.1	% 0.1	% 0.1	% 0.1	% 0.1	% 0.1	% 0.1	% 0.1
Tolu Şurubu	25 g	25 g	25 g	25 g	25 g	25 g	25 g	25 g	25 g	25 g	—
Distile Su	5 cc	5 cc	5 cc	5 cc	5 cc	5 cc	5 cc	5 cc	5 cc	5 cc	5 cc
Basit Şurup											
k. m.	50 g	50 g	50 g	50 g	50 g	50 g	50 g	50 g	50 g	50 g	—
Butil Hidroksili-											
Anisol	—	—	—	—	—	—	—	—	1/5000	1/5000	—
Sorbitol k. m.	—	—	—	—	—	—	—	—	—	50 g	50 g

TABLO II
FORMÜL I VE FORMÜL II DE DEĞİŞİK SARTILARDA ZAMANA KARŞI ETİLMORFIN HİDROKLORÜRDEKİ % (a/a)
KAYIP MIKTARI

Kontrol Günleri	Formül I						Formül II					
	A		B		C		A		B		C	
	By	Rn	By	Rn	By	Rn	By	Rn	By	Rn	By	Rn
1	2.31	2.31	2.31	2.31	2.31	2.31	2.31	2.31	2.31	2.31	2.31	2.31
15	2.31	2.31	2.31	2.31	2.31	2.31	2.31	2.31	2.31	2.31	2.31	2.31
28	2.31	2.31	5.20	2.31	3.42	2.31	2.31	2.31	2.31	2.31	2.31	2.31
45	2.31	2.31	5.20	5.20	2.31	3.42	5.20	2.31	5.20	5.20	2.31	2.31
60	2.31	5.20	5.20	5.20	2.31	2.31	5.20	2.31	5.20	5.20	2.31	2.31
75	5.20	5.20	5.20	5.20	2.31	2.31	5.20	2.31	5.20	5.20	5.20	5.20
90	5.20	5.20	5.20	5.20	2.31	2.31	5.20	2.31	5.20	5.20	5.20	5.20
104	5.20	5.20	10.98	5.20	2.31	2.31	5.20	5.20	5.20	5.20	5.20	5.20
118	5.20	5.20	10.98	5.20	2.31	2.31	5.20	5.20	5.20	5.20	5.20	5.20
131	5.20	5.20	5.20	10.98	2.31	2.31	5.20	5.20	5.20	5.20	5.20	5.20
144	10.98	5.20	10.98	10.98	2.31	2.31	5.20	5.20	10.98	5.20	5.20	5.20
157	10.98	10.98	10.98	5.20	5.20	10.98	5.20	10.98	5.20	5.20	5.20	5.20
187	10.98	10.98	10.98	5.20	5.20	10.98	10.98	10.98	10.98	5.20	5.20	5.20
202	10.98	10.98	10.98	5.20	5.20	10.98	10.98	10.98	10.98	5.20	5.20	5.20

A : Oda sıcaklığında ve gün ışığı alan laboratuvar (22 ± 0.4°C)

By : Renksiz camdan mamul şşe

B : Yapay ışık dolabı (22.0 ± 0.4°C)

Rn : Kahverenkli camdan mamul şşe

C : Soğuk, karanlık oda (4 ± 0.1°C)

rak alınmış ve daha önceki bir çalışmada takip edilen yöntem ile nice tayin yapılmıştır.⁸ Ancak burada etilmorfin hidroklorür kaybını ortaya çıkarılan parçalanma ürünleri ile ilgili bir tayne girilmemiştir.

Etilmorfinin bromtimol mavisi ile verdiği kompleksin renk şiddetinin 430 nm'de 20-225 $\mu\text{g}/\text{ml}$ konsantrasyonları arasında Lambert-Beer kanununa uydugu saptanmış ve standart eğri hazırlanmıştır.

Formüllerin stabilité kontrolleri 15 günlük aralarla kalan etilmorfin üzerinden sekiz ay süreyle ve spektrofotometrik yolla yapılmıştır. Tablo II'deki her sonuç ayrı 4 şişeden yapılan tayinin ortalamasıdır. FOR I ve FOR II sonuçları "eşlerarası farkın önem denetimi" ile analize edilmişdir.

Bulgular

FOR I ve FOR II'nin sekiz ay süre ile izlenmesini takiben elde edilen ortalama % etilmorfin hidroklorür kayipları Tablo II'de verilmiştir. By ve Rn şişeler içinde saklanan şurupların içeriği etilmorfin hidroklorür üzerine A, B, C şartlarının etkisi, etki nedenleri ve bu şartlar arasında ortaya çıkan farklılıklar saptanmıştır. FOR I'in By ve Rn şişelerdeki kayipları arasında 202. gün sonunda farklılık bulunamamıştır. Kayiplar 202 günde A'da % 10.98, B'de % 10.98, C'de % 5.20 olarak saptanmıştır. İnce tabaka ile separasyonda parçalanma ürünü saptanamadığı için, parçalanma ürünlerine ait U. V., I. R., N. M. R. yapılamamıştır. Bu sonuç, büyük bir olasılıkla, şuruplardan yapılan miktarlarda geçen parçalanma ürünlerinin ince tabakada hassasiyet sınırının altında ve maddenin az oluşuna bağlı olabilir.

Antioksidan olarak butil hidroksianisol ilave edilen FOR I A-By, A-Rn ile B-By, B-Rn içinde saklanan şuruplarda etilmorfin hidroklorürde bir kayıp olmadığı bulunmuştur.

Sorbitol'ün (K. S. 9 ve K. S. 10) tolu şurubu ve basit şurup yerine ilave edildiği A-By, A-Rn ve B-By, B-Rn'de saklanan FOR I'in terkibindeki etilmorfin hidroklorürde saptanan kaybın düşük olduğu görülmüşdür. Ancak FOR I'in 202. gün sonunda başlangıçtaki renginden büyük bir farklılık saptanamaz iken, K. S. 10'da bariz bir renklenme tesbit edilmiştir.

Tablo II, FOR II'nin A, B, C, şartlarında saklanması sonucu ortaya çıkan % etilmorfin hidroklorür kayiplarını vermektedir. 205. gün yapılan tayinde A, B'de By ve Rn şişelerde kaybın % 10.98, C'de By ve Rn şişelerde ise % 5.20 olduğu saptanmıştır. FOR II'nin A, B şartlarında saklanmasında By şişelerde 28. günden itibaren bir renklenme görülmüş-

tür. FOR I'de aynı şartlarda ve aynı sürede bir renklenme ortaya çıkmamıştır. A ve B'de saklanan By ve Rn, K. S. 5 ve K. S. 6'da, hazırlanıktan 22 gün sonra renklenme olduğu ama By ile Rn'de aynı şiddette bir renklenmenin olmadığı, By'de daha koyu bir renklenmenin oluştuğu görülmüştür. Bu sürede kontrol serisinin diğer şuruplarından K. S. 8'de ise bir renklenmenin daha yavaş olduğu saptanmıştır. FOR II'deki tolu şurubu ve basit şurup yerine sorbitol konmuş olan K. S. 10'da ise bir renklenme olduğu tescit edilmiştir. Ancak renk şiddeti FOR II'deki kadar fazla değildir. Böylece FOR II'nın A ve B şartlarında saklanmasında By şişelerde 28 gün sonunda görülen renklenmenin potasyum gayakolsülfonattan ileri geldiği saptanmış bulunmaktadır.

Tartışma ve Sonuç

İşinin şurupların içerikleri üzerine etkisi 7. ay sonunda, siyah röntgen filmi kağıdı ile sarilarak ışıktan korunmuş ve A, B, C şartlarında bekletilmiş şuruplardan bir grubun, kontrol olarak saklanan şişelerle karşılaşılması ile araştırılmıştır. Bu şurupların geçirgenliği tayin edildiğinde; bundan önceki bir çalışmamızda⁸ belirtildiği gibi, kodein kaybında işinin renklenme üzerine etkisi olduğu saptanmıştır. Ancak FOR I ve FOR II şuruplarında meydana gelen renklenme ile bu şuruplarda mevcut diğer bir etken madde olan etilmorfin hidroklorür arasında bir ilişkinin bulunup bulunmadığının araştırılması gerekmıştır. Nitekim A, B, C'de K. S. 3 ile yapılan çalışmada bir renklenme ve parçalanma ürününe rastlanamaz iken A, B, C'de K. S. 2, K. S. 5 ve K. S. 6'de değişik şiddetlerde renklenme ortaya çıkış, renklenmenin kodein fosfat ve potasyum gayakolsülfonat'tan ileri geldiğini ve işinin burada önemli bir etken olduğunu göstermiştir. A ve B'de saklanan K. S. 5 ve K. S. 6'da renklenme 28. gün sonunda gözle görülebilir hale gelirken, aynı şartlarda K. S. 2'deki sararmanın çok daha yavaş arttığı daha önceki çalışmada gösterilmiştir.⁸

Öte yandan Tablo II'de görüldüğü gibi, FOR I ve FOR II'de bulunan etilmorfin hidroklorür de zamana karşı bir kayba uğramaktadır. Bu kayıp 144. gün dolaylarında A-By'de % 10 civarındadır. Aynı miktar kayıp A-Rn'de 157. gün dolaylarında ortaya çıkmaktadır. B-By'de 104. gün % 10 kayba erişilirken B-Rn'de 131. gün ancak % 10'a varılabildiği saptanmıştır. Bunun da anlamlı bir farklılık olduğu görülmüştür. C-By'de 157. gün kayıp % 5 iken C-Rn'de de 157. gün kaybın % 5 olduğu görülmektedir. FOR I ve FOR II'de C-By ve C-Rn'lerin kendi arasındaki fark önemli bulunmamıştır. Ama bu sonuç ortaya anlamlı bir durum çıkarmaktadır. A ve B'de saklanan şuruplar $22 \pm 0.4^{\circ}\text{C}$ 'lik bir ısuya maruz kalmakta, C'de saklanan şuruplar ise $4 \pm 0.1^{\circ}\text{C}$ 'de tu-

tulmaktadır. Saklama sıcaklıklarının farklılıklarına ait bulgular etilmorfin kaybında isının etkisi olduğunu göstermektedir.

Işığın şuruplara etkisinin araştırılması sırasında ise, A ve B'de saklanan şuruplarda şife camının renkliliğinin ışığa karşı koruyucu bir etki sağlayarak kaybı bir süre geciktirmekte olduğu saptanmıştır. Bunu A-By ile A-Rn ve B-By ile B-Rn arasındaki kayıp farkları doğrulamaktadır. FOR I ve FOR II'nin C-By ile C-Rn'leri arasında ise bir farklılık saptanamamıştır. Buna rağmen % 5.20'lük kaybin A ve B şartlarında By ve Rn şişelerde 157. gün dolaylarında başlamış olması anlamlidir. Zira bu bulgular açıkça ışınların ve isının etilmorfin hidroklorürün kaybında etkili olduğunu göstermektedir. Ancak etilmorfinde az da olsa bir kayıp tesbit edilirken A, B, C şartlarında saklanan K. S. 3'de, kodein içeren K. S. 2'de olduğu gibi bariz bir renklenme saptanamamıştır. FOR I ve FOR II'nin C-By ve C-Rn'lerinde renklenme saptanamamasına karşın yavaş da olsa 157. günden itibaren % 5.20'lük bir kaybin oluşu iki hususu doğrulamaktadır: ısı ve ışık. Bu iki faktörün soğuk ve karanlık odada kontrol altına alınması ile etilmorfin hidroklorürde kaybin azalduğu görülmüş olmaktadır.

Öte yandan C-By ve C-Rn'de saklanan FOR I ve FOR II'de % 5.20 oranında bir kaybin oluşu, ayrıca, iki olasılığı daha kuvvetlendirmektedir: camların alkaliliği ve oksidasyon. Araştırmanın başlangıcında camların kabul edilebilir alkalilik sınırları içinde olduğu saptanmıştır. Nitekim çalışma boyunca şurupların pH'sında bir değişme gözlenmemiştir. Tabiidir ki kullanılan camların kabul edilebilir alkalilik sınırları içinde olması stabilitiese olumsuz etkisi olmayacağı anlamına alınmamalıdır. Cam alkaliliğinin reaksiyonu katalize eden bir faktör olduğunun dikkate alınması gereklidir. Burada özellikle ikinci etken olan oksidasyon üzerinde durmakta yarar vardır. Şurupların hazırlanmasında kullanılan suyun taşıdığı serbest oksijen veya oksidasyon yapabilecek eser metaller etken madde kaybına sebep olabilirler. Bütil hidroksianisol'un 1/5000 oranında ilavesi ile hazırlanan kontrol serilerinde 202. gün sonunda % 2.31 oranında bir kayıp, yapılan şuruplarda gerek FOR I, gerekse FOR II de A, B, C şartlarında etilmorfin hidroklorürün kaybında bir oksidasyon olayının etkili olduğunu ve bunun ortama bir antioksidan ilavesi ile azaltılabileceğini, hatta tamamen önlenebileceğini göstermiştir.

Bu çalışmada, Pfeifer'in¹⁵ organik çözücüler içinde etilmorfini gün ışığına bırakarak yaptığı bir çalışmada gösterdiği parçalanma ürünlerinden hiçbirisini, şuruplardan elde edilen ekstraktta ince tabaka kromatografisi ile saptama olanağı olmamıştır. Bunu şuruplarımıza meydana gelen parçalanma ürünlerinin miktarının, total kayıp içinde, az olusuna

TABLO III
202 GÜN SONUNDA ETİLMORFIN HİDROKLORÜR VE KODEİN FOSFATIN FORMÜL I VE FORMÜL II DEKİ
% KAYIP MIKTARLARININ KARŞILAŞTIRILMASI

İlaç	Formül I						Formül II					
	A		B		C		A		B		C	
	By	Rn	By	Rn	By	Rn	By	Rn	By	Rn	By	Rn
Etilmorphin hidroklorür	10.98	10.98	10.98	10.98	5.20	5.20	10.98	10.98	10.98	10.98	5.20	5.20
Kodein fosfat	17.15	17.15	25.09	17.15	3.09	3.09	17.15	11.10	17.15	11.10	3.09	3.09

A : Oda sıcaklığında ve gün ışığı alan laboratuvar ($22.0 \pm 0.4^{\circ}\text{C}$)

B : Yapay ışık dolabı ($22 \pm 0.4^{\circ}\text{C}$)

C : Soğuk karanlık oda ($4 \pm 0.1^{\circ}\text{C}$)

By : Renksiz camdan mamul şşe
Rn : Kahverenkli camdan mamul şşe

bağlamak mümkündür. Bu araştırıcının bildirdiği parçalama ürünlerinin şuruplarımızda A ve B şartlarında oluşması mümkündür. Ancak 7 ay içinde etilmorfin miktarı t_{90} 'nın altına düşmemektedir. Pfeifer'in¹⁵ çalışması, şuruplarımızdaki total kaybın değişik parçalanma ürünlerinden meydana geldiği ve parçalanma ürünlerinin miktarının azlığı nedeniyle nitel tayin zorluğunun ortaya çıktığı, düşüncesini desteklemektedir. Ayrıca etilmorfin hidroklorür çalışılan süre sonunda kodein kadar yüksek miktarda parçalanma ürünü vermemektedir. Bu nedenle parçalanma ürünlerini ince tabakadan U. V., I. R., N. M. R. tayinleri yapılabilecek kadar yüksek konsantrasyonda elde edilemediğinden bildirilen yöntemlerle nicel ve nitel tayin olanağı bulunamamış, sadece total % etilmorfin kaybının saptanması ile yetinilmiştir.

Sonuç olarak etilmorfin hidroklorür ve kodein fosfat karşılaştırıldığında, farmakolojik yönden birbirlerine bir üstünlükleri olmadığı bilindiğine göre, etilmorfin hidroklorürün stabilite yönünden şurup tipi ilaç şekillerinde tercih edilmesi gerektiği anlaşılmaktadır. Aynı önlemler alındığında etilmorfin zamanla kodein kadar bariz bir renklenme göstermemekte, parçalanma ürünü oranı kodeinden daha az olmakta ve daha uzun süre daha az kayıpla saklanabileceği anlaşılmış bulunmaktadır (Tablo III).

Özet

Bu çalışmada etilmorfin hidroklorür içeren şuruplarda (FOR I, ve FOR II) yardımcı maddelerin ve çevre şartlarının etilmorfin stabilitesine ve formülasyona etkisi incelenmiştir. Beyaz (By) ve renkli (Rn) şiselere konmuş şuruplara ve şurupların içeriği maddelerin stabilitelere gün ışığı (A), yapay ışık (B) ve soğuk kararlık odanın (C) etkileri araştırılmıştır. Ana formüllerin nitel ve nicel tayinleri yapılmış ve sonuçları kontrol grupları (K. S. 1-K.S. 10) ile de karşılaştırılmıştır.

Yedi aylık bir süre sonunda şuruplarda bir renklenme ve etilmorfinde ise bir kayıp meydana geldiği görülmüştür. Ancak renklenme ile etilmorfin arasında bir ilişki saptanamamıştır. A ve B şartlarında saklama ile yedi ay sonunda FOR I ve FOR II'de yaklaşık % 10, C şartlarında saklamada ise yaklaşık % 5 etilmorfin hidroklorür kaybı saptanmıştır. Buradan ısı ve ışığın etilmorfin şuruplarının stabilitesinde ve kaybında en önemli etkenler olduğu belirlenmiştir. Ayrıca cam alkalılığının ve vehiküllerin etilmorfin hidroklorür şuruplarının formülasyonunda menfi birer etken olduğu da görülmüştür. Bir antioksidan olan bütül hidroksianisol'ün ilavesi ile hazırlanan şuruplarda etilmorfin kaybının düşük olduğu da tesbit edilmiştir. Bu çalışma ile ayrıca etilmorfin hidroklorürü FOR I ve FOR II içinde kodeinden daha stabil olduğu saptanmıştır.

KAYNAKLAR

1. Anderson, T.: III. On the constitution of Codein and its Products of Decomposition. *Trans. Roy. Soc. Edinburgh*, **20**: 57, 1850.
2. Bonnard, J.: L'utilisation du tétraphenylborure sodique dans le dosage des alcaloïdes et des bases synthétiques. II *Farmaco Ed. Prat.*, **22**: 305, 1967.
3. Dietzel, R., Söllner, K.: Ueber die zersetzungskinetik von alkaloiden in wasseriger losung, insbesondere bei der sterilisation 4. Mitteilung: Brucin und Codein. *Apoth. Ztg.*, **45**: 1030, 1930.
4. Dryon, L.: Chromatographie en couche mince de quelques analgesiques céntraux. *J. Pharm. Belg.*, **46**: 19, 1964.
5. El Gendi, S., Kissner, W., Machata, G.: Isolierung und Nachweis basischer Arzneimittel in der Toxicologie. *Mikrochim. Acta*, **1**: 120, 1965.
6. Enache, S., Constantinescu, T., Ignat, T.: Contributii privind separarea și identificarea prin cromatografie pe strat subtil a unor alcaloizi din opium, frecvent folositi in terapeutica. *Farmacia (Rom.)*, **15**: 723, 1967.
7. Findlay, S. P., Small, L. F.: The preparation and properties of codeinone. *J. Am. Chem. Soc.*, **72**: 3247, 1950.
8. Hincal, A. A.: Öksürük kesici şurupların formülasyonu üzerinde çalışmalar. I. Kodein fosfat içeren şurupların stabilitesi ve preformülasyonu. *Doğa*, **2**: 193, 1978.
9. Hsiu, H., Huang, J., Shih, T., Yang, K., Wang, K. T., Lin, A. L.: Polyamide Layer Chromatography of alkaloids. *J. Chin. Chem. Soc.*, **14**: 161, 1967.
10. Istvan, B.: Adatok Alkaloidak es alkaloida-tipusu vegyületek megha tarozasahoz. *Acta Pharm. Hung.*, **29**: 53, 1959.
11. Lang, E.: Photometrische Bestimmung des Kodeins und Athylmorphins einzeln und nebeneinander in Arzneispezialitäten. *Pharmazie*, **25**: 493, 1970.
12. Matthiessen, A., Wright, C. R. A.: Researches into the Constitution of the Opium Bases. Part III. On the action of Hydrochloricacid on codeia. *Proc. Roy. Soc.*, **18**: 83, 1969.
13. Noirfalise, A.: Mise en évidence et différenciation de quelques stimulants et dépresseurs du système nerveux central par chromatographie sur couche mince. *J. Chromatog.*, **20**: 61, 1965.
14. Nonclercq, M., Nys, C.: Determination de la codein et de l'éthyl morphine dans quelques sirops. *J. Pharm. Belg.*, **19**: 421, 1964.
15. Pfeifer, S., Behnsen, G., Kühn, L.: Stabilität von Alkaloiden in organischen Lösungsmitteln. Teil 2: Zersetzungspprodukte von Kodein, Athylmorphin und Thebain. *Pharmazie*, **27**: 648, 1972.
16. Stainier, C.: L'analyse de mélanges complexes contenant des alcaloïdes II. II *Farmaco Ed. Prat.*, **20**: 473, 1965.
17. Steele, J. A.: Solvent systems for the identification of opiates in narcotic seizures by thin-layer chromatography. *J. Chromatog.*, **19**: 300, 1965.
18. Wullen, H., Thielemans, H.: Analyse de préparations pharmaceutiques contenant simultanément de la codéine et de l'éthylmorphine dosage des deux alcaloïdes après séparation chromatographique. *J. Parm. Belg.*, **23**: 307, 1968.

Erişkin Radius Başı Kırıkları

Dr. Nasır Özdemir* / Dr. Ümit Akkoyunlu* / Dr. Yaser Muşdal*
Dr. Şakir Memikoğlu* / Dr. Faruk Balkar.**

Radius başı kırığı erişkinlerde sıkılıkla görülen bir kırıktır, iyi tedavi edilmediginde dirsek ekleminde çok önemli ölçüde fonksiyon kaybına yol açmaktadır. Radius başı kırığı kapitellum kırığı veya dirsek çıkışlığı ile birlikte de olabilir. Bu kırıklar çoğunlukla el üzerine düşme ile radius başının kapitelluma dayanması sonucu meydana gelir. Direkt darbe ile de nadiren meydana gelebilir.¹⁻⁸

Klinik muayenede, radius başı palpasyonla oldukça hassastır. Dirsek ekleminde sisilik göze çarpar. Ön kolun supinasyon ve pronasyon hareketleride ağrılıdır.^{1, 4, 9}

Radyolojik muayene ile dirsek eklemiñin ön-arka ve yan grafileri, şüpheli kırıklarda da oblik grafisi ile teşhis kesinleşir. Radius başının parçalanması radyogramda görüldenden genellikle daha fazladır. Müsbet “yağ pedi” belirtisinin bulunması intraartiküler kırığı düşündürür.^{1, 2, 10}

Araştırmacıların bir kısmı 1954 te Manson tarafından yayınlanan aşağıdaki sınıflandırmayı kullanmaktadır.^{1, 4, 7}

Tip I : Ayrılmamış kırıklar

Tip II : Ayrılma ile birlikte marginal kırıklar

Tip III : Başın bütünüñ içine alan parçalı kırıklar

Tip IV : Dirsek eklemi çıkışlığı ile birlikte kırıklar.

Keon-Cohen ise radius başı kırıklarını söyle sınıflandırmaktadır.⁶

1. Ayrılmamış marginal kırıklar

2. Ayrılmış marginal kırıklar

3. Parçalı kırıklar.

Tedavi

Radius başının ayrılmamış kırıklarında araştırmacıların büyük çoğunluğu konservatif tedaviyi değişen şekilleriyle benimsemektedirler.

* Hacettepe Üniversitesi Tıp Fakültesi Ortopedi ve Travmatoloji Bilim Dalı Öğretim Üyesi.

** Aynı Fakülte Ortopedi ve Travmatoloji Bilim Dalı Uzmanı.

Immobilizasyon süresi 24 saat-3 hafta arasında değişmektedir. Dirsekte hematom olunca eklem aspirasyonu tavsiye edilmektedir.^{1, 3-7, 11, 12}

1. Radius başının parçalı kırıkları
2. Eklem yüzünün 1/3 ünden fazlasını içeren marginal kırıklar
3. Dirsek eklemi içinde serbest fragman olan kırıklar
4. Ön kolun rotasyonuna engel olacak kadar açılışma gösteren kırıklar.

Mc Laughlin erken ekziyon endikasyonunu şu şekilde ileri sürmektedir.

1. 30 dereceden fazla açılışma gösteren kırıklar,
2. 3 mm. den fazla çökme gösteren kırıklar,
3. Başın 1/3 ünden fazlasını ilgilendiren kırıklar.

Çoğu araştırmacılar belirgin ayrılma gösteren ve parçalı radius başı kırıklarında radius başının erken ekzisyonunu önerirler.^{1, 2, 5, 6, 7, 9, 11} Erken radius başı eksizyonundan sonra, distal radio-ulnar eklemde sublukasyon ve hatta dislokasyon olabileceği birçok araştırmacı tarafından belirtilmektedir.^{1, 6, 7, 10, 13, 14, 15}

Materyel ve Metot

Araştırmamızda Hacettepe Üniversitesi Hastaneleri Ortopedi ve Travmatoloji Bilim Dalında 1968-1977 yılları arasında tedavi edilen 58 dirsek eklemi kırığı vakasından 24 (% 41.4) Radius başı kırığı, tedavisi ve sonuçları ile birlikte incelenmiştir. Elde edilen bulgular Riseborough ve Radin tarafından geliştirilen aşağıdaki kriterlere göre değerlendirilmiştir.

İyi: Herhangi bir yönde 10 dereceden az hareket kaybı, hastanın şikayetisi yok.

Orta: 30 dereceye kadar hareket kısıtlılığı + minör şikayetler.

Kötü: 30 dereceden fazla hareket kaybı + major şikayetler.

Radius başı kırığı olan vakalarımızın 17 sinde konservatif, 4 vakada ise cerrahi tedavi uygulanmıştır. Vakaların 3 ü hiçbir tedavi görmemiştir.

Konservatif tedavide ortalama 3 haftalık immobilizasyon uygulanmıştır. Cerrahi tedavi uygulanan vakalarda radius başı çıkarılmıştır.

Bulgular

Hastaların yaşıları 20-77 arasında ortalama yaşı ise 32.7 dir. Vakaların 6 si kadın 18 i erkekti. Vakaların büyük çoğunluğu Tablo I de görüldüğü gibi el üzerine düşme sonucu olmuştur (% 70.9).

TABLO I

Kırılan Etyolojisi	Ayrılmamış Kirik	Ayrılmış Kirik	Parçalı Kirik	Dirsekte diğer Kirıklarla Birlikte
Açık el üzerinde düşme	5 (% 20.9)	6 (% 25)	2 (% 8.3)	4 (% 16.7)
Dirsek üzerinde düşme	2 (% 8.3)	2 (% 8.3)	—	—
Trafik kazası	2 (% 8.3)	—	—	1 (% 4.2)
Toplam	9 (% 37.5)	8 (% 33.3)	2 (% 8.3)	5 (% 20.9)

Tablo II de kırık tipleri gösterilmiştir.

Tablo III de tedavi metodu ve sonuçlar literatürle karşılaştırılarak gösterilmektedir.

TABLO II

Kırık Tipi	Vaka sayısı	%
Ayrılmamış kırık	9	37.5
Ayrılmış marginal kırık	8	33.3
Parçalı kırık	2	8.3
Dirsek çığığı ile birlikte kırıklar	4	16.7
Dirsek çevresinde diğer kırıklarla birlikte	1	4.2

TABLO III

Tedavi Metodu	İyi	Sonuçlar Orta	Kötü	Toplam
Konservatif	11 (22)	5 (15)	1 (6)	17 (43)
Cerrahi	1 (7)	1 (25)	2 (6)	4 (38)
Hiç tedavi görmeyen	—	2	1	3
Toplam	12 (29)	8 (40)	4 (12)	24 (81)

Parantez içindekiler Radin ve Riseborough'un makalesindeki bulgularıdır.⁷

Vakalarımız arasında açık kırık, kırık ile birlikte yumuşak doku yaralanmaları yoktu.

Konservatif tedavi uygulanan 17 vakadan 2 sinde myositis ossifikans bulguları izlendi. Cerrahi tedavi uygulanan 7 vakanın hiçbirinde bu komplikasyon olmamıştır.

Tartışma

Araştırmamızda 1968-1977 yılları arasında kliniğimizde tedavi ve sonuçları ile birlikte değerlendirilen 58 dirsek eklemi kırıklı vakanın 24'ünde (% 41.4) Radiusbaşı kırığı vardı, Tablo I de görüldüğü gibi etyolojik etkenlerin sırası literatüre uygunluk göstermektedir.^{1, 2, 4-8}

Trafik kazalarının etyolojideki rolü belirtilmemişinden, ülkemiz için büyük bir sorun olan trafik kazalarının önemini belirtmemiz çalışmamızın ilginç yönüdür.

Radius başının ayrılmamış kırıklarında, çoğu araştırmacılar, konservatif tedaviyi tavsiye ederler.^{1, 3-7, 11, 12}

Literatürde immobilizasyon süresi hakkında söz birliği yoktur. İlk 24 saat -3 haftaya kadar değişen tesbit süresi değişik yazarlarca önerilmiştir.^{1, 3, 7, 12} Konservatif tedavi uygulanan vakaların tesbit süresi ortalama 3 haftadır. Bu şekilde tedavi edilen hastalarda literatüre uygun olarak sonuçlar elde edilmiştir, 2 vakamızda myositis ossificans'ın görülmesi, birinde dirsek çıkışına diğerinde ise başka bir hastanede hastanın zorlayıcı muayene edilmesine bağlıdır kanaatindeyiz.

Radius başının parçalı kırıklarında, araştırmacıların büyük çoğunluğu radius başının ekzisyonunu önerirler.^{1, 2, 3, 5, 6, 7, 9, 11, 12} 4 vakamızda radius başı eksizyonu uygulanmıştır. 2 vakadan "iyi" kırıktan ancak 1 ay sonra ameliyat edilen diğer iki vakadan "kötü" sonuç elde edilmişdir.

Literatürde hiç tedavi görmeyen vakaya rastlamadık. Böyle vakalara araştırmamızda rastlamamız düşündürücü olmakla birlikte bu sayının çok daha fazla olabileceği de bir gerçektir. Tedavi görmeyen vakaların sonuçlarının iyi olmayışı da tabiidir.

Hiç tedavi görmemiş vakaların dışında tedavi ettiğimiz diğer vakaların sonuçları Tablo III de görüldüğü gibi literatüre göre daha iyidir. Ancak tedavi edilen vakalarımızın konservatif tedaviyi gerektirecek ölçüde komplike olması bu sonucu etkilemiştir. Bir başka deyimle, elde ettiğimiz bu sonucun tedavi şeklärinden çok, kırık tipi ile ilgili olduğunu söyleyebiliriz.

Özet

58 erişkin dirsek kırığı içinde görülen 24 radius başı kırığı incelendi. Bunlardan 17 si konservatif, 7 si cerrahi tedaviye (eksizyon) alınmıştır. Bulgular Riseborough-Radin kriterlerine göre değerlendirildiğinde sonuçların tatminkar olduğu söylenebilir.

KAYNAKLAR

1. Rock Wood, C. A. and Green, D. P.: Fractures v.i., 1 Philadelphia, J. B. lippincott company, 1975.
2. Watson-Jones, R.: Kırıklar ve mafsal yaralanmaları (çeviri) Cilt 1. AÜTF. yayınlarından, Sayı: 182, 1968.
3. De. Palma, A. F. Kırık ve çıkışların tedavisi (çeviri) Cilt 1. AÜTF yayınlarından Sayı: 277, 1973.
4. Ege, R.: Hareket sistemi travmatolojisi, AÜTF yayınlarından, Sayı: 250, 1971.
5. Farr, R. S.: Fractures of the elbow New York J. Med. 40: 1288, 1949.
6. Keon-Cohen, B. T.: Fractures at the elbow. J. Bone Joint Surg., 48A: 1623, 1966.

7. Radin, E. L., and Riseborough, E. J.: Fractures of the radial head. *J. Bone Joint Surg.*, **48A**: 1055, 1966.
8. Schiltz, R. J.: The language of fractures. Baltimore, Williams and Wilkins, 1972.
9. Cohn, I.: Fractures of the elbow. *Amer. J. Surg.*, **55**: 210, 1942.
10. Pike, W.: Fracture of the head of the radius. *J. Bone Joint Surg.* **51B**: 198, 1969.
11. Crenshaw, A. H.: Campbells operative orthopaedics. ed. 5. st. Louis. C. V. Mosby, 1971.
12. Grimes, H. A.: Adult elbow injuries. *J. Arkansas Medical Soc.*, **73**: 388, 1977.
13. Nonnenmacher, J., Naett, R., Vogt, J. C. and Kempf, I.: Functional consequences of the resection of head of the radius. *Excerpta Medica, Orthop. Surg.*, Sce. 33, Abst. No. 2599. Vol. **22.7**: 421, 1977.
14. Taylor, T. K. F., and O'connor, B. T.: The effet upon the inferior radio-ulnar joint of the excision of the head of the radius in adult. *J. Bone Joint Surg.*, **46B**: 83, 1954.
15. Taylor, T. K. F., and O'connor, B. T.: The conservatif approach to radial head fractures. *J. Bone Joint Surg.*, **44B**: 743, 1962.

Üremik Vakalarda Miyokard Fonksiyonlarının Ekokardiyografik Değerlendirilmesi

**Dr. Aysel Oram* / Dr. Erdem Oram* /
Dr. Aydin Karamehmetoglu* / Dr. Neşet Aytan* /
Dr. Çetin Turgan****

Kronik üremide kalp yetmezliği sık görülür.^{15, 24, 30} Bu kalp yetmezliğinin etyopatolojisinde, kronik üremi sendromunu oluşturan çok değişik faktörler etkin biçimde rol oynayabilir.^{3, 10, 12, 14, 15} Üremiye özgü bir miyokardiyopatinin varlığını kabul edenler ve miyokard fonksiyon bozulmasını buna bağlayanlar da vardır.^{16, 24, 26}

Üremik kalp yetmezliğinde esas nedenin açıklığa kavuşması için her şeyden önce insanlarda miyokard fonksiyonlarının in vivo araştırılması ve değerlendirilmesi gereklidir. Kronik üremide sol ventrikül fonksiyonlarını derinlemesine araştıran çalışma yok denecek kadar azdır. Hastalığın ilerlemiş dönemdeki ağır klinik tablo miyokard kasılma gücünün kalp kateterizasyonu ile araştırılmasına olanak vermemektedir. Bu nedenle sistolik zaman aralıkları ve eko gibi noninvaziv yöntemler seçilmektedir. Fakat bu yöntemlerin uygulandığı vaka sayısı da çok değildir.^{1, 18, 21, 29} Bu nedenle kronik üremili 19 hastada ekokardiyografik yöntemle saptadığımız sol ventrikül fonksiyon değerlendirilmesini yayınlamayı uygun gördük.

Materyel

A. Klinik Materyel: Çalışmamız Hacettepe Üniversitesi Tıp Fakültesi Hastaneleri, İş Hastalıkları Bölümünde yatkınca olan 19 üremik hastada uygundu.

* Hacettepe Üniversitesi Tıp Fakültesi Kardiyoloji Kliniği Öğretim Üyesi.

** Aynı Fakülte Nefroloji Kliniği Öğretim Görevlisi.

Hastalarımızın yaş dağılımı 16-50 (ortalama 31.15) idi. 4 ü kadın, 15 i erkekti. Kronik böbrek yetmezliğinin etyolojik nedeni 6 hastada böbrek biyopsisi ile belirlendi. Diğer klinik tanımları Tablo I de görülmektedir.

Vakalar konjesyon ve hipertansiyon bulgularının saptanmasına göre alt gruptara ayrıldı.

- a) Konjesyonlu üremik grup (10 hasta) Nefes darlığı, venöz dolgunluk, gallo ritmi, akciğer kaidesinde yaş raller, teledede perihiler konjesyon belirtilerinden en az 4 ünün saptandığı hastalar.
- b) Konjesyonsuz üremik grup (9 hasta)
- c) Hipertansiyonlu üremik grup (7 hasta). Kan basıncının klinik izlemede 150/100 mmHg. üzerinde bulunduğu vakalar.
- d) Hipertansiyonsuz üremik grup (12 hasta).

Normal kontrol grubu olarak klinik ve laboratuvar incelemesi normal bulunan toplam 12 hastane personeli ve tip talebesi alındı.

B. Araç ve Gereçler: Eko incelemesi Smith-Kleine Ekoline 20 Diagnostic Ultrasonocope aygıtı ve 10 cm foküslü 2.25 MHz lik 0.5 inçlik transduser kullanılarak yapıldı. Kayıtlar 12 kanallı Electronics for Medicine firmasının ossiloskopik ve fotoğrafik yazdırıcı ile saptandı.

Yöntem

12 hasta hastaneye yatar yatmaz, 6 hasta acil serviste akut konjesyon yönünden ilk tedavileri yapıldıktan sonra incelemeye alındılar. Vakalarda çalışmanın yapıldığı gün kan sayımı, hematokrit, kan biyokimyası (kan kreatin, üre, sodyum, potasyum, klor, CO₂, kalsiyum) idrar tahlili yapıldı. Teleradyografi ve elektrokardiyografi çekildi. Teleden kardiotorasik oran hesaplandı. EKG de kalp hızı, kalp ritmi, PR, QRS, QT aralıkları ve T, ST değişimleri değerlendirildi.

Hastaların klinik, laboratuvar, EKG ve kardiyo-torasik oran değerleri Tablo I'de toplu halde gösterilmiştir.

Ekokardiyografik inceleme: Hastalar sırt üstü yatar durumda iken, yatağın baş tarafı 30° de yükseltilerek yapıldı. Eko transduseri sternumun soluna 3. veya 4. kosta aralığına yerleştirilip önce ön mitral yaprağı saptandı. Daha sonra transduser dışa ve aşağıya doğru yöneltilerek sol ventrikül arka duvar, ventriküler arası septumun en iyi gözlendiği mitral ön ve arka yaprakçıklarının uç kısmının ve kordaların saptandığı bölgeden kayıt yapıldı.

TABLO I

ÜREMİK HASTA GRUBU

Adı Soyadı	Yası Cinsii	Protokol No.	Tanı	Hikayede Semptonlar ve Fizik Muayene Bulgular										Laboratuvar Bulguları						
				Nabız atm/dk.	Hip. Kozi.	Kozi.	Perikardit	Ortopnee (mm Hg.)	Garpıntı Dalgıç	Venöz K.B.	Gallo Bazal rəsi	Frotman Bazal rəsi	Bun. H.b.	K. %	C ₂ %	C ₂ %	CO ₂ %			
1 A.S.	50 E	747621	Kronik Böbrek Hastalığı	-	-	-	75	140/90	-	-	-	-	9.20	77	6.3	147	3.8	95	7.8 11	
2 S.M.	34 E	738233	"	+	+	+	71	180/100	+	+	+	-	7.95	95	17	128	3.8	90	7.5 15	
3 T.T.	34 E	739772	"	+	+	+	75	130/90	+	+	+	+	7.20	110	22	139	6.9	107	9.2 14	
4 H.S.	23 E	712405	Polistik Böbrek	-	+	+	55	130/90	+	-	+	-	-	6.20	89	10.5	145	3.8	98	9.4 16
5 H.A.	28 E	745682	Kronik Piyelonefrit	-	+	+	91	175/10	+	+	+	+	-	5.5	102	19.5	141	5.0	108	8 11
6 N.K.	24 E	734524	Kronik Glomerulo Nefrit	-	-	103	90/70	-	-	-	-	-	-	6.40	75	13.5	135	5.1	106	8.4 15
7 S.D.	47 K	745807	"	-	-	93	120/80	-	-	-	-	-	-	6.05	220	30	128	4.4	90	7 19
8 I.C.	30 E	13240/76	"	-	+	97	150/95	+	+	+	-	-	-	5.04	110	6.8	134	3.8	107	9.2 16
9 V.Y.	23 E	15178/76	"	-	+	72	100/80	-	+	+	-	-	-	5.90	174	4.8	136	5.0	106	9.2 15
10 Y.G.	32 E	753180	"	-	-	76	120/80	-	-	-	-	-	-	5.45	123	21	138	6.2	100	8.9 16
11 B.A.	32 E	745682	F.M.F. Amiloidoz	-	-	87	120/80	-	-	-	-	-	-	6.80	90	7.9	141	5.5	103	7.5 12

Kısaltmalar:

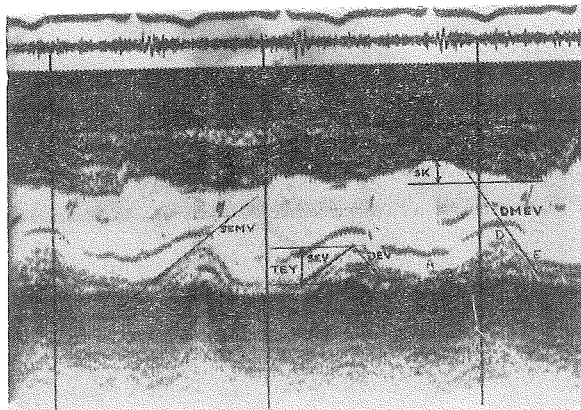
Konj : Konjesyon
 Hip : Hipertansiyon
 K.B. : Kan basıncı

(TABLO I'in Devamı)

Adı Soyadı	Yaşı ^a	Cinsiyet ^b	Protokol No.	Tarihi	Kons. ^c	Hiperpara-	tiroidi	Hikayede										Semptomlar ve Fizik Muayene Bulgular										Laboratuvar Bulguları									
								Perikardit	Nazirat/ dl.k.	Hip. Kons.	Na+/ L ^o .	Protonen No.	Venöz Dolgunu	Galleri Darlığı	Carpmıltı Nefes	Dolgun Gallo	Bazal Frotmanı	Hb. Bun.	Hb. %	Kreatinin mg. %	N ₂ ^d %	K ₊ %	C ₁₇ %	C ₁₇ %	C ₁₇ %	Ca ²⁺ %	CO ₂ %										
12 A.E.	38	K	568111		Yetmezliği	-	+	+	66	150/90	+	+	+	+	-	-	-	6.20	89	10.5	134	5.1	100	7.4	11												
13 N.G.	40	K	747046		Kronik	-	-	-	98	140/95	-	-	-	-	-	-	-	8.10	148	27	130	3.8	94	10	9												
14 E.E.	25	E	766424		Kronik	Glomerulo	1000↓	Nefrit	ml.	+	102	120/80	-	-	-	-	-	-	7.10	110	12	149	5.0	95	11	19											
15 M.E.	16	E	739833			"	"	"	"	-	76	120/85	+	+	-	-	-	-	5.9	125	24	134	5.1	103	7	15											
16 H.A.	27	E	758615			"	"	"	"	+	83	140/80	+	+	+	+	-	-	5.75	135	29.1	137	5.1	104	7	11											
17 A.D.	30	E	14654/76			"	"	"	"	-	89	140/90	+	+	+	+	+	+	9.40	100	18.0	142	5	107	8.2	14											
18 H.G.	20	E	750729		Sğ. Nefrek- toni Sl.	Multipıl taş	-	-	58	120/80	-	-	-	-	-	-	-	9.40	100	18.0	130	4.2	109	9	18												
19 M.Ö.	39	K	748739		Kronik	Glomerulo	-	-	100	140/90	-	-	-	-	-	-	-	6.74	76	12	147	4.4	107	8.5	15												
Kısaltmalar:																																					
Konj : Konjantasyon																																					
Hip : Hipertansiyon																																					
K.B. : Kan basıncı																																					

Ölçümler

Tüm ölçümler 5 kalp siklusunda yapılip ortalama değerler alındı. Düşey doğrultudaki tüm ölçümler kalibrasyon faktörüne göre düzeltildi. Çalışmamızda aşağıdaki ekokardiyografik parametrelerden yararlanıldı. Bu ölçümler Şekil 1 de gösterilmiştir.



Şekil 1

Çalışmamızda yararlandığımız ekokardiyografik boyutların ve ejeksiyon zamanının ölçüm yöntemi, toplu olarak görülmektedir. (Açıklama yazı içindedir). (A.B. Prot. No. 743259).

A. Sol ventrikül volum fonksiyonu ile ilgili ölçümler

1. Sol ventrikül diyastol ve sistol sonu çapı ($V\dot{I}C_d$ $V\dot{I}C_s$)

Diyastol sonu çapı için EKG deki R dalgasının tepesinden indirilen dik doğrunun sol ventrikül septumunun ve sol ventrikül endokardiyal yüzeyini kestiği noktalar arası, sistol sonu çapı için sol ventrikül arka duvar endokardının en öneki noktası ile buradan çıkarılan dikin sol ventrikül septum yüzeyini kestiği nokta arası ölçüldü.^{13, 23}

2. Atım hacmi (AH) (ml.)

$$AH = (V\dot{I}C_d)^3 - (V\dot{I}C_s)^3$$

3. Kalp debisi (KD) (L/dk.)

$$KD = AH \times \text{Kalp hızı}$$

Kalp hızı eko ile eş zamanda çekilen EKG de 5 R-R aralığının ortalama değeri alınıp, bunu 1 sn lik zaman çizgileri ile karşılaştırarak yapıldı.²³

4. Sol ventrikül duvar hacmi (VDH) (ml.)

Benett ve arkadaşlarının önerdikleri formüle göre hesaplandı.⁸

$$VDH = (2DK_d + VİÇ_d)^3 - (VİÇ_d)^3$$

DK_d = Sol ventrikül diyastolik duvar kalınlığı (cm.)

5. Sol ventrikül duvar kitlesi (VK) (gram)

Duvar hacminin kalp adelesinin özgül ağırlığı ile çarpımından elde edildi.⁷

$$VK = VDH \times 1.05$$

B. Miyokardın kontraktilitesini yansitan indeksler.

1. Ejeksiyon fraksiyonu (EF) (%)

$$EF = \frac{AH}{(VİÇ_d)^3} \quad \text{Kaynak No. 6}$$

2. Ortalama sistolik ejeksiyon hızı (OSEH) (hacim/sn)

$$OSEH = \frac{EF}{VEZ} \quad \text{Kaynak No. 7}$$

VEZ = Sol ventrikül ejeksiyon zamanı.

3. Sol ventrikül miyokard lifi ortalama kısalma hızı (V_{CF}) (çevre/sn)

$$V_{CF} = \frac{VİÇ_d - VİÇ_s}{VİÇ_d \times VEZ} \quad \text{Kaynak No. 6}$$

4. Sol ventrikül adalesi fraksiyonel kısalması. (FK) (%)

$$FK = \frac{VİÇ_d - VİÇ_s}{VİÇ_d} \times 100 \text{ formülüne göre hesaplandı.}^{19}$$

Eko ile eş zamanda EKG (genellikle D₂) ve sağ II. kostal aralığa yerleştirilen fono pikab ile fono kayıtları saptandı.

Kayıtlar 100 mm/sn kayıt hızında ve 1 sn lik zaman çizgileri kaydettilerek yapıldı.

Normal vakaların eko ölçüm değerleri Tablo II, üremik vakaların, Tablo III de toplu halde gösterilmiştir.

Verilerde ortalamalar arası farkın önemliliği T testi ile araştırıldı.

TABLO II
NORMAL KONTROL GRUBU

No.	Adı Soyadı	Yaş Cins	Protokol No.	Diyastol Sonu Çapı (cm)	Atria Hacmi (ml)	Ejeksiyon Faksiyon (%)	Ejeksiyon Zamani (sn)	Ort. Sist. Faksiyon Ejek. Hizi (hacim/sn) (%)	Faksiyon Kisalma V _{CF} (gevre/sn)	Sol Ventrikül DUVAR hacmi (ml)	Sol Ventrikül Duvar Kütlesi (gr)	M _{EF} (mm/sn)
1	N.N.	30 E	27319	5.00	105.97	85	0.313	2.71	47	1.49	251.367	263.935
2	E.C.	24 E	678014	4.70	81.87	79	0.309	2.55	40	1.31	123.161	129.320
3	Z.T.	30 K	60-18527	4.75	72.84	68	0.276	2.46	32	1.15	200.377	210.396
4	F.E.	28 E	721080	4.40	63.23	74	0.292	2.63	36	1.24	153.148	160.805
5	M.A.K.	24 E	643410	4.78	85.08	78	0.299	2.60	40	1.33	126.810	133.150
6	M.A.	24 E	522300	4.40	53.23	74	0.302	2.46	36	1.20	202.496	212.520
7	Ş.A.	24 E	302135	5.10	111.85	84	0.316	2.67	46	1.46	195.859	205.652
8	S.C.	36 E	192100	4.30	59.83	75	0.310	2.41	37	1.19	147.471	154.844
9	A.A.	35 E	345091	4.80	83.59	76	0.291	2.49	37	1.29	232.410	244.030
10	R.H.	28 E	100251	5.20	113.61	80	0.317	2.56	42	1.34	173.824	182.515
11	F.E.	24 E	356152	5.00	98.00	78	0.305	2.57	46	1.51	183.916	193.111
12	H.S.	22 E		4.78	87.74	80	0.285	2.82	42	1.47	145.620	152.901

Kısaltmalar

Ort. Sist Ejek. : Ortalama sistolik ejeksiyonu

V_{CF}

: Ortalama miyokard lifi kısالma hızı

TABLO III
UREMİK HASTA GRUBU

No.	Adı Soyadı	Yaşı/ Cinsiyet	Protokol No.	Perikardit	Konjügesyon	Yon	Diyastol Sıvı Gaptı (cm.)	Atm. Hacmi (ml.)	Ejeksiyon (%)	Zamani (sn.)	Ort. Sist. Bjk. Hizi (mm/sn.)	Gevre/s-sn.	VCF	Sol Duvatı Hacmi (ml.)	Sol Duvatı Vertebral Hacmi (ml.)	Sol Duvatı Kitlesi (gram)	MEF mm/sn.
1	A.S.	50 E	747621	-	-	-	5.7	138.54	75	0.283	2.59	37	1.27	236.685	248.519	94	
2	S.M.	34 E	738233	+	+	+	7.37	210.21	53	0.255	2.05	21	0.85	487.20	511.560	95	
3	T.T.	34 E	739772	-	+	+	7.06	235.68	57	0.319	2.10	31	0.96	301.40	316.470	59	
4	H.S.	23 E	712405	-	+	+	6.38	103.97	40	0.226	1.77	16	0.59	376.366	395.184	65	
5	H.A.	28 E	745682	-	+	+	6	91.00	42	0.305	1.38	17	0.54	296.000	310.800	48	
6	N.K.	24 E	739524	-	-	-	5.33	121.63	90	0.250	3.20	42	1.67	205.22	215.48	73	
7	S.D.	47 K	745807	-	-	-	5	92.23	74	0.253	2.92	36	1.42	162.495	170.62	88	
8	I.C.	30 E	1324076	-	+	+	5.3	139.46	97	0.255	2.19	24	0.93	554.307	582.02	112	
9	V.Y.	23 E	1517875	+	+	-	6.2	150.80	53	0.267	2.37	28	1.05	592.254	621.867	81	
10	Y.G.	32 E	753180	-	-	-	5.63	120.04	67	0.333	2.02	31	0.93	225.133	236.389	90	
11	B.A.	32 E	745682	-	-	-	6.62	213.33	74	0.250	2.82	36	1.37	311.21	326.77	93	
12	A.E.	38 K	568111	+	+	+	5.6	207.99	72	0.319	3.20	42	1.67	348.550	365.98	100	
13	N.G.	40 K	747046	-	-	-	5.5	197.85	72	0.248	2.90	35	1.39	288.93	303.37	92	
14	E.E.	25 E	766424	+	+	-	5.78	147.98	77	0.298	2.60	38	1.31	440.260	462.273	74	
15	M.E.	16 E	739833	-	-	-	5.78	146.45	57	0.336	2.25	38	1.04	208.85	219.29	89	
16	H.A.	27 E	758516	+	+	+	7.37	255.61	64	0.282	2.26	29	1.02	377.41	396.28	80	
17	A.D.	30 E	1455476	-	-	-	6.6	218.57	76	0.290	2.62	39	1.31	224.51	235.735	104	
18	H.C.	20 E	750729	-	-	-	4.64	79.78	80	0.347	2.30	41	1.19	127.081	133.435	88	
19	M.Ö.	39 K	748739	-	-	-	4.6	67.55	59	0.292	2.19	33	1.12	118.66	124.593	88	

Kısaltmalar:

Ort. Sist. Ejek. : Ortalama sistolik ejeksyon

VCF : Ortalama miyokard lifi kısalma hızı

MEF :

Mitrall kapaklı diyastolik kapanma hızı

Bulgular

Toplam 19 hastadan oluşan bu grup içinde konjesyonlu (10 hasta), konjesyonsuz (9 hasta), hipertansiyonlu (7 hasta), hipertansiyonsuz (12 hasta) üremi vakalarını içeren dört alt grup bulunmaktadır. Bu vakaların klinik ve laboratuvar bulguları toplu olarak Tablo I de ve ekokardiyografi bulguları da Tablo III de sunulmuştur. Üremik grubun ekokardiyografi bulguları şöyle idi:

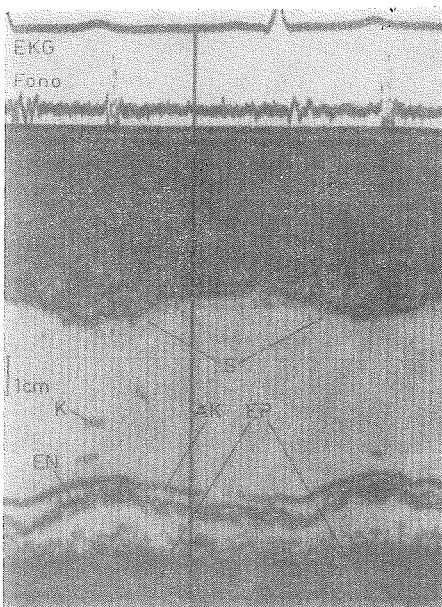
A. Sol ventrikül volüm fonksiyonu ile ilgili ölçümler

Sol ventrikül diyastol sonu çapı (VİÇ_d): Genel grupta ortalama 6.07 ± 0.18 cm, konjesyonlu hastalarda 6.56 ± 0.17 cm., konjesyonsuzlarda 5.53 ± 0.24 cm., hipertansiyon bulunanlarda 6.72 ± 0.20 cm. ve arteriyel basıncı normal olanlarda 5.69 ± 0.20 cm. bulundu. Bu değerler, hipertansiyonlu ve konjesyonlu vakalarda en belirgin olmak üzere, bütün gruptarda normalin üstünde idi ($P < 0.001$) konjesyonsuz ve hipertansiyonsuz vaka gruptlarında ($P < 0.01$).

Atım hacmi: 154.66 ± 13.09 ml. bulundu; konjesyonlu ve hipertansiyonlu gruptarda en yüksek değerler saptandı (sırası ile 176.12 ± 17.97 ml. ve 177.70 ± 24.79 ml.) Konjesyon ve hipertansiyon bulunan veya bulunmayan gruptar arasında önemli bir fark yoktu ($P > 0.05$); hepsinde de atım hacmi değerleri normalin üstünde idi ($P < 0.001$).

Kalp debisi: Kalp hızı normale göre belirgin bir fark göstermiyordu ($P > 0.05$); bu nedenle atım hacmindeki değişikliklere paralel olarak bütün grupta kalp debisi yüksek bulundu ($P < 0.001$). Tüm grupta 12.501 ± 1.178 lt/dk., konjesyonlu grupta 13.646 ± 1.665 lt/dk., konjesyonsuzlarda 11.230 ± 1.656 lt/dak., hipertansiyon bulunanlarda 13.008 ± 2.199 lt/dk. ve normal tansiyonlu grupta da 12.206 ± 1.427 lt/dak. idi Alt gruptar, arasında karşılaştırıldıkları zaman konjesyon veya hipertansiyonun bulunup bulunmamasının kalp debisini önemli şekilde etkilemediği dikkati çekiyordu ($P > 0.05$).

Sol ventrikül duvarı hacmi ve kitesi: Sol ventrikül duvarı hacmi ortalama 309.606 ± 31.147 ml. ve sol ventrikül duvarı kitesi ortalama 325.086 ± 32.704 gr. bulundu. Bu değerler normale göre istatistiksel olarak anlamlı şekilde yükseltti ($P < 0.01$). Aynı şekilde önemli fark, konjesyonsuz vakalar dışındaki diğer üremi alt gruptarında da dikkati çekiyordu. Konjesyonsuz üremi vakaları grubunda sol ventrikül duvarı hacim ve kitle ölçümleri, normal değerlere yakın ($P > 0.05$), konjesyonlu grubundan ise belirgin şekilde düşük bulundu ($P < 0.01$). (Şekil 2).



Şekil 2

Bir konjesyonlu ve hipertansiyonlu üremik hastanın ekosu. Vakada ventriküler hacimde artış, FK ve V_{CF} de belirgin azalma saptanmıştır. (H. A. Prot. No. 745682).

B. Miyokard kontraktilitesini yansıtan indeksler

Ejeksiyon fraksiyonu (EF): Üremi vakalarının tümü incelendiği zaman EF ortalaması 0.66 ± 0.02 bulundu. Bu değer normalin altındaydı ($P < 0.01$). Alt gruplar incelendiğinde normale göre bu değişikliğin, konjesyonlu ve hipertansiyonlu vakalardaki belirgin düşüklükten ileri geldiği ortaya çıktı (sırası ile 0.60 ± 0.04 ve 0.56 ± 0.04 ve $P < 0.001$). Konjesyon ve hipertansiyon bulunmayan üremik hastalarda EF değerleri 0.73 ± 0.01 ve 0.72 ± 0.01 olup, normale yakındı, ($P < 0.05$).

Ortalama sistolik ejeksiyon hızı (OSEH): Genel grupta: 2.36 ± 0.09 hacim/sn bulundu; normalin biraz altında olmakla beraber istatistiksel önemde fark yoktu ($P > 0.05$). Konjesyonsuz ve hipertansiyonsuz grupların değerleri tamamen normaldi (sırası ile 2.59 ± 0.12 ve 2.58 ± 0.09 hacim/sn.). Konjesyonlu grupta 2.16 ± 0.11 hacim/sn. ve $P < 0.01$ idi. En düşük değerler de hipertansiyonlu grupta saptandı (2.00 ± 0.12 ve $P < 0.001$).

Sol ventrikül miyokard lifi ortalama kısalma hızı (V_{CF}): V_{CF} değerleri total üremi grubunda 1.06 ± 0.07 çevre/sn., konjesyonlu üremi grubunda 0.97 ± 0.07 ve hipertansiyonlu vakalarda da 0.86

∓ 0.07 çevre/sn. bulundu. Bütün bu değerler anlamlı bir düşüklüğü göstermekte idi (sırası ile $P < 0.01$, $P < 0.001$, $P < 0.001$). Konjesyonsuz ve hipertansiyonsuz hastalarda ise 1.26 ∓ 0.07 ve 1.25 ∓ 0.05 çevre/sn. idi. Bu değerler çok hafif derecede bir düşmeyi göstermekte idi ($P > 0.05$).

Sol ventrikül adelesi fraksiyonel kısalması (FK): Genel grupta FK değerleri % 31.8 ∓ 1.7 idi; bu değerler normalin altında idi ($P < 0.01$). Konjesyonlu vakalarda % 27.7 ∓ 2.5 ya düşmekte ($P < 0.001$) ve hipertansiyonlu hastalarda ise en düşük değerlere inmektedir (% 24.7 ∓ 2.7 ve $P < 0.001$). Konjesyonsuz ve hipertansiyonsuz vaka gruplarında ise normale yakın bulundu (% 36.5 ∓ 1.167 , 36.0 ∓ 1.1 ve $P > 0.05$).

Bu sonuçlara göre total üremi grubunda miyokard kontraktilite indeksleri normalin biraz altında bulunmakla birlikte bu fark istatistiksel olarak anlamlıdır. Konjesyonsuz ve hipertansiyonsuz vaka gruplarında bu indeksler normal sınırlarda bulunduğu halde, konjesyonlu ve hipertansiyonlu hasta gruplarında kontraktilite indeksleri belirgin şekilde normal değerlerin altındadır.

C. Sol ventrikül diyastolik fonksiyonunu yansitan ölçüm

Mitral kapağının erken diyastolik kapanış hızı (MEF eğimi): Genel grupta 85.2 ∓ 3.3 mm/sn., konjesyonlu vakalarda 77.3 ∓ 4.3 mm/sn., konjesyonsuzlarda 94.0 ∓ 3.2 mm/sn., hipertansiyonlu olanlarda 74.4 ∓ 5.8 mm/sn., ve hipertansiyonsuz hastalarda da 91.4 ∓ 2.8 mm/sn. bulundu. Bunların hepsi de normalin çok altında değerlerdi ($P < 0.001$).

Tartışma

Dolaşım yetmezliği, kronik üremide sık görülen bir komplikasyondur.^{15, 24, 30} Ortaya çıkışmasında üreminin klinik tablosunu oluşturan çeşitli bozukluk ve etkenler sorumlu bulunduğu gibi üremiye özgü bir miyokardiyopatinin varlığı da ileri sürülmektedir.^{16, 24, 26} Üremik vakaların çoğunda bulunan anemi,^{16, 20} hipervolemi,^{12, 30} hipertansiyon,^{3, 10, 16} nedeni ile sol ventrikülün hacim ve basınç yüklenmesi mevcuttur. Perikard hastalığa katılmış^{4, 5, 11, 31} veya koroner arter hastalığı² eklenmiş olabilir. Asidoz,³² üremideki elektrolit değişiklikleri, özellikle hipertotasemi¹⁷ ve hipokalsemi,^{9, 14} rol oynayabilir. Üremideki çeşitli toksik madde birikimlerinin^{25, 26} de miyokardı depresse edebileceği düşünülürse, üremide dolaşım yetmezliğine neden olabilecek bir çok etkenin birlikte bulunduğu rahatça söylenebilir.

Kalp yetmezliği için yeterli olabilecek bu çeşitli nedenlerin yanında özgül bir üremik miyokardiyopatinin varlığı da ileri sürülmektedir. İlk defa Bailey'İN³ bahsettiği bu sendromun klinik tablosu, önemli derecede kalp büyülüğu, gallo ritmi, düşük ortalama arteriyel basınç, perikardit, ciddi aritmiler ve kardiyak glikozitlere karşı aşırı duyarlıktan oluşmaktadır. Araştırıcının beş vakasının hepsinde de kalp yetmezliğine yol açabilecek hipertansiyon anemnezi, anemi ya da anormal yükseklikteki kalsiyum ve fosfor değerleri gibi nedenlerin bulunması, klinik bulguların yanında patolojik araştırma desteğinin olmaması, tanının doğruluğunda tereddütler uyandırmaktadır. Diğer taraftan yeterli hemodiyaliz uygulanması ile hastaların kardiyomiyopati bulguları düzeldiğinden, araştırıcı kalpteki bozukluğun reverzibl olduğunu kabul etmekte ve kalp yetmezliği olmadan veya erken döneminde hemodiyaliz yapılmasını önermektedir. Ianhez ve arkadaşları¹⁶ da bu görüşe katılmakta, başarılı bir böbrek transplantasyonunun kardiyak bozukluklar üzerindeki belirgin ve dramatik etkilerini belirtmektedirler.

Cök faktörlü etiyolojisi olabilecek üremik kalp yetmezliğinde özgül bir miyokardiyopatiyi sorumlu görmek, patolojik araştırmalarla desteklenmedikçe tartışmaya açık kalacaktır. Ayrıca bunun reverzibl olduğunu kabul etmek de genel miyokardiyopati kavramına oldukça ters düşmektedir.

Akut böbrek yetmezliği meydana getirilen kobaylarda kalp adelesiinin kasılma gücünün azaldığı gösterilmiştir.²⁷ İzole siyan kalbi preparatları, üre ve diğer toksik üremik maddelerle perfüze edildiği zaman bu maddelerin depresse edici etki gösterdikleri saptanmıştır.^{11,5} Bundan başka hücre zarı sodyum pompasının muhtemel inaktivasyonu, veya D vitamini aracılığı ile sarkoplazmik endoretikulumda meydana gelen yapısal ve fonksiyonel bozukluğun miyokard kasılma gücünü etkileyebileceği üzerinde durulmuştur.²⁴

Kronik üremik hastalarda dolaşım hemodinamiği ve kalp performansındaki değişikliklerle ilgili bilgiler sınırlı ve görüşler de farklıdır. Kalp debisinin yüksek,²⁰ normal,¹² konjesyonlu vakalarda düşük, konjesyonsuzlarda ise artmış olabileceği bildirilmiştir.¹² Uraoka ve arkadaşları,³⁰ konjesyonlu üremi vakalarında yüksek ventrikül dolma basıncına karşın debinin düşük olmasını ve diyalizden sonra konjesyonun düzelmesi ile birlikte debinin de artmasını, bu hastalardaki miyokard bozukluğuna bağlamaktadır. Del Greco ve arkadaşları,¹² konjesyonsuz vakalardaki kalp debisi yüksekliğinin, su retansiyonu sonucu kan volümü artışına bağlı olduğu görüşündedirler.¹²

Akut, ve kısa süreli kronik üremik hayvanlar üzerinde yapılan bazı çalışmalar, kalp performansının artmış olabileceğini göstermiştir. Örneğin Penpargkul ve arkadaşları²² izole üremik fare kalpleri üzerindeki çalışmalarında, kalp debisi ve maksimum dp/dt'nin normal veya yüksek olduğunu göstermişlerdir. Ancak bu gözlemleri, üremideki bozukluklardan hiç birinin söz konusu olmadığı bir ortamda ve izole kalp üzerindeki araştırmalarına dayanmaktadır. Bu nedenle üremik şartlardaki in situ kalp fonksiyonları için de aynı sonucu geçerli saymak olanağı yoktur.

İnsanlarda kronik üremik hastalarda sol ventrikül fonksiyonlarını derinlemesine araştıran çalışmalara rastlamadık. Hastalığın ilerlemiş dönemlerindeki ağır klinik tablo, bu vakalarda miyokard kontraktilite fonksiyonlarının kalb kateterizasyonu laboratuvarında araştırılmasını çok zorlaştırmaktadır. Bu nedenle miyokard performansının saptanmasında, sistolik zaman aralıkları ölçü mü, ekokardiyografi gibi kansız yöntemler seçilmektedir. Bu yöntemlerin uygulandığı vakaların sayısı da çok değildir.^{1, 18, 21, 29}

Lewis ve arkadaşları¹⁸ terminal üremi dönemindeki 14 hastada ekokardiyografi ve sistolik zaman aralıkları ile sol ventrikül fonksiyonlarını incelediler. Özgül bir üremik miyokardiyopati varlığını gösterecek herhangi bir bulgu saptayamadılar. Aksine ileri derecede üremik, hipertansif, anemik, hipervolemik, klinik durumları çok bozuk olan ve kalp yetmezliğinin fizik bulgularını gösteren hastalarda bile sol ventrikül fonksiyonlarının normal olduğunu bildirdiler. Bu hastalarda kalp büyüğüğe rağmen fraksiyonel kısalma, ejeksiyon fraksiyonu ve ortalama miyokard lifi kısalma hızı ölçümlerinin normal oluşu miyokard performansının bozulmadığını yansıtıyordu. Atım hacmi ve kalp debisi artışıını Starling mekanizmasına bağladılar ve koroner arter hastalığı gibi ek bir kalp hastalığı bulunmadıkça, üremideki kalp yetmezliğinin patojenezinde miyokardiyal bir faktörün önemli rol oynamadığı kanısına vardılar. Sol ventrikül diyastolik kompliansını da normal buldular. Ekokardiyografi bulgularının normal olmasına karşılık, sistolik zaman aralıkları ölçümlerinde bazı hastalarında preejeksiyon zamanı uzaması ve preejeksiyon zamanı/sol ventrikül ejeksiyon zamanı artması saptadılar. Preload ve afterload anormal olduğu için, bunun miyokard kontraktilitesinde bir değişikliği gösteremeyeceğine işaret ettiler.

Toplam 19 hastada oluşan üremik vaka grubumuzda ekokardiyografik çalışmalarla sol ventrikül diyastol sonu çapı, hacmi ve kitlesi, atım hacmi ve kalp debisi normal değerlere göre belirgin şekilde artmış bulundu. Hastaların kalp hızında önemli bir yükselme olmadığına göre debi artışında başlıca atım hacmi sorumludur. Bazı vakalarda sol ventri-

kül hacmi ile ilgili olan bu parametreler normal veya normalin altında olmakla beraber, bütün grupta ve özellikle hipertansiyon ya da konjesyon bulunan alt gruplarda çok yüksek değerlere ulaşmaktadır. Konjesyonsuz grupta ise, sol ventrikül duvar hacmi ve kitlesi ölçümlerinde olduğu gibi normale yakın değerler elde edildi. Hipertansiyonlu grupta çok yüksek değerler bulunmasının nedeni büyük olasılıkla sadece periferik rezistans artışı değildir. Çünkü bu gruptaki vakalarımızın hepsinde hipertansiyon ile birlikte konjesyon da vardı. Bu sonuçlar literatür bulgularına uymakta, volüm ve kitle ile ilgili parametrelerin artışından Hipervolemi ve periferik rezistans artışının sorumlu olduğu görüşünü desteklemektedir.^{12, 30}

Ejeksiyon fraksiyonu, ortalama sistolik ejeksiyon hızı, fraksiyonel kısalma ve miyokard lifi ortalama kısalma hızı gibi miyokard kontraktilitesini yansitan ekokardiyografik parametreler, konjesyonsuz ve normal kan basıncı üremi vakalarında normal sınırlarda veya normale çok yakın bulundu ($P > 0.05$). Konjesyon, ve hipertansiyonlu gruplarda ise normalin altında fakat çok düşük olmayan değerler elde edildi ($P < 0.001$) Bu bulgular konjesyon veya hipertansiyon bulunmayan üremik hastalarda miyokard fonksiyonlarının normal olduğunu göstermektedir. Ancak Lewis ve arkadaşlarının¹⁸ dolaşım yetmezliği ve hipertansiyon bulunsa bile üremide miyokard fonksiyonlarının depresso olmadığı şeklindeki görüşlerine tam uymamaktadır. Bu hastalarda çok önemli olmasa da miyokardin etkilendiğini ve hafif derecede bir fonksiyon bozukluğu gösterdiği ni kanıtlamaktadır. Ekzersiz testinden sonra aynı ölçümlerin tekrarlanması, sol ventrikülün yüklenmeye cevabını göstermek suretiyle miyokard performansını daha iyi aydınlatabilirdi. Ancak hastaların klinik durumu buna olanak vermedi.

Sonuç olarak zararsız ve kolay uygulanabilen ekokardiyografik yöntem ile yapılan bu çalışma, üremik hastalarda miyokard fonksiyonlarının hafif derecede bozulmuş olduğunu göstermektedir. Bunun nedenlerini araştırmak ayrı bir çalışma konusu olabilir.

Özet

12 normal şahista, 19 üremik hastada sol ventrikül fonksiyonları araştırıldı.

Üremik vaka grubunda hafif miyokard bozukluğu saptandı. Bu konudaki literatür gözden geçirilerek, sonuçlar tartışıldı.

KAYNAKLAR

1. Abbasi, A. S., Slaughter, J. C. and Allen, M. W.: Asymmetric septal hypertrophy in chronic hemodialysis patient (Abstr.) Circulation 54: (Suppl. II): 190, 1976.

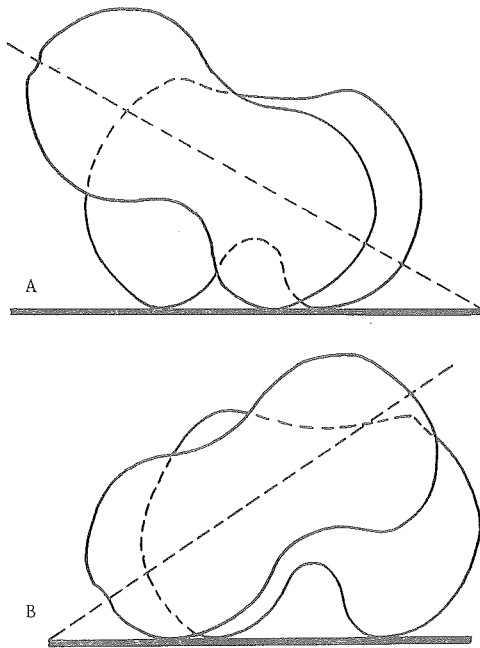
2. Bagdade, J. D.: Disorders of carbohydrate and lipid metabolism in uremia. *Nephron* **14**: 153, 1975.
3. Bailey, G. L., Hamper, C. L. Merrill, J. P.: Reversible cardiomyopathy in uremia. *Trans. Am. Soc. Artif. Int. Organs* **13**: 263, 1967.
4. Bailey, G. L., Hamper, C. L., Hager, E. B. and Merrill, J. P.: Uremic pericarditis. Clinical features and management. *Circulation* **38**: 582, 1968.
5. Baldwin, J. J. and Edward, J. E.: Uremic pericarditis as a cause of cardiac tamponade. *Circulation* **53**: 896, 1976.
6. Belenkie, I., Nutter, D. O., Clark, D. W., Mc Craw D. B. and Raizner, A. E.: Assessment of left ventricular dimensions and function by echocardiography. *Am. J. Cardiol.* **31**: 755, 1973.
7. Bennett, D. H., and Evans, D. W.: Correlation of left ventricular mass determined by echocardiography with vectorcardiographic and electrocardiographic voltage measurements. *Brit. Heart J.* **36**: 981, 1974.
8. Bennett, D. H., and Rowlands, D. J.: Test reliability of echocardiographic estimation of left ventricular dimensions and volumes. *Brit. Heart J.* **38**: 1133, 1976.
9. Bricker, N. W., Slatapolsky E. I., Reiss, E., and Avioli, L. V.: Calcium, phosphorus and bones in renal disease and transplantation. *Arch. Intern. Med.*, **123**: 543, 1969.
10. Chatty, M. E., Deodhar, S. D.: Myocardial changes and kidney transplantation. *Arch. Path.*, **88**: 602, 1969.
11. Compty, C. M., Cohen, S. L. and Shapiro, F. L.: Pericarditis in chronic uremia and its sequels. *Ann. Intern. Med.*, **75**: 173, 1971.
12. Del Greco, F., Simon, N. M., Roguska, J. and Walker, C.: Hemodynamic studies in chronic uremia. *Circulation*, **40**: 87, 1969.
13. Feigenbaum, H.: Echocardiographic examination of the left ventricle. *Circulation*, **51**: 1, 1975,
14. Fellner, S. K.: The Heart, Editor Hurst, J. W., Logue, R. B., Schlant, R. C. and Wenger, N. K. Mc Graw-Hill. New York 1974, p. 1199.
15. Gueron, M., Berlyne, G. M., Norr, E. and Ari, J. B. (editorial) The case against the existence of a specific uraemic myocardopathy. *Nephron* **15**: 2, 1975.
16. Ianhez, L. E., Lowen, J. and Sabboga, E.: Uremic myocardopathy. *Nephron*, **15**: 17, 1975.
17. Langendorf, R. and Pirani, C. L.: The heart in uremia. *Am. Heart J.*, **33**: 282, 1947.
18. Lewis, B. S., Milne, F. J. and Goldberg, B.: Left ventricular function in chronic renal failure, *Brit. Heart J.*, **38**: 1229, 1976.
19. Mc Donald, I. G.: Echocardiographic assessment of left ventricular function in aortic valve disease. *Circulation*, **53**: 860, 1976.
20. Neff, M. S., Kim, K. E., Persoff, M., Onesti, G. and Swartz, C.: Hemodynamics of uremic anemia. *Circulation*. **43**: 876, 1971.
21. Newmark, K. J. and Kohn, P.: Myocardial functional improvement in the post transplantation state assessed by systolic time intervals (Abstr.) *Kidney Inter.*, **6**: 79, 1974.
22. Panpargkul, S. and Scheuer, J.: Effect uremia upon the performance of the rat heart. *Cardiovasc. Res.*, **6**: 702, 1972.

23. Pombo, J. F., Troy, B. L., and Russell, R. O.: Left ventricular volumes and ejection fraction by echocardiography. *Circulation*, **43**: 480, 1971.
24. Prosser, D. and Parson, V. (editorial): The case a specific ureamic myocardopathy. *Nephron*, **15**: 4, 1975.
25. Raab, W. and Gigee, W.: Urinary 3-methoxy 4-hydroxy-mandelic acid (VMA) in ischemic heart disease and in uremia Am. J. Med. Sci., **250**: 547, 1965.
26. Raab, W.: Cardiotoxic substances in the blood and heart muscle in uremia (Their nature and action). *J. Lab. and Clin. Med.*, **29**: 715, 1944.
27. Richter, A. B. and O'Hare, J. P.: The heart in chronic glomerulonephritis. *New Eng. J. Med.*, **214**: 824, 1936.
28. Scheuer, J. and Stezoski, S. W.: The effects of uraemic compounds on cardiac function and metabolism. *J. Molec. Cell. Cardiol.*, **5**: 287, 1973.
29. Schott, C. R. Kotler, M. N., Segal, B. L., Parry, W. and Mahan, J.: Echocardiographic spectrum in chronic renal failure (Abstr.) *Circulation*, **54**: (Suppl. II) 221, 1976.
30. Uraoka, T., Sugimoto, T., Inasaka, T., Kaseno, K., Hirasawa, K., Kitagawa, S. and Taeuchi, J.: Changes of cardiac performance in renal failure Jap. Heart., **16**: 489, 1975.
31. Wacker, W. and Merrill, J. P.: Uremic pericarditis in acute and chronic renal failure J A M A, **156**: 764, 1954.
32. Wildenthal, K., Mierzwiaik, D. S., Myers, R. W. and Mitchell, J. H.: Effects of acute lactic acidosis on left ventricular performance. *Am. J. Physiol.*, **214**: 1352, 1968.

Fötal Femoral Torsion

Dr. Yaser Muşdal*

Transvers düzlemdede femur boynu (orta aksı) ile femur diafizi (kondilleri orta çizelgesi) arasındaki açısal değer femoral torsion olarak isimlendirilmektedir.¹⁷ (Şekil 1). Femoral torsion konusunda ilk rapor Mikulicz (1878) tarafından verilmiştir.⁸ Daha sonra bu konunun birçok yazar tarafından incelendiği görülür.^{4, 6, 11, 16} Özellikle doğuştan kalça çıkışı vakalarında deformite yapacak şekilde oluşu ve bunun kalça eklemi instabilitiesinde önemli oranda rol oynamasına inanılması konunun daha derinliğine incelenmesine sebep olmuştur.^{1, 5, 7, 14, 15} Öte yandan femoral torsionun bu şekilde, postnatal sayısız araştırmasına



Şekil 1

Femoral torsion. A: Antetorsion = anteversion = Pozitif torsion, B: Retrotorsion = retroversion = negatif torsion.

* Hacettepe Üniversitesi Tıp Fakültesi Ortopedi ve Travmatoloji Bilim Dalı Doçenti.

rağmen, prenatal (intrauterin) hayatı konusunda yapılan çalışmalar hudutlu ve yetersiz kalmıştır. Çok defa, fetuslar üzerinde yapılan anatomik çalışmalarla bu konuya da kısaca değinildiği görülmüşdür.^{2, 3, 8, 9, 12, 14} Fötal femoral torsion ilk degenen araştırcı Friedlander (1901) olmuştur.^{8, 14} Daha sonra ise aynı konu üzerinde araştırmalar yapıldığı ve bu çalışmaların günümüzde de devam ettiği görülür.^{3, 8, 14}

Intrauterin ilk 8 haftalık devre, embriyonik periyod olarak isimlendirilmektedir. Bundan sonraki intrauterin safha ise prenatal safha olarak kabul edilmektedir.^{9, 10, 18} Prenatal fötal devrede yapılan çalışmalarla, genellikle fetüsün yaşının tayin edilmesi önem taşımaktadır. Bu konuda Streeter (1921) in yapmış olduğu araştırmalarla ortaya koyduğu bilgiler esas olarak kabul edilmektedir.¹⁰ Fötal femoral gelişme konusunda ise Felts (1954) in yapmış olduğu çalışmada Streeter'in bulguları esas alınarak femur boyu ile fötal yaşı arasındaki bağlantı yaklaşık olarak Tablo I'deki gibi bulunmuştur:

TABLO I

Femur Boyu	Fötal Yaş
2 mm.	7 Hafta
3.5 "	8 "
9.2 "	9.5 "
18 "	12 "
26 "	13 "
38 "	15 "
50 "	16 "
58 "	19 "
66 "	20 "
76 "	27 "
100 "	29 "
105 "	40 " (Felts, 1954) ⁸

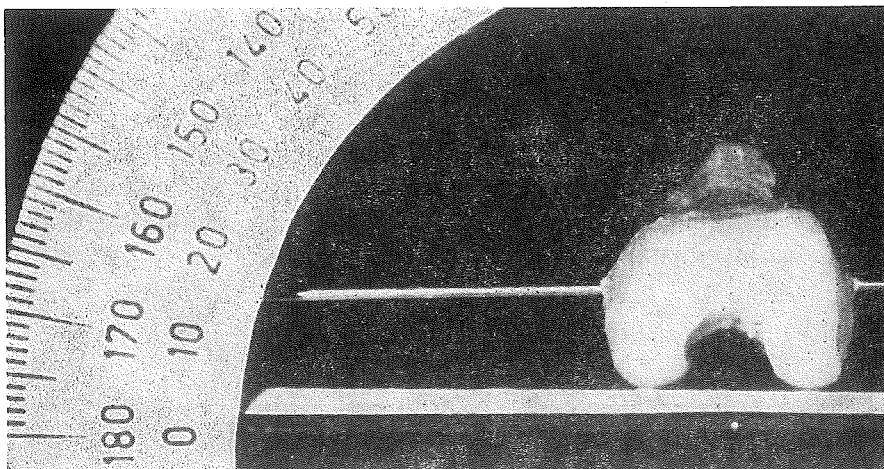
Materyel ve Metot

Bu çalışma için Ankara Doğum Evi'nden temin edilen herhangi bir sebeple ölü doğmuş veya doğumdan kısa bir süre sonra ölmüş, üç ile on ay arasında fötal yaşıları (25-110 mm. arasında femur boyları) olan 100 adet normal fetus'a ait 200 femur kullanıldı. Fetusların 46'sı erkek, 54'ü ise dişi fetus idi.

Fötal Femoral Torsion (FT) un Ölçülmesi

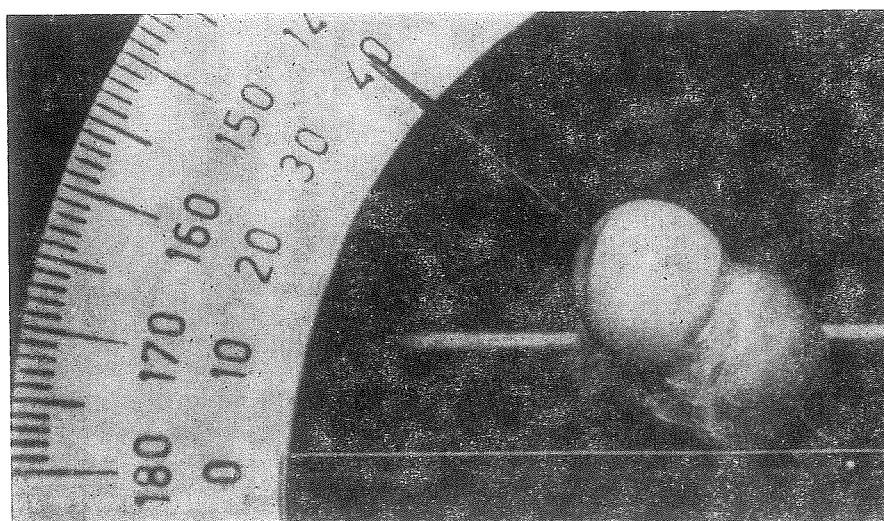
Bunun için düz bir zemine dik gelecek bir şekilde yerleştirilen basit bir açı ölçerden faydalandırıldı. Önce femur kondilleri orta çizgisi ile femur

kondilleri arka çizgisi arasında önemsenmeyecek kadar bir açısal değerin olduğu görüldü ve kabul edildi, (Şekil 2). Sonra femur anatomik ekseni açı ölçere dik gelecek ve her iki kondili düz zemine degeceek bir şekilde yerleştirildi. Burada femur kondillerinin arka düzlemi ile femurun baş ve boynu orta aksı arasındaki açısal değer, femoral torsion olarak kabul edildi, ölçüldü ve derece olarak kaydedildi. (Şekil 3). Eldeki veriler fötal yaşı (femur boy) gruplarına göre sınıflandırılarak değerlendirildi.



Şekil 2

Femur kondilleri orta çizgisi ile arka çizgisi ile arka çizgisinin birbiri ile ilgisi.



Şekil 3

Femoral torsionun ölçümü.

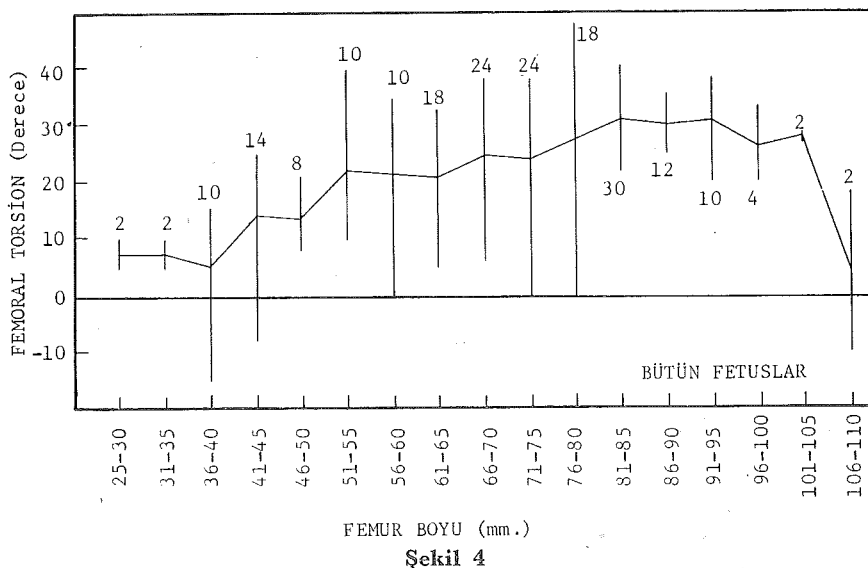
Bulgular ve Tartışma

Tablo II de bütün fetuslara ait femoral torsion (FT) nun ortalama ve standart sapma değerleri ve vaka sayıları femur boy (fötal yaşı) grubu sırasına göre verildi.

TABLO II

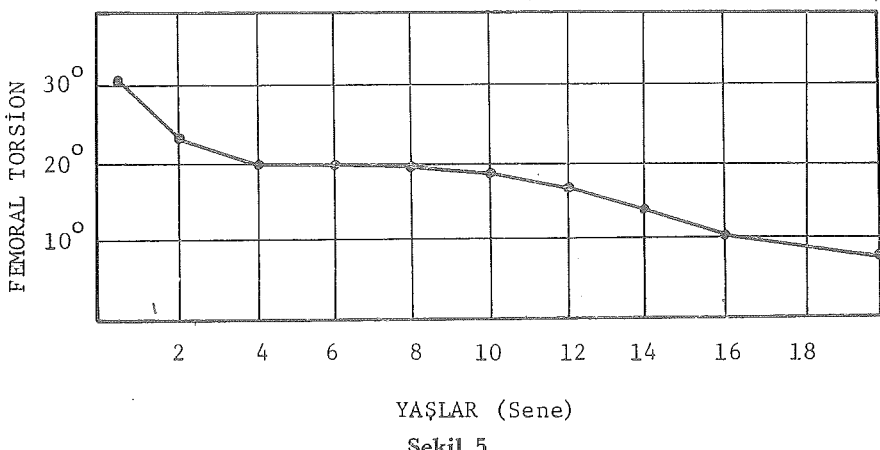
F.B. (mm.)	F. T. (Derece) Ort.	STD. Sapma	Vaka Sayısı
26-30	7.50	2.50	2
31-35	7.50	2.50	2
36-40	4.84	9.67	10
41-45	13.83	10.38	14
46-50	13.50	4.42	8
51-55	22.38	9.91	10
56-60	21.45	10.75	12
61-65	20.58	7.56	16
66-70	24.91	6.62	24
71-75	24.16	8.96	24
76-80	28.32	10.27	18
81-85	31.10	5.11	30
86-90	30.08	2.78	12
91-95	30.70	5.80	10
96-100	26.00	5.25	4
101-105	28.00	1.00	2
106-110	4.00	14.07	2

Şekil 4 de bütün fetusların femoral torsion değerleri (ortalama, en küçük ve en büyük) femur boy (fötal yaşı) grubu sırasına göre gösterildi. Düşey çizgiler her fötal yaşıta bulunan en küçük ve en büyük değerler arasında çizilmiştir. Çizgilerin üzerindeki rakamlar ise vaka sayılarını vermektedir. Şekil 5 de ise Dunlap ve arkadaşlarına ait olan çalışmada femoral torsionun postnatal durumu görülmektedir. Femoral torsionun ilgi çekici bir konu oluşu, anatomik çalışma yapanlardan çok ortopedi ile uğraşanların dikkatlerini üzerine çekmiştir. Konu ile ilgili Türk fetusları üzerinde yapılmış herhangi bir araştırmayı olmayı da bizi bu çalışmaya yöneltlen önemli nedenlerden biri olmuştur. Fötal femoral torsionun ortalama değerlerinin, femur boyu (fötal yaşı) küçüldükçe azaldığı, femur boyu büyütükçe ise arttığı görülmüştür. Femoral torsionun her fötal yaşıta geniş varyasyonlar arzettiği, daha çok negatif ve 0° ye yakın değerlerin erken fötal hayatı olduğu, daha çok pozitif değerlerin ise fetuslar büyütükçe arttığı izlenmiştir, (Tablo II ve Şekil 4). Femoral torsionun bütün fetuslarda $+48^\circ$ ile -15° ler arasında, ortalama 19.93 ± 6.91 olduğu saptanmıştır. Bütün bu bulgular ilgili yazarların fikir ve bulgu-



Şekil 4

DUNLAP, 1953



Şekil 5

ları ile benzerlik arzettmektedir.^{3, 8, 14} Femoral torsion konusunda az da olsa gerek prenatal ve gerekse sayısız postnatal devrelerde yapılmış olan araştırmalar, bunun büyümekte ve gelişmekte olan organizmada dinamik (değişen) bir değer olduğunu ispatlamaktadır.^{3, 4, 6, 8, 11, 14} Şöyle ki erken fötal hayatı en düşük olan bu değer fetus gelişikçe büyümekte ve doğum anında en yüksek değerine ulaşmaktadır. Bundan sonra daha yavaş olmak üzere bu değerde azalma olmakta ve büyümeye yaşı bitince erişkinde olan statik (değişmeyen) değerine varmaktadır, (Şekil 4 ve 5) (Dunlop, 1953). Bu durumu, femoral torsionun normal fizyolojik

kaderi olarak kabul etmek gerekmektedir. Nedeni konusunda değişik fikirler öne sürülmüştür. Altmann,⁸ hayvan fetuslarında değişmenin olduğunu fakat doğumdan sonra ise torsionda bir azalma olmadığını belirtmiştir. Wilkinson,²⁰ tavşan yavrularında femuru içe ve dışa zorlama ile femoral torsionu değiştirmeye denemelerinde başarılı olmuştur. Salter¹⁵ de benzer bulgular elde etmiştir. Pearson ile Bell¹³ Martin¹⁴ ve Giuntini¹⁷ irka bağlı farkların bariz şekilde var olduğundan bahsetmişlerdir. Hemen her çalışmada sağ ve sol arasında az da olsa fark dikkati çekmektedir.^{8, 11} Patolojik durumlarda bunun fizyolojik hududun dışına çıktığı görülmektedir.^{1, 6} Bütün bunların çevresel faktörlerin etkisi ile olduğu izlenimi doğmaktadır. Diğer yandan intrauterin devrede fötal postürün statik olmayıp dinamik olduğu herkes tarafından bilinmektedir. Fetuslarda ilk önemli değişiklik, 8-10 haftalarda alt ekstremite tomurcuklarının rotasyonudur.^{2, 14} Bunun femoral torsion üzerindeki etkisi düşünülemez, çünkü bu devrede femur ancak belirmiştir ve çok küçüktür. Ancak gebeliğin ikinci yarısında olan fötal postür değişikliği ilginçtir. Kalça eklemleri fleksiyona gelmiştir ve femur uterus adalesi ile dinamik bir şekilde fleksiyon ve iç rotasyona zorlanmaktadır.^{3, 11, 19} Doğumdan sonra ise bu dinamik kuvvet ortadan kalkmakta ve alt ekstremiteler serbest kalmaktadır, ve fötal postürün zaman geçtikçe kaybolduğu ve yerini başka çevresel faktörlerin ve adale kuvvetlerinin aldığı görülmektedir.^{11, 15} Bütün bunlar femoral torsionun dinamik değerinde, büyük ölçüde çevresel faktörlerin etkili bulunduğu ve özellikle fötal femoral torsionda gene başlıca nedenin fötal postür olduğunu kanıtlamaktadır. Felts⁸ bu konuda büyümeye potansiyelinin de sorumlu olabileceğini öne sürmüştür. Ancak fötal femoral torsionda geniş varyasyonların görülmemesinin, sadece fötal postür ile açıklanması yetersiz gibi görülmektedir ve bu konuda başka nedenlerin de var olabileceğini düşündürmektedir.

Özet

Fötal femur boyları 25-110 mm. (fötal yaşı yaklaşık 3-10 ay) arasında olan 100 normal fetustan elde edilen 200 femurda femoral torsion ölçümü ve elde edilen verilerin istatistiksel değerlendirilmesi yapıldı. Transvers plânda femurun baş-boyun orta aksi ile kondillerinin arka çizgisi arasındaki açı, femoral torsion olarak basit bir aygit yardımı ile ölçüldü. Fötal femoral torsionun, femur boyu (fötal yaşı) küçüldükçe azalduğu, femur boyu büyüldükçe ise arttığı ve her fötal yaş seviyesinde geniş varyasyonları olduğu görüldü. $+ 48^\circ$ en büyük, -15° en küçük $+ 19.93 \pm 6.91$ ortalama fötal femoral torsion olarak bulundu. Fötal femoral torsion değerinin değişken olmasında başlıca etkili faktörün fötal postür olduğu sonucuna varıldı.

KAYNAKLAR

1. Alvik, L.: Increased anteversion of femoral neck as sole sign of dysplasia coxae. *Acta Orthop. Scand.*, **29**: 301, 1959-60.
2. Badgley, C. E.: Etiology of congenital dislocation of the hip. *Journal of Bone and Joint Surgery*, **31-A**: 341, 1949.
3. De Cuveland, E. F.: Mechanism of development of femoral torsion during intrauterine life. *Arch. Orthop. U. Unfall. Chir.*, **44**: 213, 1950.
4. Dunlap, K., Shands, A. R., Hollister, L. C. Jr., Gaul, J. S. and Streit, H. A.: A new method for determination of torsion of the femur. *Journal of Bone and Joint Surgery*, **35-A**: 289, 1953.
5. Durham, H. A.: Anteversion of the femoral neck in the normal femur and its relation to CDH. *J. Am. Med. Assn.* **65**: 223, 1915.
6. Fabry, G., Mac Ewen, G. D. and Shands, A. R.: Torsion of the femur. A Follow-up study in normal and abnormal conditions. *Journal of Bone and Joint Surgery*, **55-A**: 172, 1973.
7. Fairbank, H. A. T.: CDH: With special reference to the anatomy. *British Journal of Surgery*, **17**: 380, 1930.
8. Felts, W. J. L.: The prenatal development of the human femur. *The American Journal of Anatomy*, **94**: 1, 1954.
9. Gardner, E. and Gray, D. J.: The prenatal development of the human femur. *Journal of Anatomy*, **129**: 121, 1970.
10. Hellman, L. M., Pritchard, J. A. and Wynn, R. M.: The morphologic and functional development of the foetus. *Williams Obstetrics*, fourteenth edition, 1970, pp. 199.
11. Kingsley, P. C. and Olmsted, K. L.: A Study of determine the angle of anteversion of the neck of the femur. *Journal of Bone and Joint Surgery*, **30-A**: 745, 1948.
12. Nakayama, H.: A Study on the development of the human supporting component with reference to the femur and tibia of Japanese foetuses. *J. Japanese Orthop. Assn.*, **44**: 503, 1970.
13. Pearson, K. and Bell, J.: A Study of Long bones of the English Skeleton. Drapers company Research Memoris, Biometric series X and XI, Part I (text) London, Cambridge Univ. Press., 1919.
14. Roberts, W. H.: Femoral torsion in normal human development and as related to dysplasia. *Anat. Rec.*, **143**: 369, 1962.
15. Salter, R. B.: Etiology, pathogenesis and Possible Prevention of CDH. *Can. Med. Assn. J.*, **98**: 933, 1968.
16. Shands, A. R., and Steele, M. K.: Torsion of the femur. *Journal of Bone and Joint Surgery*, **40-A**: 803, 1958.
17. Steindler, A.: The position of the femur. *Kinesiology of the Human body*, Second edition, 1964, pp. 262, 298.
18. Strayer, L. M.: Embriology of the human hip Joint. *Clinical Orthopaedics and Related Research*, **70**: 221, 1971.
19. Vartan, C. K.: The behaviour of the foetus in utero with special reference to the incidence of breech presentation at term. *J. Obst. and Gynec. of the British Empire*, **52**: 417, 1945.
20. Wilkinson, J. A.: Femoral anteversion in the rabbit. *Journal of Bone and Joint Surgery*, **44-B**: 386, 1962.

Primer Tubal Mol Hidadiform*

Dr. Ali Ayhan / Dr. Mithat Erdoğan** / Dr. Okyar Erol*****

Korion villüslarında, nodüler, kistik ve hidropik dejeneresans, stromal ödem, avaskülarizasyon ve trofoblastik proliferasyon ile karakterize bir hastalıktır. Genellikle fötüs bulunmaz. Nadiren fötüsü içeren parsiyel mol olgularına rastlanır.³⁻⁵

Molar gebeliğe 125 ila 2000 doğumda bir rastlanır. Ancak bu rakamlarda 82-2500 arasında değişebilmektedir.^{3-5, 9}

Tubal mol ise oldukça nadir görülmektedir. Phaneuf bu lezyonun sıklığının dış gebeliklerde ancak % 3 olabileceğini saptamıştır.¹ Bir klinik gözlemede 500.000 doğum ve 510 molar dejeneresansa karşılık bir tubal mol hidadiform gözlenmiştir.¹

Kliniğimizin 15 yıllık çalışmasında sadece bir primer tubal mol hidadiform olgusuna rastlanmış ve tanı cerrahi girişim esnasında gros olarak konmuştur.

Nadir görülmesi, kendine özgü klinik belirti vermemesi genellikle dış gebelik materyalinin histolojik incelenimi ve nadiren de cerrahi girişimde gros olarak təshis edilebilmesi nedeni ile olgu sunulup ilgili literatür gözden geçirilecektir.

Vaka Takdimi

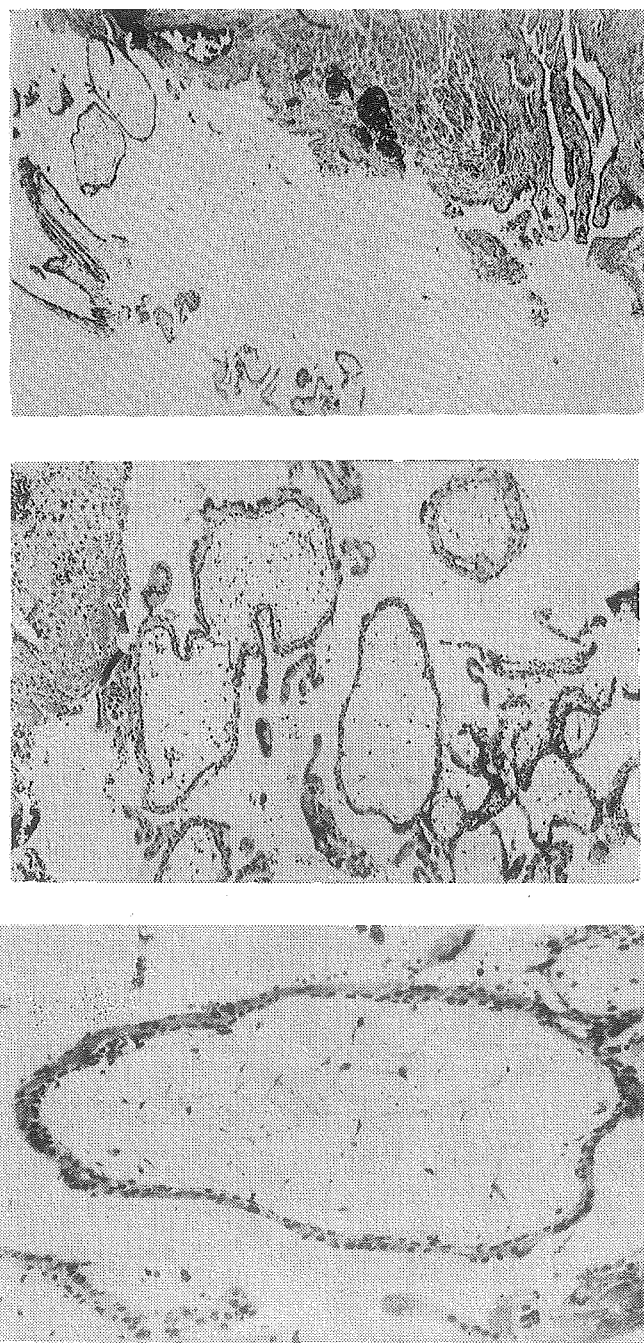
Protokol No: 427304 Ş. Ö. 38 yaşında, 18 yıllık evli, gebelik sayısı 7, doğum sayısı 3, düşük sayısı 4 ve yaşayan çocuk sayısı 3'dür. Adet düzeni regüler, son adet tarihi 27.3.1978.

Karında-kasıkta ağrı, baygınlık, bulantı, kusma ve vaginal kanama nedeniyle kliniğimize müracaat etti (2.4.1978). Öz ve soy geçmişinde

* Hacettepe Üniversitesi Tıp Fakültesi Kadın Hastalıkları ve Doğum Bilim Dalı Çalışmalarından.

** Hacettepe Üniversitesi Tıp Fakültesi Kadın Hastalıkları ve Doğum Bilim Dalı Öğretim Üyesi.

*** Aynı Fakülte Kadın Hastalıkları ve Doğum Bilim Dalı Asistanı.



(Şekil 1 a, b, c)

özellik olmadığı ve şikayetlerinin 2 gündür devam ettiği ve bu sabahdan beri arttığı öğrenildi. Muayenede TA: 80/60, NA: 120/dk, Ateş: 36.5°C Hasta soluk, batında yaygın hassasiyet ve defans vardı. Pelvik muayenede sol adneksial kitle saptandı. Gebelik testi müsbet bulundu Hb : 8.10 idi. Hastaya dış gebelik ön tanısı kondu. Douglas aspirasyonunda pihtılaşmayan kan geldi. Genel anestezi altında gerekli hazırlık yapıldıktan sonra suprapupik insizyon ile batına girildi. Batında 4000 cc kan vardı. Sol tüpte rüptüre interstisyumda lokalize molar gebelik saptandı. Sol salpinjektomi ve sağ tüpligasyonu yapıldı. Kanama kontrolu yapılarak batın usulüne uygun kapatıldı ve ameliyata son verildi. Ameliyat esnasında üç ünite kan verildi. Histolojik incelenim kliniği doğruladı (B-2635-78) (Şekil 1 a,b,c.).

11.4.1978 tarihinden itibaren gebelik testi negatif oldu. 125 mg. methotreksat verildi. Hasta halâ gözlemimiz altında olup bir özelliği yoktur.

Tartışma

Dış gebelikte mol hidatiformun sıklığı konusu tartışımalıdır. Teacher ve Hendry ektopik ovumlarda molar dejeneresansın oldukça sık olduğunu bildirmiştir. Phaneuf dış gebelikte bu lezyonun sıklığının % 3 dolayında olduğunu bildirmiştir.¹ Bunlara rağmen molar dejeneresans görülmeyen dış gebelik serileri de vardır.

Belki ilk kez 1871 Otta tubal mol hidatiformu tarif etmiş ve Henning (1876) iki vaka bildirmiştir.^{1,6} Meyer (1919) 48 mol hidatiform olgusunu rapor etmiştir.^{1,6,8} Meyer'in serisi hariç tutulursa 1948'e kadar Chalmers 14 olgu toplamıştır.² 1954'de Kika ve Matuda 16 olguyu bildirmiştir.^{1,6,7}

Sunduğumuz olgu 15 yıllık uygulamamızda görülen ilk tubal mol hidatiformdur.

Tubalarda önemli sayıda primer koriokarsinomaya rastlanmıştır. Molün en önemli komplikasyonlarından birinin koriokarsinom olduğu düşünülürse veya başka bir deyişle koriokarsinoların geçmişinde % 40 molar gebelik düşünülürse tubal mol hidatiformun önemli miktarında görülebileceği mümkündür. Buna rağmen Eving'in primer tubal koriokarsinom vakalarına karşın hiç tubal gebeliğe rastlanmamıştır.^{1,6,7,9} Aslında Hidatiform mol ve koriokarsinomanın tubal trofoblast veya ovarian gebeliklerde görülmemesi için bir neden de yoktur.¹

Tubal hidatiform mol vakalarında koriokarsinomanın meydana gelmesi daha sık olmasına rağmen uterin mole göre прогноз daha iyidir. Çünkü leze saha tamamen çıkarılmaktadır.^{1,6}

Nadir olmasına ve özgü klinik belirti vermemesine rağmen dış gebeliklerde mol düşünülmeli muhakkak materyal histolojik incelenime tabi tutulmalıdır.

Özet

Primer tubal hidatiform mollu bir olgu sunulmuştur. Tubal mol ile koriokarsinom arasındaki ilişki tartışılmıştır ve ilgili literatür gözden geçirilmiştir.

KAYNAKLAR

1. Adli, A. G.: Hydatidiform mole in the fallopian tube, International Surgery, **61**: 84, 1976.
2. Chalmers, J. A.: Hydatidiform mole in the fallopian tube, J. Obst Gynec. Brit. Emp. **55**: 322, 1948.
3. Disaia, P. J., Morrow, C. P. and Townsend, P. E.: Synopsis of gynecologic oncology A Wiley Biomedical-Health Publication, New York London, 1975, 320.
4. Gusberg, S. B., and Frick, H. G.: Corscadens Gynecologic Cancer, (4th, Edition) Williams and Wilkins Company, Baltimore, 1970, 482.
5. Gürguç, A.: Doğum Bilgisi (3. Baskı), Yargıcıoğlu Matbaası, Ankara 1978, 438.
6. Kika, K., and Matuda, I.: Primary tubal hydatidiform mole, Obst. Gynec. **9**: 224, 1957.
7. Menteşoğlu, S.: Tubal mol hidatiform, Dirim, **XLVIII**: 190, 1973.
8. Meyer, A. W.: Hydatidiform degeneration in tubal pregnancy: a report of forty eight cases, Surg. Gynec. Obst. **28**: 293, 1919.
9. Yavuz, H.: Kadın Genital Kanserleri. (1. Bası) Yargıcıoğlu Matbaası, Ankara 1978. 365.

Erişkin Humerus Alt Ucu Kırıkları

Dr. Nasır Özdemir* / Dr. Ümit Akkoyunlu* / Dr. Yaser Muşdal*
Dr. Şakir Memikoğlu* / Dr. Faruk Balkar**

Dirsek eklemi ve onun bütün anatomik oluşumları bir ahenk içinde çağ-
ışarak el ve kol fonksiyonlarına yardımcı olmaktadır. Humerus distal ucunda meydana gelecek kırıklar uygun ve yeterli metotlarla tedavi edilmediği takdirde, dirsek hareketlerinin önemli ölçüde bozulmasına yol açacaktır.

Ülkemizde hastaların bazen ehliyetsiz ellerde tedavi görmeleri ö-
nemli sakatlıklara yol açmaktadır. Ayrıca bu sakatlıkların, en verimli dö-
nemini yaşayan kişilerde olması önemli ölçüde iş ve güç kaybına sebep
olmaktadır. Bu nedenleri göz önünde tutarak aşağıdaki araştırmayı ya-
yınlamayı uygun gördük.

Materiel ve Metot

1968-1977 yılları arasında Üniversitemiz hastanesinde tedavi edilen 75 dirsek kıraklı vakanın çağrırmıza uyarak kontrola gelen 58 vakadan humerus distal ucu kırığı olan 41'i incelenerek değerlendirilmiştir. Literatürdeki araştırmalara uygun olarak humerus distal ucu kırıklarını anatomik özelliklerine göre, interkondiller, kondil kırıkları, eklem yüzü kırıkları ve epikondil kırıkları olmak üzere 4 ayrı grupta inceledik.

Kontrola gelen hastaların klinik muayeneleri yapılarak, dirsek hareketleri ölçüldü. Bu bulguların değerlendirilmesi Riseborough ve Radin tarafından geliştirilen metoda göre yapıldı. Böylece:

İyi: Herhangi bir yönde 10 dereceden az hareket kaybı, hastanın şikayeti yok.

Orta: Herhangi bir yönde 30 dereceye kadar hareket kaybı, minör şikayetler veya her ikisi.

* Hacettepe Üniversitesi Tıp Fakültesi Ortopedi ve Travmatoloji Bilim Dalı Öğretim Üyesi.

** Aynı Fakülte Ortopedi ve Travmatoloji Bilim Dalı Uzmanı.

Kötü: Herhangi bir yönde 30 dereceden fazla hareket kaybı major şikayetler veya her ikisi.

Minor şikayetler, sorulan sorularla ortaya çıkarılan subjektif şikayetlerdir. Major şikayetler ise fonksiyonel kusuru veya sabit deformiteyi ifade etmektedir. Hastaların radyolojik muayenelerinde, yenilenen iki yönlü dirsek grafileri ile eski radyolojik bulgular karşılaştırılarak değerlendirildi.

Bulgular

Araştırmamızın kapsamına giren 41 vakanın ortalama takip süresi 4-5 yıldır (en kısa 3 ay en uzun 9 yıl).

I. Humerus İnterkondiler Kırıkları

41 vakanın 7 sinde (% 19.6) interkondiler kırık vardı, bunların 3 ü kadın 4 ü erkekti, yaşıları 20-45 arasında idi. (Ortalama 29.8 yaş) Kırıkların 4 ü trafik kazası, 2 si dirsek üzerine düşme ve biri direkt darbe sonucu olmuştu.

Vakalardan sadece biri kaza günü, 3ü kazadan 5-10 gün sonra tedaviye alınmıştır. 2 si de önce başka hastanelerde tedavi edilmiştir. Vakalardan biri ise 2 ay hiç tedavi görmeden baş vurmuştur. Hiçbir vakada damar ve sinir injurisi yoktu, vakaların 4 üne traksiyon 2 sinde alçı ile tedavi yapılmıştı. Hiçbir vakada (iyi) sonuç alınmadığı, 2 vakada ise (orta) sonuç elde edilmiştir. Bunlarda biri alçı ile diğerinin ise kırıktan 10 gün sonra traksiyon ile tedavi edilmiştir. 5 vakada ise (kötü) sonuç elde edilmiştir (Tablo I).

TABLO I

İnterkondiller Kırık Tipi	Yaş	Cins	Tedavi Görenler	Alçı	Traksiyon	Sonuç
T Tipi	27	E	+	-	+	Orta
Y "	41	K	+	-	+	Kötü
Y "	40	K	+	+	-	Orta
T "	31	E	+	-	+	Kötü
T "	21	E	+	-	+	Kötü
T "	20	E	(-)	-	-	Kötü
Y "	30	K	+	+	-	Kötü

Traksiyon uygulanan vakalardan 2 sinde degeneratif artrit (% 28.6) bir vakada meyosis ossifikans (% 14.3). 2 vakada kubitus valgus deformitesi (% 28.6) görüldü.

Alçı tedavisi uygulanan her 2 vakada dejeneratif artrit (% 28.6), hiç bir tedavi görmeyen tek vakamızda ise miyozitis ossifikans görüldü.

II. Humerus Kondil Kırıkları

41 vakanın sadece birinde (% 2.5) kondil kırığı vardı. Bu vakada tip II. medial kondil kırığı ve eski radius başı çıkışının kırığı vardı. Dirsek üzerine düşme sonucu meydana gelen bu kırık aynı gün açık redüksiyon ve internal fixasyon ile tedavi edilmiştir. Bu vakada kırıktan önce 10-15 derecelik hareket kısıtlılığı vardı. Elde edilen sonuç (orta) idi.

III. Humerus Alt Uç Eklem Yüzü Kırığı

Vakalarımız arasında eklem yüzün kırığı yoktu.

IV. Humerus Epikondil Kırığı

Vakalarımızın 9unda (% 15.6) epikondil kırığı vardı. Bunlardan 6 si medial 3 ü lateral epikondil kırığı idi. Yaşları 20-25 arası olan medial epikondil kırıklı hastaların 5 i erkek biri kadındı (Tablo II).

TABLO II

Medial Epikondil Kırığı	Yaş	Cins	Ted. Önceki Zaman	Konservatif Tedavi	Cerrahi Tedavi	Sonuç
İzole kırık	20	E	Aynı gün	+	-	İyi
" "	24	E	Aynı gün	-	+	İyi
" "	20	K	1.5 ay	-	+	Orta
" "	21	E	Aynı gün	+	-	İyi
Radius başı kırığı ile birlikte	21	E	Aynı gün	+	-	İyi
Olekranon kırığı ile birlikte	25	E	Aynı gün	+	-	İyi

Lateral epikondil kırıklı 3 vakadan biri 53 yaşında kadın, 2 si ise 22 yaşında erkek hastalardır. 2 vaka konservatif metotla, diğer bir vaka bir ay konservatif tedaviden sonra fragmanın ekzisyonu ile tedavi edilmiştir. Her üç vakanın tedavisinden (iyi) sonuç alındı.

Tartışma

1968-1977 yılları arasında hastanemizde tedavi edilen ve değerlendirilmesi yapılan 58 dirsek kırıklı vakının 41 inde humerus distal uç kırığı vardı. Bunların 7 sinde interkondiler (% 41.2) kırık tesbit edilmişdir. Literatürde bu kırıkların dirsek kırıkları içinde az görüldüğü yayınlanmıştır.^{1, 2, 3}

Anderson ise kondiler kırıkların arasında interkondiler kırık olduğu nu rapor etmektedir.⁴ Ülkemizde trafik kazalarının diğer travmala ora-nla sık görülmesi, bu tip kırıkların sayısını artttırdığı kanaatindeyiz. İnterkondiler kırık vakalarımızın ortalama yaşı 29.8 dir, literatürde bu ortalama yüksektir.^{1, 2, 3, 5} Nitekim Müller bu ortalama yaşı 54 olarak göstermektedir.¹ Mayo kliniğinde yapılan bir araştırmada ortalama yaş 44 tür.⁶ Ülkemizde trafik kazalarının daha dinamik ve genç yaş gruplarında görülmesi bu sonucu etkilediği kanaatindeyiz. Ayrıca, bu kırıkların etyolojisinde trafik kazalarının literatüre uygun olarak birinci sırayı alması bu kanaatimizi doğrulamaktadır.^{1, 4, 7, 8, 9}

İnterkondiler kırıkların tedavisinde birçok ünlü araştırmacı konservatif tedaviyi tavsiye etmektedir.^{1, 2, 3, 8-12} Watson-Jones ve De-palma bu tip kırıklarda manipasyonla reduksiyon ve alçı immobilizasyonu önerirler. Eppright ve Wilkins ayrılmamış veya hafif ayrılmış karıklarda dirseğin 90 derece flexiyonunda kondiller üzerine baskı yapan alçı ile immobilizasyonu önerirler.³ Keon Cohen, az parçalı kırıklarda manipasyonla reduksiyonu sağladuktan sonra dirseğin akut flexionda immobilizasyonunu tavsiye etmektedir.⁸ Anderson, Eppright ve Wilkins, cerrahi müdahale riski taşıyan yaşı hastalarda, parçalı veya açık kırıklarda konservatif tedaviyi tavsiye ederler.^{3, 4} Bazı yazarlar da fazla parçalı kırıklarda iskelet traksiyonunu tavsiye etmektedirler.^{2, 3, 4, 8} Bizim vakalarımızın hepsinde literatüre uygun metotlarla konservatif tedavi uygulanmıştır (Tablo I).

Miller'in serisinde kapalı redüksiyonla tedavi edilen hastalarda sonuç olarak dirsekte ortalama 47 derece hareket olduğu belirtilmiştir.¹ Eppright ve Wilkins'e göre fazla parçalı kırıklarda traksiyonla hem redüksiyon sağlanabilir hem de erken harekete başlanabilir.³ Vakalarımızın % 71.4 içinde (kötü) sonuç elde edilmiştir. Traksiyon ile tedavi ettiğimiz vakaların ortalama 3-4 hafta traksiyonda tutulduktan sonra bir ay süre ile atelde immobilize edilmiştir. Bu tip kırıkların eklemi ilgilendirmesi, erken dirsek hareketlerine başlanamaması ve tedaviden hemen sonra yeterli exersizlerin uygulanmaması kanaatimizce kötü sonuç almamıza yol açmıştır.

Burri ve Rueter'in serisinde AO prensibi ile tedavi edilen 182 hastanın sadece bir kaç tanesinde tam fonksiyonel rekonstruksiyonun yapılabildiği ifade edilmektedir.¹⁰ Millerin açık redüksiyon uyguladığı vakalarda ise dirsekte ortalama 111 derecelik hareket sağlandığı belirtilmektedir.

Görlüyor ki fazla parçalı olmayan interkondiller kırıklarda açık redüksiyon ve sağlam internal fiksasyon ile tedavinin uygulanması daha iyi sonuç vermektedir.

Araştırmamazda 9 vakada humerus epikondil kırığı vardı (% 15.5). Bunların 5'i izole idi. Erişkinlerde esasen izole epikondil kırıkları seyrekтир.³ Watson-Jones sadece 2 vakada erişkin epikondil kırığını gördüğünü belirtmiştir.⁹

Epikondil kırığı olan vakalarımızda kırığın görülme sıklığı, kırık mekanizması, yaş, sinir komplikasyonları yönünden literatüre uyum göstermektedir.^{3, 8, 9, 12, 13} Yayınlarında medial epikondil kırığı ile birlikte ulnar sinir zedelenmesinden söz edilmektedir.^{3, 8, 9} Vakalarımızın sayıca azlığından bu tür komplikasyonlara rastlanmadığı inancındayız.

Ayrılmamış veya az ayrılma gösteren medial epikondil kırıklarında başta eppright ve Wilkins olmak üzere birçok araştırmacı konservatif tedavi tavsiye edilmektedir. De Palma, Keon-Cohen, ise kırık fragmanın ayrılma derecesine göre konservatif, kapalı redüksiyon veya açık redüksiyon metotlarının uygulanmasını tavsiye ederler.^{3, 8, 9, 12}

Tablo II de görüldüğü gibi, literatüre uygun olarak tedavi edilen medial epikondil kırıklı hastalarımızın hepsinde (iyi) sonuç elde edilmişdir. Sadece bir vakada, hastanın kırıktan 1.5 ay sonra baş vurması nedeniyle orta sonuç elde edilmiştir.

Lateral epikondil kırığı olan 3 vakamızda iyi sonuç elde edilmiştir. Bu bulguda literatüre uyum göstermektedir.^{3, 9, 12, 13, 14}

Özet

75 dirsek kırıklı vakada takip edilebilen 41'i incelendi. Bulgular Riseborough-Radin kriterlerine göre değerlendirildi. Sonuçlar tatminkar bulunmakla birlikte Humerus interkondiler kırıkların tedavisinde uyguladığımız immobilizasyon süresinin uzun olması, bazı kötü sonuçların görülmesine neden olmuştur.

Epikondil kırıklarında ise iyi sonuç elde etmemizin en önemli sebebi tedavide literatüre uygun metotları seçmemiz olmuştur.

KAYNAKLAR

- Miller, W. E.: Comminuted fractures of the distal end of the humerus in the adult. *J. Bone Joint Surg.* 46A: 644, 1964.
- Riseborough, E. J.: İntrecondylar T-fractures of the humerus in the adult. *J. Bone Joint Surg.* 51A: 130, 1969.
- Rock Wood, C.A. Fractures. V. I, 1 Philadelphia, J.B. Lippincott company, 1975.
- Crenshaw, A. H.: Campbells operative orthopaedics, ed. 5. st. Iauis. C. V. Mosby, 1971.
- Grimes, H. A.: Adult elbow injuries. *J. Arkansas medical Soc.*, 73: 388, 1977.
- Bickel, W. H., and Perr, R. E.: Comminuted fractures of the distal humerus. *J. A. M. A.*, 184: 553, 1963.

7. Henkemeyer, C. B., H., and Spier, W.: Results of operativ treatmet of intraarticular fractures of the distal humerus. *Acta Orthop. Belgica.* **41:** 227, 1975.
8. Keon-Cohen, B. T.: Fractures at the elboy. *J. Bone Joint Surg., 48A:* 1623, 1966.
9. Watson-Jones, R.: Krikler ve mafsal yaralanmaları (çeviri) Cilt I. AÜTF. yayınlarından, Sayı: 182, 1968.
10. Burri, C., and Rueter, A.: Results from a study of 182 surgucally treated patients with distal intraarticular comminuted fractures of the humerus. *Exccrpta Medica, Ortho. Surg., Sec. 33, Abst. No.:* 271 **22.1:** 45, 1977.
11. Cohn, I.: Fracutres of the elbow. *Amer. J. Surg., 55:* 210, 1942.
12. De. Palma, A. F.: Kırık ve çıkışlıkların tedavisi (çeviri) Cilt 1, AÜTF yayınlarından Sayı: 277, 1973.
13. Ege, R.: Hareket sistemi travmatolojisi, AÜTF yayınlarından, Sayı: 250, 1971.
14. Farr, R. S.: Fractures of the elbow. *New York J. Med., 40:* 1288, 1940.

Sağ Ventrikül Hipertrofisi ve Sağ Dal Blokunun Vektör Kardiyografik Tanımlanması

Dr. Ferkan Demircioğlu* / Dr. Aydın Karamehmetoğlu** /
Dr. Erdem Oram** / Dr. Gürler İliçin** / Dr. Güner Gürsel**
Dr. Aysel Oram**

Giriş

Sağ ventrikül büyümesinin hafif dereceleri elektrokardiyogramda önemli belirti vermez; zira, sol ventrikül serbest cidarının elektriği kuvvetlerini baskı altına alamaz.^{1,2} Sağ ventrikül duvar kalınlığı sol ventrikül duvar kalınlığına ulaşır ve geçerse; sağ ventrikül kuvvetleri üstün gelir. Ancak o zaman, oniki derivasyonlu bir elektrokardiyogram (EKG) da tipik sağ ventrikül hipertrofi bulguları tesbit edilebilir.^{3,4}

Elektrokardiyogramda belirmeyen erken sağ ventrikül hipertrofi bulguları vektörkardiyogramda görülebilir.

Milnor,⁴ Pipberger,⁵ Simonson,⁶ ve Hugenholtz,⁹ son senelerde vektörkardiyogram (VKG) ile bu konuyu aydınlatan kıymetli çalışmalar yapmışlardır. Bu alanda geniş çalışmaları olan Techuan Chou ve arkadaşları,⁸ vektörkardiyogramda sadece sağ hipertrofinin önemine göre değil, hattâ hastalığın etioloji ve hemodinamik bulgularına göre de değişik şekillerde QRS ve T halkalarına rastlandığını iddia etmişlerdir.

Elektrokardiyogram ile her zaman rahathıkla değerlendirilemeyen bir diğer konu da sağ ventrikül hipertrofisi ile sağ dal blokunun birbirlerinden ayırt edilmesi ve hipertrofi ile dal blokunun beraber olduğu vakaların tanımlanmasıdır. Zira her ikisinde de elektrokardiyogramın V₁ derivasyonunda rR', yüksek R veya rsR' kompleksi görülmektedir.

Bu çalışmada sağ ventrikül hipertrofisi ile sağ dal blokunu birbirinden ayırdetmede vektörkardiogramın ne derece faydalı olabileceği

* Hacettepe Üniversitesi Tıp Fakültesi Kardiyoloji Bölümü Öğretim Görevlisi.

** Hacettepe Üniversitesi Tıp Fakültesi Kardiyoloji Bölümü Öğretim Üyesi.

araştırıldı. Bu maksatla yalnız sağ ventrikül hipertrofisi ve yalnız sağ dal bloku olan vakaların vektörkardiogramlarında ayırcı taniya yardımcı bazı parametreler karşılaştırmalı olarak incelendi. İkisinin birbirine benzer, birbirinden farklı bulguları tartışıldı. Sağ ventrikül hipertrofisi ile sağ dal blokunu içeren vakaların vektörkardiogramları da ayrıca incelendi. Literatür taramasında sağ dal bloku ile beraber, sağ^{9, 10} ve sol^{11, 12} ventrikül hipertrofisi vektörkardiogram bulguları üzerinde görüş birligi olmadığı görüldü. Bulgular, bu çelişen literatür sonuçlarının ışığında değerlendirildi. Ayrıca sağ dal blokuna ek olarak sol ön üst dalcık bloku gösteren 5 vakanın vektörkardiogramı da incelendi.

Materiel ve Metot

Bu çalışmamızda, Hacettepe Tıp Fakültesi Kardiyoloji bölümünde müracaat eden 55 vakanın elektrokardiogramı ve vektörkardiogramlarını inceledik. 20 sinde sağ ventrikül hipertrofisi, 20 sinde sağ-dal bloku, 10 unda sağ ventrikül hipertrofisi ile beraber sağ dal bloku, 5 inde sağ dal bloku ile sol ön üst dalcık tanısını klinik muayene, üç yönlü kalp grafisi ve EKG ile koyduk.

Hastalarımızdan 12 sinde hemodinamik çalışma ile, 4 unde de ameliyatla, 4 unde de hem hemodinamik çalışma, hem de ameliyatla sağ ventrikül hipertrofisinin varlığı kesin olarak saptandı. Sağ dal bloklu hastaların hiçbirinde fizik muayenede ve de 3 yönlü kalp grafilerinde sağ ventrikül hipertrofisi mevcut değildi. Sağ dal bloku ile myokard infarktüsü olan vakaları çalışmamız içine dahil etmedik. Bütün vakalarımız 10 ile 80 yaş arasında olup, ortalama yaşı 38 idi. Sağ ventrikül hipertrofili hastaların yaşı 10-38 arasında olup, ortalama 24 idi.

Sağ dal bloku hastaların yaşı 18-78 olup, ortalama 52 idi. Sağ ventrikül hipertrofili vakaların 11 i kadın, 9 u erkek, sağ dal bloku vakaların ise 7 si kadın, 13 ü erkekti.

Etyolojik neden olarak; sağ dal bloku hastaların 9 u arteriosklerotik kalp hastalığı, 7 si kronik corpulmonale, 4 ü başka nedenlerle hastaneye müracaat etmişti ve rutin olarak çekilen EKG lerinde sağ dal blokuna rastlanılmıştı.

Sağ ventrikül hipertrofili hastaların 9 unda romatizmal kalp hastalığı (mitral darlığı), 11 inde konjenital kalp hastalığı (Pulmoner darlık, Fallot tetralojisi, atrial septal defekt, Eisenmenger kompleksi) vardır.

Vektörkardiogramlar Grishman¹³ in Cube sistemi ile Sanborn visoscopu, Du Mont oscilloscopic kamerası yardımı ile polaroid tip 107 filmine çekildi. VKG değerlendirmesini frontal ve horizontal planlar üzerinde yaptık. Sagittal plan projeksiyonu bu çalışmaya ışık tutmadığı

icin inceleme disi bırakıldı. Sağ dal bloku ve sağ ventrikül hipertrofisi bulgularını Grishman ve arkadaşlarının vektörkardiografik kriterleri ile değerlendirdik.^{14, 15}

İstatistikî hesapların önemi için student's t testi uygulandı.¹⁶

Metot

Sağ ventrikül hipertrofisinde ve sağ dal blokunda aşağıdaki parameteleri inceledik. Sağ dal blokunda QRS halkası iki ayrı yöne gidiş gösterdiğinden maksimal vektör deyimi yerine inisyal maksimal ve terminal maksimal deyimleri kullanıldı.

A. Horizontal Planda

- 1) QRS halkasının gidiş yönünü,
- 2) QRS halkasının maksimal vektörünün yönünü (sağ dal blokunda inisyal maksimal ve terminal maksimal vektörlerin yönünü),
- 3) QRS halkasının yarı alan vektörünün yönünü,
- 4) 0.03 sn, 0.04 sn. 0.05 sn. lik vektörlerin ayrı ayrı yönlerini,
- 5) T halkasında maksimal ve yarı alan vektör yönünü,
- 6) Maksimal vektörün milivolt (mV.) olarak değerini inceledik.

B. Frontal Planda

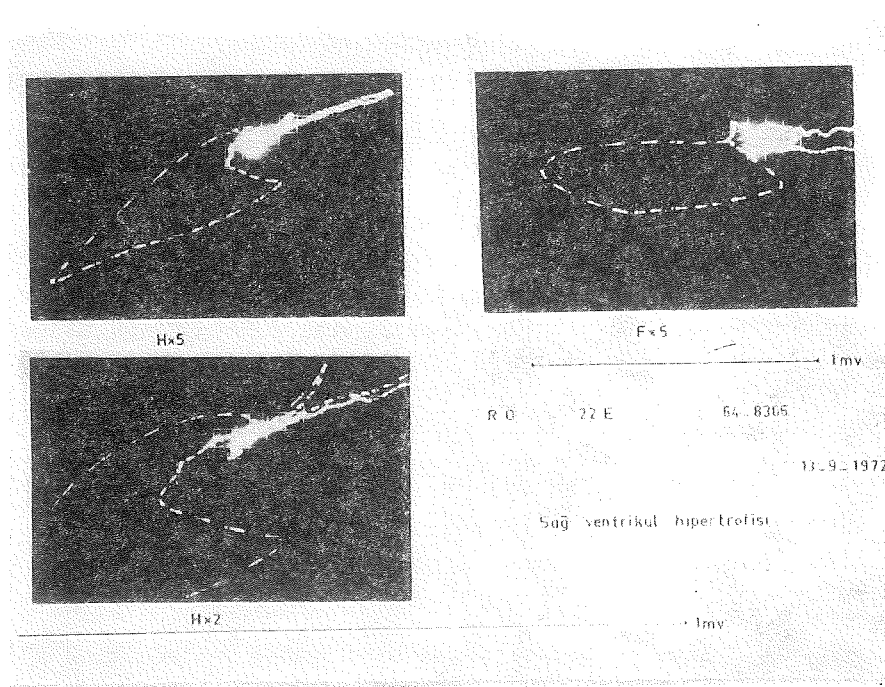
- 1) QRS halkasının gidiş yönünü,
- 2) QRS halkasının maksimal vektörünün yönünü (sağ dal blokunda inisyal maksimal ve terminal maksimal vektörlerin yönünü),
- 3) QRS halkasının yarı alan vektörünün yönünü,
- 4) T halkasında maksimal ve yarı alan vektör yönünü,
- 5) QRS halkasının maksimal vektörünün mV. olarak değerlerini inceledik.

Bulgular

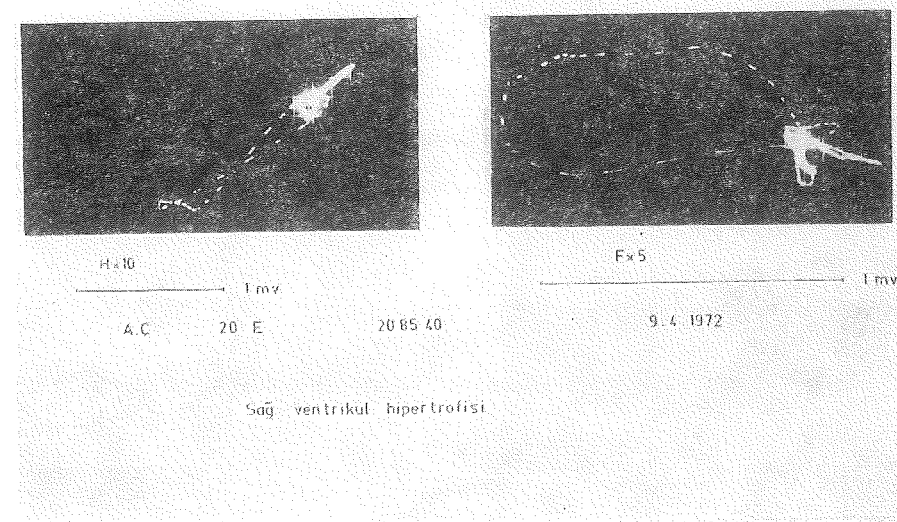
Sağ Ventrikül Hipertrofisinde Vektörkardiogram Bulguları
(Tablo I, Şekil 1, 2 de gösterilmiştir).

A. Horizontal Planda

- a) QRS halkasının



Şekil 1



Şekil 2

TABLO I
SAĞ VENTRIKÜL HIPERTROFİLİ HASTALarda VEKTÖRKARDİOGRAM BULGULARI

Adı Soyadı	Yaş Cins	Horizontal Plan						Frontal Plan					
		QRS Halkasının Ağları (Derece cinsinden)			T Halkasının Maksimal Vektör* (derece cinsinden)			QRS Halkasının Maksimal Vektörün Ağları (*)			T Halkasının Maksimal Vektör* (derece cinsinden)		
		Maksimal Vektör	Yarı alan Vektörü	0.03 sn. Vektörü	0.04 sn. Vektörü	0.05 sn. Vektörü	0.05 sn. Vektörü	Maksimal Vektörün Vektör (MV)	Maksimal Vektör (derece cinsinden)	Maksimal Vektörün Yarı alan Vektör	Maksimal Vektör (derece cinsinden)	Maksimal Vektör (derece cinsinden)	Maksimal Vektör (derece cinsinden)
1. H.T.	25 K	128	124	103	126	130	0.52	-27	133	125	0.43	28	
2. D.G.	16 K	97	97	103	128	0.39	-30	87	87	0.23	49		
3. M.Y.	33 E	120	100	109	120	117	0.40	-70	155	90	0.23	70	
4. M.Y.	38 K	116	135	114	122	139	0.36	-22	97	119	0.69	65	
5. A.Ç.	20 E	144	138	135	142	144	1.13	-35	180	80	1.00	20	
6. A.R.	16 K	143	136	128	145	155	0.62	-25	127	119	0.86	16	
7. K.B.	25 K	152	145	152	152	152	0.50	-16	164	156	0.53	66	
8. E.K.	19 K	114	114	97	114	123	0.73	-64	187	194	0.36	65	
9. İ.P.	25 E	95	91	89	101	140	1.05	-90	70	80	0.43	80	
10. S.K.	31 K	151	151	145	151	156	0.59	-21	195	200	0.57	5	
11. M.K.	35 K	108	100	85	100	112	0.60	-75	85	82	0.55	73	
12. F.P.	18 K	113	110	99	113	145	0.72	-80	126	126	0.54	67	
13. Ö.R.	16 E	100	79	95	95	115	0.65	-46	97	82	0.38	44	
14. E.K.	10 E	99	99	95	108	117	0.53	-10	121	150	0.64	30	
15. S.T.	29 E	150	98	119	136	150	0.68	-25	75	96	0.68	84	
16. N.S.	25 K	94	94	97	105	107	0.71	-23	85	80	0.73	76	
17. S.T.	18 E	144	140	126	140	145	1.00	-20	170	170	0.86	2	
18. R.Ö.	22 E	146	143	111	132	145	0.89	-16	173	159	0.75	10	
19. F.G.	38 K	124	85	65	124	138	0.18	-21	60	75	0.27	9	
20. A.O.	16 E	155	155	148	156	155	0.45	-19	170	185	0.36	30	
Ortalama		125	117	111	124	136	0.64	-37	128	123	0.55	45	

* T Halkasında maksimal vektör açısı her vakumda yarı alan vektör açısına eşit bulunmaktadır.

- 1) Gidiş yönü: 14 vakada saat yönünde dönen, öne ve sağa yönelen, 6 vakada ise önce saatin aksi yönünde, sola doğru, sonra saat, yönünde sağa doğru yönelen QRS halkası vardı.
- 2) Şekli: 13 vakada oval, 3 vakada yuvarlak, 4 vakada 8 şeklinde QRS halkasına rastlandı.
- 3) Maksimal vektörü: $+ 94^\circ$ ile $+ 155^\circ$ arasında olup, ortalama $125 \pm 4.9^\circ$ idi.
- 4) Yarı alan vektörü: 85° ile $+ 155^\circ$ olup, ortalama $117^\circ \pm 5.4^\circ$ idi.
- 5) Maksimal vektörün voltajı $0.18\text{-}1.13$ mV. olup, ortalama 0.64 ± 0.052 mV. idi.
- 6) 0.03 sn. vektörü $+ 65^\circ$ ile $+ 148^\circ$ olup, ortalama $111^\circ \pm 5.2^\circ$ idi.
- 7) 0.04 sn. vektörü $+ 95^\circ$ ile $+ 151^\circ$ arasında olup, ortalama $127^\circ \pm 35^\circ$ idi.
- 8) 0.05 sn- vektörü $+ 112^\circ$ ile $+ 155^\circ$ arasında olup, ortalama $136 \pm 3.5^\circ$ idi.
- 9) T halkasında; maksimal vektör, yarı alan vektörüne eşit olup, -10 ile -90° ortalama $-37^\circ \pm 5.5^\circ$ idi.

B. Frontal Planda

- a) QRS halkasının
 - 1) Gidiş yönü: 18 vakada saat yönünde, 2 vakada saatin aksi yönde gidiş vardı. 16 vakada halka aşağıda, 9 unda sağda, 7 sinde solda, 4 vakada ise solda ve yukarıda yer alıyordu.
 - 2) Şekli: 8 vakada oval, 7 vakada yuvarlak, 5 vakada 8 şeklinde QRS halkasına rastladık.
 - 3) Maksimal vektörü $+ 60^\circ$ ile $+ 195^\circ$ ortalama $128^\circ \pm 9.7^\circ$ idi.
 - 4) Yarı alan vektörü $+ 75^\circ$ ile $+ 200^\circ$ arasında olup, ortalama $123^\circ \pm 9.5^\circ$ idi.
 - 5) Maksimal vektörün voltajı, 0.27 ile 1 mV. arasında olup, ortalama 0.55 ± 0.051 mV. idi.
 - b) T halkasında maksimal vektör, yarı alan vektörüne eşit olup, $+ 5^\circ$ ile $+ 66^\circ$ arasında, ortalama $+ 45^\circ \pm 6.4^\circ$ idi.

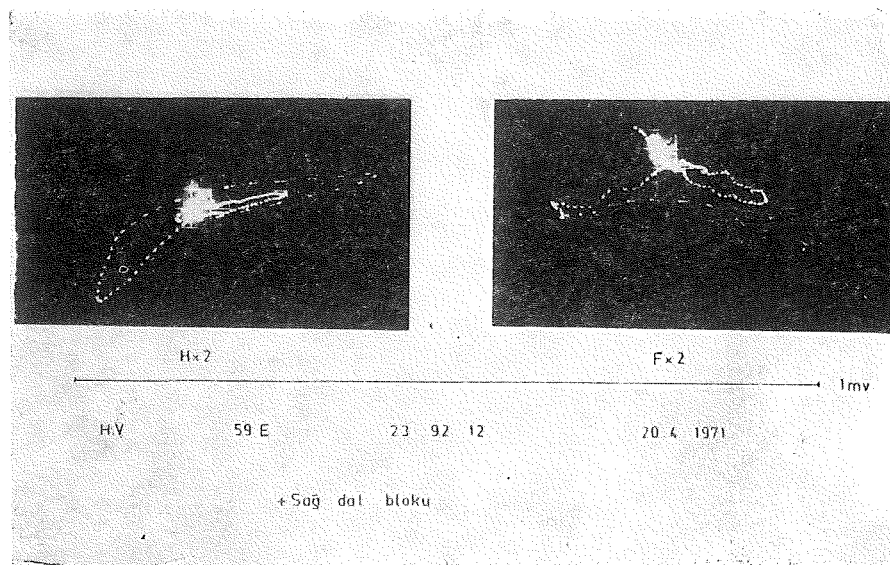
Sağ dal blokunda vektörkardiogram bulguları

(Tablo II, Şekil 3) de gösterilmiştir.

TABLO II
SAĞ DAL BLOKLU HASTALarda Vektörkardiogram Bulguları

Adı Soyadı	Yaş Cins	Horizontal Plan						Frontal Plan					
		QRS Halkasının Açıları (Derece cinsinden)			T Halkasının Maksimal Vektör*			QRS Halkasının Maksimal Vektör*			T Halkasının Maksimal Vektör*		
		Maksimal Vektör Vektör	Terminali Yananan Vektörü	0.03 sn. 0.04 sn. Vektörü	Maksimal Vektörin Vektör	0.05 sn. Vektörü	Voltajı (MV)	Maksimal Vektör*	(Derece cinsinden)	Maksimal Vektörin Vektör	Maksimal Vektör*	(Derece cinsinden)	Maksimal Vektör*
1. H.U.	70 E	-27	114	32	-20	-25	-28	0.39	-50	-45	180	100	0.43
2. E.M.	52 K	-10	118	25	-4	-8	-10	0.22	-51	-40	174	69	0.34
3. Y.D.	50 E	-15	128	-15	-15	-24	-38	0.45	-15	-9	174	100	0.39
4. M.O.	62 E	-20	107	-3	+ 5	-17	-24	0.57	-54	36	153	97	0.60
5. B.Ö.	52 E	-15	138	28	+ 7	-7	-12	0.60	29	30	180	39	0.52
6. A.B.	56 K	-8	124	20	-3	-11	+10	0.23	-23	7	172	33	0.24
7. Y.S.	18 K	-7	136	56	-3	-7	-5	0.31	0	7	205	81	0.29
8. G.G.	22 K	0	124	60	+ 5	2	10	0.35	-41	44	173	99	0.47
9. N.O.	60 K	2	122	70	8	2	10	0.19	-43	8	171	77	0.21
10. H.Ö.	50 K	-2	140	23	0	-2	12	0.31	-22	28	186	100	0.29
11. H.Y.	70 E	-16	139	32	1	-16	-10	0.54	-36	19	185	78	0.39
12. M.C.	34 E	-17	164	48	7	-15	-22	0.30	-43	39	175	75	0.29
13. F.S.	36 K	-4	95	45	-7	-10	5	0.30	-49	21	102	60	0.36
14. A.Q.	19 E	-15	120	71	7	-15	-5	0.25	-49	31	125	41	0.39
15. H.M.	59 E	-16	127	43	-15	-20	-25	0.24	-26	23	158	51	0.31
16. Y.U.	60 E	-6	149	60	-2	-7	-40	0.46	-23	26	184	25	0.41
17. M.K.	60 E	-14	120	34	-2	-8	-3	0.41	-26	36	160	36	0.26
18. R.O.	60 E	-12	125	36	-6	-12	-28	0.28	-32	75	175	32	0.28
19. Y.A.	68 E	-17	124	66	-17	-5	+10	0.31	-40	20	200	80	0.06
20. H.T.	78 E	7	117	68	0	5	15	0.16	-53	0	147	95	0.17
Ortalama		-10	124	40	-3	-10	-9	0.35	-35	19	170	68	0.34
													24

* T Halkasında maksimal vektör açısı, her vekamızda yarı alan vektör açısına eşit bulunmuştur.



Şekil 3

A. Horizontal Planda

a) QRS halkasının

1) Yönü: İnisyal vakaların çoğunda (18 vaka) saatin aksi yönünde gidiş, azında (2 vaka) saat yönünde gidiş gösteriyordu. Vakaların büyük kısmında (16 vaka) halkanın sola arkaya, azında (4 vaka) sola öne doğru yöneldiğini gördük. QRS halkasının orta kısmı 16 vakada öne, 4 vakada arkaya doğru gidiş gösteriyordu. Terminal kısmı vakaların önemli çögünlüğündə (13 vaka) saat yönünde, daha azında (7 vaka) ise saatin aksi yönünde dönüş gösterip önde ve sağda yer alıyordu.

2) İnisyal maksimal vektör -20° ile 10° , ortalama $-10^\circ \pm 1.9^\circ$ idi.

3) Terminal maksimal vektörü, $+ 107^\circ$ ile $+ 149^\circ$ arasında olup, ortalama $124^\circ \pm 3.4^\circ$ idi.

4) Yarı alan vektörü -15° ile $+ 68^\circ$ olup, ortalama $+ 40^\circ \pm 5.2^\circ$ idi.

5) Maksimal vektörün voltajı $0.16 - 0.60$ mV. arasında olup, ortalama 0.35 ± 0.028 mV. idi.

6) 0.03 sn. vektörü 8° ile -20° olup, ortalama, $-3^\circ \pm 1.9^\circ$ idi.

7) 0.04 sn. vektörü $+ 2^\circ$ ile -25° arasında olup, ortalama $-20 \pm 3^\circ$ idi.

8) 0.05 sn. vektörü, $+ 5^\circ$ ile -25° olup, ortalama $-9^\circ \pm 5^\circ$ idi.

T halkasında maksimal vektör yarı alan vektörünü eşit, 0° ile -50° arasında olup, ortalama $-35^\circ \pm 3.25^\circ$ olarak tesbit edildi.

Sağ Ventrikül Hipertrofili ve Sağ Dal Bloklu Vakaların Vektörkardiyogram Bulgularının Karşılaştırılması

A. Horizontal Planda

a) QRS halkası

1) Yarı alan vektörünün yönü:

Sağ ventrikül hipertrofisi	Sağ dal bloku
% 85 (17 vaka)	% 10 (2 vaka) > 90°
% 15 (3 vaka)	% 80 (16 vaka) < 90°

olup önemli bulunmuştur ($P < 0.001$).

2) Sağ ventrikül hipertrofisinde maksimal vektör $+94^\circ$ ile $+155^\circ$ arasında ortalama $+125^\circ \mp 4.9^\circ$: sağ dal blokunda inisyal maksimal vektör $+10^\circ$ ile -30° , ortalama $-10^\circ \mp 1.9^\circ$ olup, aralarında önemli fark vardır ($P < 0.001$). Sağ dal blokunda terminal maksimal vektör $+107^\circ$ ile 149° , ortalama $124^\circ \pm 3.4^\circ$, aralarında önemli bir farka rastlanmadı ($P > 0.05$).

3) 0.03 sn. lik vektörlerin yönü.

Sağ ventrikül hipertrofisi	Sağ dal bloku
% 85 (17 vaka)	% 0 > 90°
% 0	% 100 20° ile -30°

önemli bir fark vardır ($P < 0.001$).

4) 0.04, 0.05 sn. vektörlerinin yönü: Sağ ventrikül hipertrofili bütün vakalarda 90° den büyük olduğunu, sağ dal blokunda $+20^\circ$ ile -30° arasında yer aldığınoticedi. Önemli bulunmuştur ($P < 0.001$).

5) a) Maksimal vektörün voltajı: Sağ ventrikül hipertrofisinde 0.64 mV ∓ 0.052 mV. olup, genellikle 0.05 mV.dan büyuktur. Sağ dal blokunda 0.035 ∓ 0.028 mV. olup, genellikle 0.50 mV.den küçütür. ($P < 0.001$ önemli bulunmuştur.)

b) T halkasında maksimal (yarı alan) vektörlerin yönü hususunda sağ ventrikül hipertrofisi ve sağ dal blokunda önemli bir fark bulunamadı ($P > 0.05$).

B. Frontal Planda

a) QRS halkasının

1. Yarı alan vektörünün yönü:

Sağ ventrikül hipertrofisi	Sağ dal bloku
% 65 (13 vaka)	% 30 (16 vaka) > 90°
% 35 (7 vaka)	% 70 (14 vaka) < 90°

öneMLİ bir fark mevcuttur. ($P < 0.001$).

2. Maksimal vektörün yönü:

Sağ ventrikül hipertrofisi	Sağ dal bloku
	(İnisyal maksimal vektör)
% 70 (14 vaka)	% 0 > % 0°

% 0 % 85 (17 vaka) 0-45°

öneMLİdir, ($P < 0.001$).

3. Maksimal vektörün voltajı:

Sağ ventrikül hipertrofisi	Sağ dal bloku
% 70 (14 vaka)	% 25 (5 vaka) > 0.40 mV.
% 25 (5 vaka)	% 75 (15 vaka) < 0.40 mV.

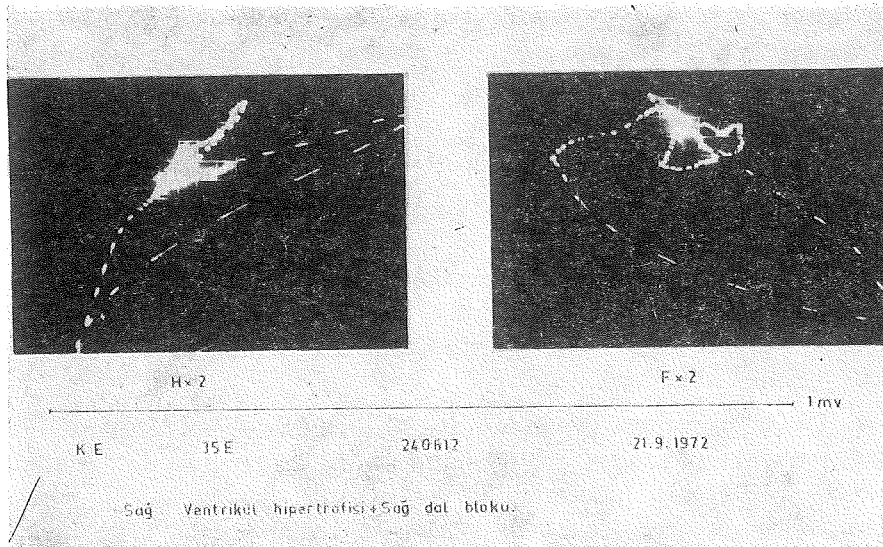
az öneMLİdir ($P < 0.005$).

4. Sağ ventrikül hipertrofisinde maksimal vektör $+ 128^\circ \mp 9.7^\circ$ olup, sağ dal blokunda terminal maksimal vektör $+ 170^\circ \mp 5.7^\circ$ olup aralarında az öneMLİ fark vardır ($P < 0.005$).

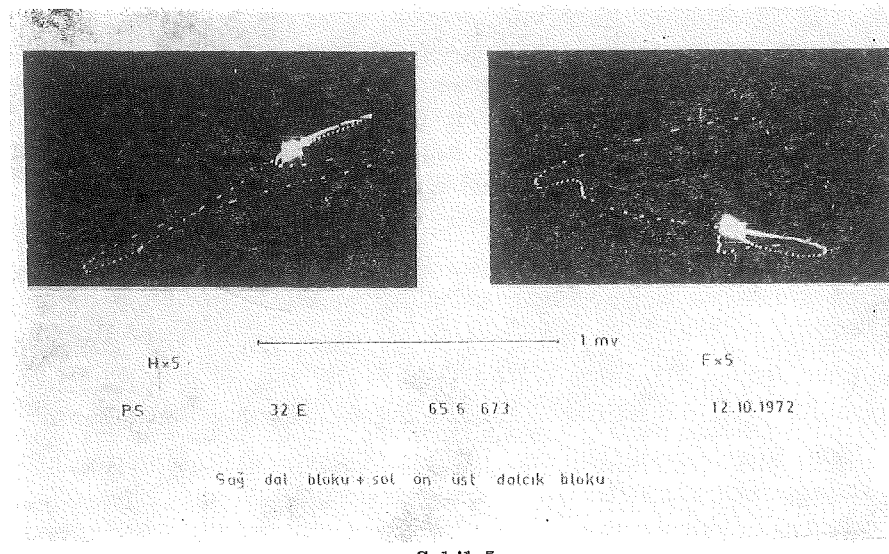
5. T halkasının maksimal (yarı alan) vektörlerinin yönü hususunda sağ ventrikül hipertrofisi ile sağ dal blokunda az öneMLİ fark bulundu ($P > 0.05$).

Sağ ventrikül hipertrofisi ile sağ dal blokunu içeren 10 vakanın vektörkardiogram tatkikinde; esas patolojinin sağ dal bloku olduğunu, hipertrofinin derecesine göre QRS halkası inisyal kısmının öne yöneldiği ni gördük. Halkanın iletim gecikmesini gösteren terminal kısmında, noktaların birbirine yaklaşması iki planda da görülmektedir. Dal blokunun varlığından bahsetmek için en az 2 planda noktaların birbirine yaklaştığını göstermek gereklidir (Şekil 4).

Literatürde,¹¹ sağ dal blokunun varyantı olarak tarif edilen şeKLİN, sağ dal bloku ile sol ön üst dalcık blokuna ait olduğu çalışmalarımızda gösterildi. EKG da sağ dal bloku ile sol ön üst dalcık bloku gösteren 5 vakanın vektörkardiogramı incelendi. Horizontal planda QRS halkasının sağ dal bloku şeKLİNde olduğu, frontal planda ise halkanın sağ dal blokunun aksine olarak yukarıda yer aldığı, saatin aksi yönde döndüğü ve terminal kısımda iletim gecikmesinin var olduğu saptandı (Şekil 5).



Şekil 4



Sekil 5

Tartışma

Sağ ventrikül hipertrofisi ile sağ dal blokunu elektrokardiogramda birbirinden ayırdetmek her zaman kolay olmamaktadır. Her ikisinde de birbirine benzer EKG görünümü bulunabilir.^{4, 14} Özellikle bu iki hadisenin beraber olduğu hallerde elektrokardiogram fazla yardımcı olmamak-

ların birbirine yaklaşması şeklinde görülür. Sağ dal bloklu bir vektörkardiogramda nokta sayısı artmıştır. Nokta sayısı artmayan vakalarda sağ dal blokundan söz etmek yersizdir. QRS halkasının inisyal kısmının çizilişi tamamen normal olabilir.

Sağ dal blokunda QRS halkasının inisyal ve terminal kısımları birbirine karşıt iki bölgeye yöneldiği için tek bir maksimal vektörden bahsedilemez. QRS halkasının gidiş şekline göre inisyal maksimal ve terminal maksimal vektörlerden bahsedilmektedir.

Bu çalışmada QRS halkasının inisyal maksimal vektörünün sola, arkaya, terminal maksimal vektörün sağa, öne yöneldiğini, T halkası maksimal vektörünün terminal QRS halkasına karşı yönde yer aldığı saptadık. Görüldüğü gibi bulgularımız Baydar³³ın bulguları ile korelasyon göstermektedir. Sağ dal blokunda erken QRS vektörleri 0.03, 0.04, 0.05 sn. vektörlerinin sola ve arkaya yöneldiğini izledik. Literatürde bu hususta birçalışmaya rastalanılmadı. Vakalarımızda 0.03, 0.04, 0.05 sn. vektörlerinin sağ blokunda sola, yukarı, sağ ventrikül hipertrofisinde sağa ve aşağı yöneldiği görüldü. Sağ ventrikül hipertrofisi ile sağ dal blokunu ayırdetmekte 0.03, 0.04, 0.05 sn. vektörlerinin ölçülmesinin önemli olduğu kanaatindeyiz. Maksimal ve yarı alan vektörleri ile birlikte 0.03, 0.04, 0.05 sn. vektörleri tayininin sağ ventrikül hipertrofisi ile sağ dal blokunun tanımlanmasında önemli olacağını göstermektedir.

Ayrıca frontal planda, sağ ventrikül hipertrofisi olan vakaların önemli bir kısmında maksimal ve yarı alan vektörlerinin 90° den büyük, sağ dal blokunda ise 90° den küçük olmasının vektörkardiografik yorumda dikkati çeken bir bulgu olduğu kanaatindeyiz.

Vektörkardiogram, sağ ventrikül hipertrofisi ile sağ dal blokunu içeren vakaların tanımlanmasında da önemlidir. Bu konuda muhtelif yazarların kanaati değişiktir. Milnor⁴ sağ ventrikül bulgularının vektörkardiographa hakim olduğunu ileri sürmüştür. Gardberg,³⁴ de Rio ve Sodi Pallares²³ ise QRS halkasının şeklini hipertrofiden çok blokun tesir ettiğini, zira blok kaybolduğu zaman vektörkardiogramın şeklinin değiştiğini ileri sürmüştür.

Baydar,³³ patolojinin en iyi horizontal planda görüldüğünü, sağ dal blokunun QRS in şekline tesir eden faktör olduğunu ileri sürerek sağ ventrikül hipertrofisinin derecesine göre halkanın öne doğru yer değiştirdiğini gösterdi. Bizim bulgularımız da Baydar'ın neticelerini desteklemektedir. Sağ dal bloku ile sağ ventrikül hipertrofisini içeren vektörkardiogramda horizontal planda QRS halkasının inisyal kısmı hipertrofinin derecesine göre öne yönelmektedir. Hafif hipertrofide inisyal kısmın saatin aksi yönde, ileri hipertrofide ise saat yönünde dönüş gösterdiğini saptadık

(Şekil 4). QRS halkasının terminal kısmında iletim yavaşlaması olduğu, zira bu bölgede noktaların birbirine yaklaşığı her iki planda da görülmektedir. Yalnız tek bir planda noktaların birbirine yaklaşmış olması her zaman iletimde gecikme anlamına gelmez.

Çizimin o plana dik veya dike yakın geldiği durumlarda da noktaların terminal yavaşlaması olabilir. Bu yönden sağ dal bloku varlığını söyleyebilmek için noktaların birbirine yaklaşmış olduğunu en az iki planda göstermek gereklidir. Hiçbir vektörkardiografik tetkikte bu noktanın ihmali edilmemesi kanısındayız.

Sonuç

Sağ ventrikül hipertrofisi olan 20 vaka ve sağ ventrikül hipertrofisi olmadan sağ dal bloku gösteren 20 vakanın vektörkardiogramları üzerinde çalıştık. Elektrokardiogramda bu iki hadiseyi her zaman birbirinden kolaylıkla ayırdedemiyoruz. İkisini birbirinden ayıran önemli vektörkardiografik parametreleri şöylece sıralayabiliriz:

Horizontal Planda

A. QRS halkasının

1) Yarı alan ventörünün yönü

Sağ ventrikül hipertrofisi	Sağ dal bloku
% 85 (17 vaka)	% 10 (2 vaka) > 90°
% 15 (3 vaka)	% 80 (16 vaka) < 90°

olup, önemli bulunmuştur ($P < 0.001$).

2) Sağ ventrikül hipertrofisinde maksimal vekör $+ 94^\circ$ ile 155° , ortalama, $125^\circ \pm 4.9^\circ$ olup, sağ dal blokunda inisyal maksimal vektor $+ 10^\circ$ ile -30° , ortalama $-10 \pm 1.9^\circ$ olup, aralarında önemli fark vardır ($P < 0.001$).

3) Maksimal vektörün voltajı, sağ ventrikül hipertrofisinde genellikle 0.05 mV. dan büyük, sağ dal blokunda ise 0.50 mV. dan küçük olup, fark önemlidir ($P < 0.001$).

4) 0.03 sn. vektörünün yönü,

Sağ ventrikül hipertrofisi	Sağ dal bloku
% 85 (17 vaka)	% 0 > 90°
% 0	% 100 + 20° ile -30°

Fark önemlidir ($P < 0.001$).

5) 0.04 sn. 0.05 sn. vektörlerinin yönü sağ ventrikül hipertrofili bütün vakalarda $+ 90^\circ$ den büyük olduğunu, sağ dal blokunda $+ 20^\circ$ ile -30° arasında yer aldığınoticedik, ($P < 0.001$).

Frontal Planda

1) QRS halkası yarı alan vektörünün yönü,

Sağ ventrikül hipertrofisi Sağ dal bloku

% 65 (13 vaka) % 30 (16 vaka) > 90°

% 35 (7 vaka) % 70 (14 vaka) < 90°

önemlidir ($P < 0.001$).

2) Maksimal vektörün yönü,

Sağ ventrikül hipertrofisi (İnisyal maksimal vektör)

Sağ dal bloku

% 70 (14 vaka) % 0 > 90°

% 0 % 85 (17 vaka) 0-45°

önemlidir ($P < 0.001$).

Sağ ventrikül hipertrofisi ile sağ dal blokunun birbirinden ayırdedilmesinde az önemli bulduğumuz parametreler:

Frontal Planda

1) Sağ ventrikül hipertrofisinde maksimal vektör $123^\circ \mp 9.5^\circ$, sağ dal blokunda $+ 170^\circ \mp 5.7$ olup, önemi azdır. ($P < 0.005$).

2) Maksimal vektörün voltajı, sağ ventrikül hipertrofisinde 0.55 ∓ 0.051 mV. sağ dal blokunda 0.34 ∓ 0.027 mV. olup, az önemlidir ($P < 0.005$).

3) T halkasının maksimal ve yarı alan vektörleri birbirine eşit olup, sağ ventrikül hipertrofisinde $+ 45^\circ \mp 6.4^\circ$, sağ dal blokunda $+ 24^\circ \mp 4.46^\circ$ olup, önemi azdır ($P < 0.005$).

Sağ ventrikül hipertrofisi ile sağ dal blokunun ayırdedilmesinde vektörkardiogramda ötemsiz bulduğumuz parametreler:

1) Horizontal planda sağ ventrikül hipertrofisinin maksimal vektörü ile sağ dal blokunun terminal maksimal vektörleri arasında önemli bir fark bulamadık.

2) Horizontal planda sağ ventrikül hipertrofisi ve sağ dal blokunda T halkasının maksimal ve yarı alan vektörleri arasında da önemli fark bulamadık.

Ayrıca sağ ventrikül hipertrofisi ve sağ dal blokunu içeren 10 vakanın ve sağ dal bloku ile sol ön üst dalcık bloku gösteren 5 vakanın vektörkardiogramları da incelendi.

KAYNAKLAR

1. Scott, R. C.: Correlation between the electrocardiographic patterns of ventricular hypertrophy and anatomic findings. *Circulation*, **21**: 256, 1960.
2. Lipman, B.S., and Massie, E.: Clinical Scalar Electrocardiography, Chicago, Year Book Medical Publishers, 1965, p. 140.
3. Wilson, R. N., Rosenbaum, E. F., and Jonston, F. D.: Interpretation of the ventricular complex of the electrocardiogram. *Advances of Internal Medicine*, Interscience Publisher Inc. New York. **2**: 1, 1947.
4. Milnor, W. R.: Electrocardiogram and vectorcardiogram in right ventricular hypertrophy and right bundle branch block. *Circulation*, **16**: 348, 1957.
5. Pipberger, H. V., Bialek, S. M., Perloff, J. K., and Schnapper, H. W.: Correlation of clinical information in standart 12-lead ECG and in a corrected orthogonal 3-lead ECG. *Amer- Heart J.* **61**: 34, 1961.
6. Simonson, E., Schmitt, O. H., and Nakagawa, H.: Quantitive comparison of eight vectorcardiographic lead systems. *Circulation Research*, **7**: 206, 9.59
7. Hugenholz, D. G., and Gamboa, R.: Effect of chronically increased ventricular pressures on electrical forces of the Heart. *Circulation*, **30**: 511, 1964.
8. Chon, T. C., and Helm, R. A.: Clincal vectorcardiography, New York Grune, Stratton Publisher, 1970, p. 77, 133.
9. Delrio, R. et al.:Right budle branch block with right ventricular hypertropy. *Amer. J. Cardiol.*, **4**: 294, 1959.
10. Dickens, J., Maranhao, V., and Goldberc, H.: Right bundle branch block. A vector cardiographic and electrocardiographic study of ventricular septal defect following open heart surgery. *Circulation*, **20**: 201, 1959.
11. Massie, E., and Walsh, T. J.: Clinical vectorcardiography and electrocardiography. The Year Book Publishers. Inc. Chicago, 1960, p. 308.
12. Abildkov, J. A., Jackson, C. E., Burch, G. E., and Cronuich, J. A.: The Spatial vectorcardiogram in right bundle branch block. *Circulation*, **3**: 600, 1951.
13. Grishman, A., and Scherlis, L.: Spatial Vectrocardiography, W. B. Saunders Co., Philadelphia, 1952, p. 127.
14. Lasser, R. P., Borun, E. R., and Grishman, A.: A vectorcardiographic analysis of the RSR' complex of the unipolar chest lead electrocardiogram. III. *Amer. Heart J.*, **41**: 667, 1951.
15. Grishman, A., Scherlis, L., and Lasser, R. P.: Spatial Vectorcardiography. *Amer. J. Med.*, **14**: 184, 1953.
16. Kutsal A., Yalçın, Z.: Uygulamalı Temel İstatistik, Hacettepe Üniversitesi Baskısı, 1970.
17. Schmitt, O. H., and Simonson, E.: The Present Status of vectorcardiography. *Arch. Int. Med.* **96**: 574, 1955.
18. Lasser, R. P., and Grishman, A.: Spatial Vectorcardiography, W. B. Saunders Co. Philadelphia, 1952, p. 127.
19. Penalosa, O., Gamboa, R., and Sime, F. :Experimental right bundle branch blook in the normal human heart. *Amer. J. Cardiol.*, **8**: 767, 1961.
20. Gueto, J., Toshima, H., Armijo, G., Tuna, N., and Lillehei, C. W.: Vectorcardiographic studies in acquired valcular disease with reference to the diagnosis of riht ventricular hipertrophy. *Circulatin* **33**: 588, 1966.

21. Fowler, N. E., and Helm, R. A.: The Spatial QRS loop in right ventricular hypertrophy with special reference to the initial component. *Circulation*, **7**:573, 1953.
22. Miquel, C., Sodi Pallares, D., Cisneros, F., Pilegi, F., Medrano, Bistení A.: Right bundle branch block and right ventricular hypertrophy. *Amer. J. Med.* **1**: 57, 1958.
23. Del Rio, R., Medrano, G., Rubio, V., Olca, J., Soin, J., Sodi-Pallares, D.: Right bundle branch block with. Right ventricular hypertrophy. *Amer. J.Cardiol.*, **4**: 294, 1959.
24. Cabrera, E., and Gaxiola, A.: Diagnostic contribution of the vectorcardiogram in hemodinamic overloading of the heart. *Amer. Heart J.*, **60**: 296, 1960.
25. Castellanos, A., Hernandez, F. A., Lemberg, L., and Castellanos, A., Jr.: The vectorcardiographic criteria of hemodynamical overlaodings in congenital heart disease. *Cardiologia*, **44**: 392, 1964.
26. Khoury, G. H., Fowler, R. S., and Keith, J. D.: The vectoracrdiogram in ventricular septal defect. Analysis of 100 cases and correlation with the hemodynamics, Proc. Long Island Jewish Hospital, VCG Symposium, J. B. Lippincott Company, Philadelphia, 1966, p. 299-306.
27. Karamehmetoğlu, A.: Interatrial septal defekt vakalarında postoperatif vektör-kardiografik değişiklikler. Montreal Kardiyoloji Enstitüsü, 1964.
28. Benchimol, A., Tio, S.: Early involutionary vectorcardiographic signs of right ventricular hypertrophy. *Amer. Heart J.*, **80**: 19, 1970.
29. Pipberger, H.U.: Evolution of quantitative methods for obtaining mean spatial vectors. *Circulation* **16**: 926, 1957.
30. Bristow, J. D.: A study of the normal Frank vectorcardiogram. *Amer. Heart J.*, **61**: 242, 1961.
31. Skolow, M., and Lyon, T. P.: The ventricular complex in right ventricular hypertrophy as obtained by unipolar precordial and limb leads. *Amer. Heart J.* **38**: 273, 1949.
32. Johnson, R. L., Averill, K. H., Lamb, L.E.: Electrocardiographic findings in 63375 asymptomatic subjects IV. Right bundle branch block, *Amer. J. Cardiol.* **6**: 143, 1960.
33. Baydar, I.D., Walsh, T.J., and Massie, E.: A vectorcardiographic study of right bundle branch block with the Frank lead system clinical correlation in ventricular hypertrophy and chronic pulmonary disease. *Amer. J. Cardiol.*, **15**: 185, 1965.
34. Gardberg, M. and Rosen, I. L.: The Cube vectorcardidgram in various degrees of right bundle branch block. *Amer. J. Cardiol.*, **2**: 572, 1958.
35. Friedman, H. H.: Diagnostic electrocardiography and vectorcardiography. McGraw-Hill, Inc. New York, 1971, p. 102, 141, 163, 166.

Çekirdek İçi Kristaller*

Dr. Alparslan Özyazıcı** / Dr. İlhan Kerse***

Kristalloid inklüsyonlar eskiden beri bazı hücrelerde gözlenen yapılardan olup, ışık mikroskopistler tarafından tarif edilmiştir. Buna en güzel örnek, testisteki Leydig hücrelerinin sitoplasmalarında tarif edilen Reinke kristalleridir.³

Elektron mikroskobunun biyolojik araştırmalarda kullanılışından sonra, farklı hücrelerin değişik yerlerinde kristalloidler gösterilmiştir.

Kristalloidler, sitoplazmada serbest olarak görüldüğü gibi, mitokondriyonların matrikslerinde,¹² mikrocisimlerin içerisinde,⁸ Golgi kompleksi vezikülleri içinde⁷ ve granüllü endoplazma retikulumlarının lümenlerinde gösterilmiştir.⁹ Ayrıca Juxta glomeruler hücrelerde olduğu gibi, bazı hücrelerin salgı granüllerinde, bazofil lökositlerin, eozinofil lökositlerin ve mast hücrelerinin granüllerinde kristalloid yapılarının bulunduğu birçok araştırcı tarafından belirtilmiştir.

Çekirdek içi (Intranükleer) kristaller, köpek, kurt ve çakal gibi karnivörlerin karaciğer parankim hücrelerinde sıkılıkla gözlenmektedir.⁴

Üniversitemizde yapılan pekçok araştırmada köpekler deney hayvanı olarak kullanılmaktadır. Ultrastrüktürel ve deneysel çalışmalarda yanlış bir değerlendirmeye meydan vermemek için, bir araştırmamızda sıkılıkla rastladığımız kristaller üzerinde bir kez daha durmayı uygun bulduk.

Materyal ve Metot

Karışık tip 4-5 yaşlarındaki sokak köpeğinin, anestezi altında, karaciğerinden alınan parçalar, elektron mikroskop metodu ile rutin olarak hazırlandılar.

* Hacettepe Üniversitesi Tıp Fakültesi Histoloji-Embriyoloji Bilim Dalı Çalışmalarından.

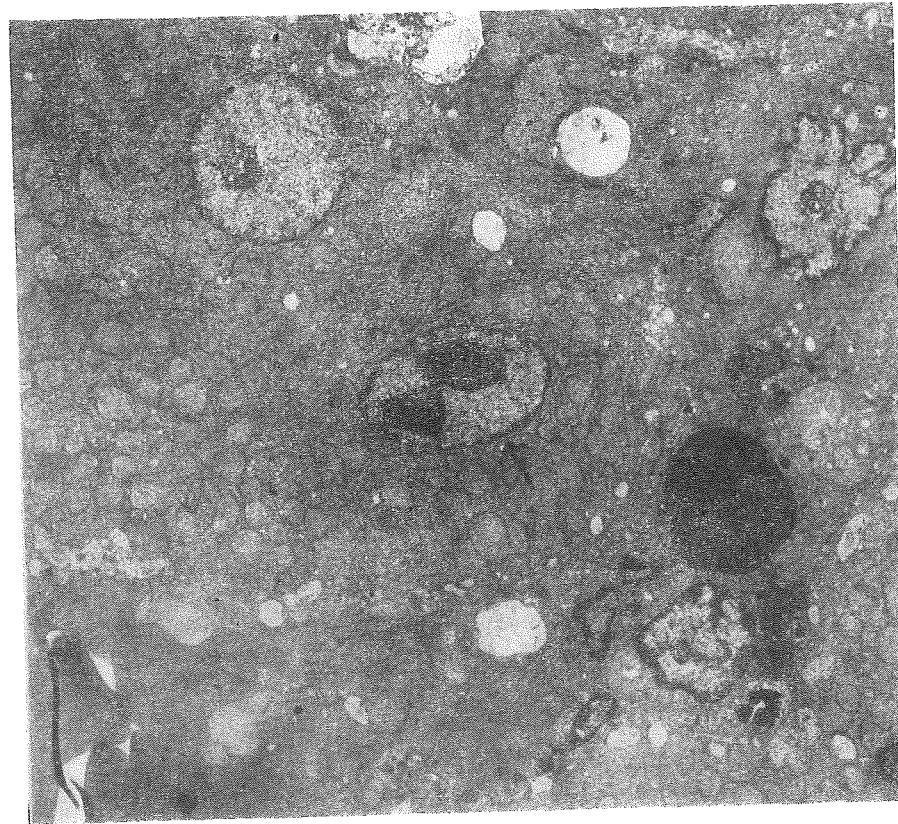
** Aynı Fakülte Histoloji-Embriyoloji Bilişim Dalı Eylemli Doçenti.

*** Aynı Fakülte Histoloji-Embriyoloji Bilim Dalı Profesörü ve Bölüm Şefi.

İnce kesitler LKB ultratomu III ile alındı. Kesitler, osmiyum tetroksit ve sitrat ile karma boyandı ve resimler 2 S'e modifiye Carl Zeiss EM 9 A tipi elektron mikroskopla çekildi.

Bulgular

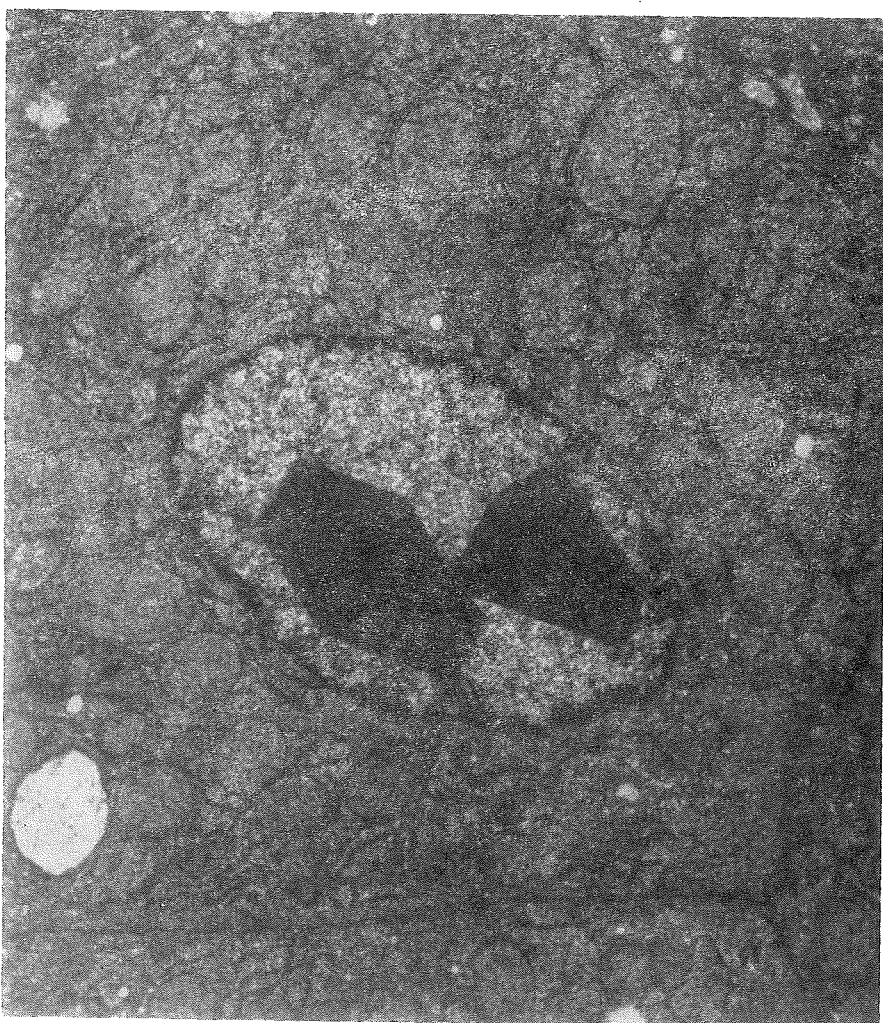
Karaciğer parankim hücreleri düzgün hücre sınırları ve genellikle normal yapıdaki çekirdekleriyle gözlendi (Şekil 1,2). Normal yapıdaki karaciğer hücrelerinden bazlarında, çekirdeklerin içerisinde, koyu osmofilik ve keskin sınırlı, değişik poligonal şekilli yapılar dikkat çekiyordu. Bunlar intranükleer kristallerdir. (Şekil 1-5)



Şekil 1

E. M. düzeyinde köpek karaciğerinden genel bir görünüm. Ok ile gösterilen bir parankim hücresi çekirdeğinde iki adet poligonal şekilli ve elektron yoğun kristalloid gözlenmektedir. X 5700.

Kristaller bazı hücrelerin çekirdeklerinde tek (Şekil 3), bazlarında ise çift idi (Şekil 1,2). Kristaller ufak büyütmelerde koyu ve homojen



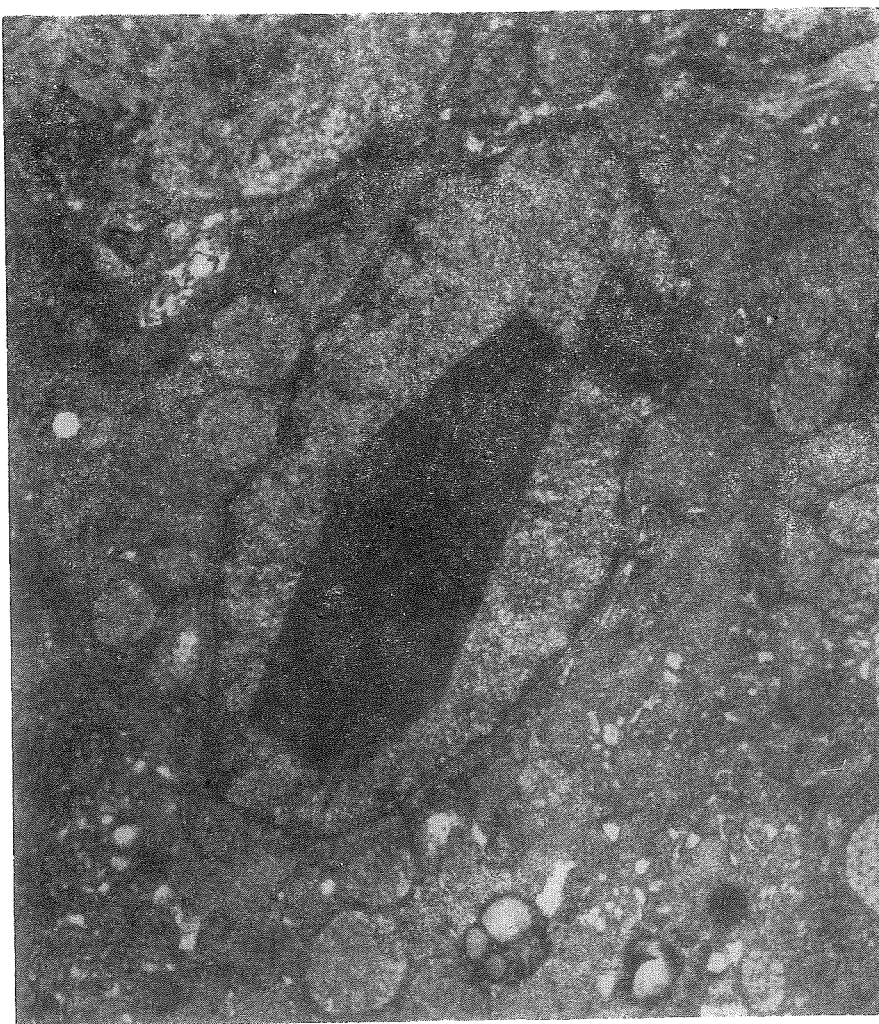
Şekil 2

Şekil 1 de gözlenen çekirdeğin daha büyük büyütmede görünümü. X 14100.

bir görünüşte idi (Şekil 1,3). Daha büyük büyütmelerde ise matriks noktacıklı bir görünüm sahipti (Şekil 5). Kristalin üst yapısında noktacıklar düzgün ve ince paralel çizgiler oluşturmaktadır.

Tartışma

Kristalloidler uzun yillardan beri ışık mikroskopistleri tarafından bazı hücrelerde tariflenen ilgi çekici yapılardır. Testisin Leydig hücreleri sitoplasmalarında tarif edilen Reinke Kristalleri bunlardan biridir.³

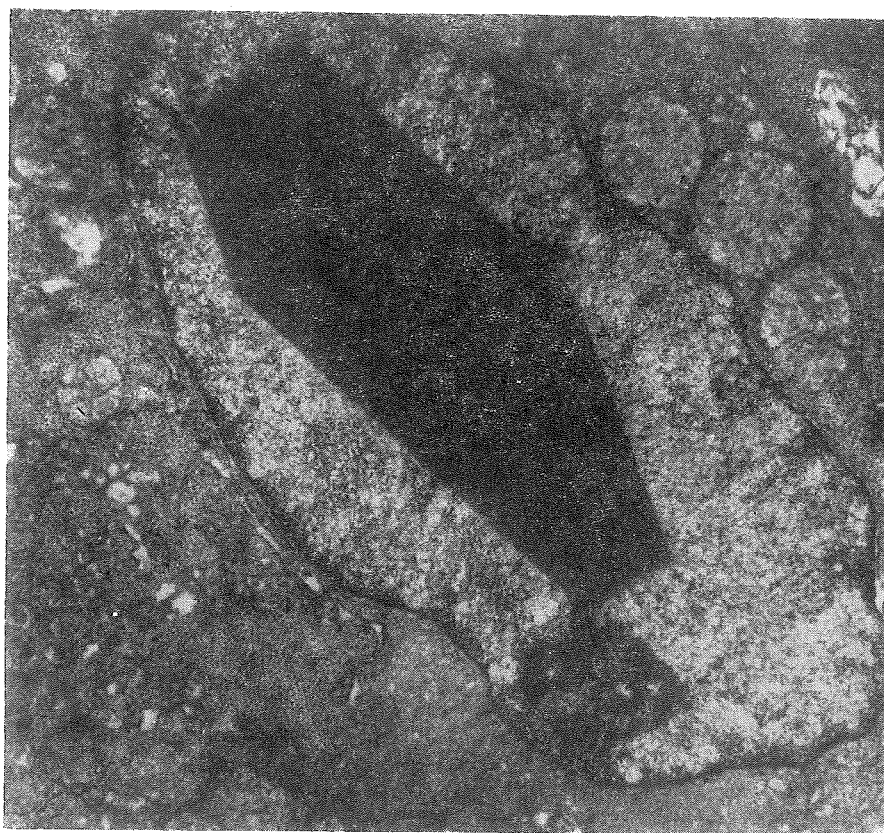


Şekil 3

Başka bir şekilde olan intranükleer kristalloid gözlenmekte. X 14100.

Elektron mikroskop çalışmaları ile farklı hücrelerin değişik yerlerinde kristalloid inklüzyonları gösterilmiştir. Golgi kompleksi vezikülleri içinde,⁷ Mikrocisimler içinde,⁸ granüllü endoplazma retikulumu lümeninde ve mitokondrion matriksinde¹² gösterilmiştir. Ayrıca böbrek Juxta glomeruler hücrelerinde, bazı salgı granüllerinde, bazofil ve eozinofil lökositler ile mast hücrelerinde kristalloidler gösterilmiştir.²

Çekirdek içi (intranükleer) kristallere, köpek, kurt ve çakal gibi karnivörlerin karaciğer parankim hücrelerinde gözlenmiştir.⁴

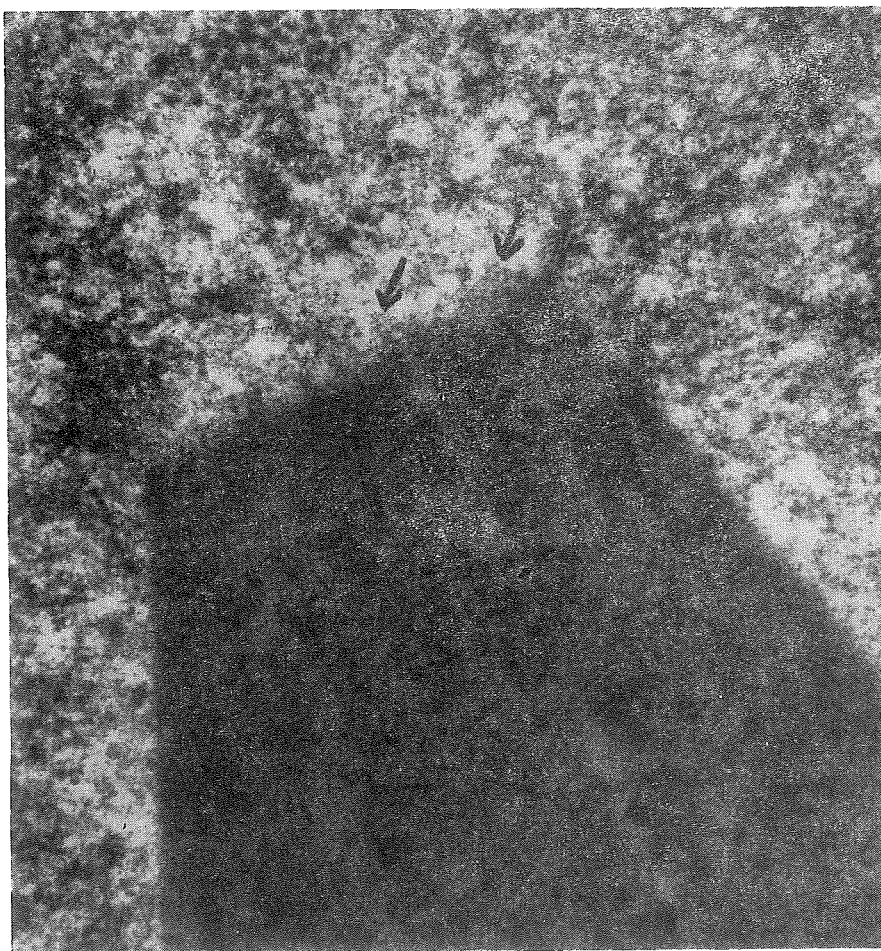


Şekil 4

Şekil 3 deki çekirdeğin daha büyük büyütmede görünümü. Kristalloidin bir köşesi nukleolusla ilişkili olarak gözlenmekte. X 25500.

Karasaki, intranükleer kristalleri, ekinodermlerin ovaryumunda bulunan bazı fagositik hücre çekirdeklerinde bulunduğunu göstermiştir.^{2,6} Ancak, bu araştırmacıların gösterdiği intranükleer kristaller ile bizim köpek karaciğerinde görmüş olduğumuz kristaller arasında bazı morfolojik farklar vardır. Karasaki'nın bulgalarında kristaller tam bir kare şeklinde idi. Aynı zamanda, kristallerin kenarları kesin olarak belirgindi. Bizim bulduğumuz intranükleer kristalin yapısı daha çok poligonal yapıya yakın şekilde idi. Kenarları ise çekirdek matriksi ile keskin bir hudutlanma göstermiyordu. Adeta çekirdek matriksi ile devamlılık göstermekte idi. Bu, belkide kristalin oluş mekanizması hakkında bir ipucu verebilmektedir.

Intranükleer kristaller, çekirdek matriksini oluşturan kimyasal elementlerden yapılmaktadır.



Şekil 5

Şekil 3'deki kristalloidin daha büyük büyütmede görünümü. Kristalloid çevresi yoğun olmakla beraber, bazı yerde çekirdek matriksine yayılan ve DNA granülleri ile uzanan noktalı bir görünüm göstermekte (ok). Kristalloidin iç yapısı bu büyütmede yer yer daha sık noktacıklı bir yapı göstermeyecektir. X 93000.

Kristalloidlerin kimyasal yapısının protein olduğu çoğu kez bildirilmiştir.² Ancak, Vandenhevvel, 1962 yılında yayınlamış olduğu makalesinde kristalloidlerin yapısında, proteinle birlikte lipidlerin de bulunduğuunu belirtmiştir.¹⁰ Yani, kristalloidin yapısı bir lipoproteindir. Hatta, Hamilton ve arkadaşları,⁵ 1966 yılında yayınlamış oldukları bir makalelerinde, daha çok kristalloidlerin bu kimyasal yapısına dayanarak sitoplazmada serbest olarak yer alan kristalloidlerin bir gıda deposu olabileceğini ileri sürmüşlerdir.

Histokimyasal çalışmalarında, kristalloidlerin yapısında bol miktarda demir bulunduğu gösterilmiştir.² Hatta, Bertolini, karaciğer hücrelerinde ferritin moleküllerinden meydana gelen kristalloid cisimleri tarif etmiştir.¹ Hatta, Bertolini bu yapıların gösterdiği histokimyasal özelliklerin benzerliğinden dolayı, bunları lizozomların transformasyonu ile oluşmuş yapılar olarak tariflemiştir.¹ Halen inandırıcı bulgular yeterli değildir. Sonuç olarak şunu söyleyebilirizki, kristalloidlerin ultrastrüktürel ve histokimyasal yönünden, özellikle fonksiyonlarının anlaşılması bakımından üzerinde durulması gereken morfolojik yapılardır.

Özet

4-5 yaşlarındaki sokak köpeklerinin karaciğer parankim hücrelerinde görülen çekirdek içi kristaller elektron mikroskopta incelendi. Bulgular, literatür bulgularıyla birlikte tartışilarak neticeleştirildi.

KAYNAKLAR

1. Bertolini, B.: The structure of the liver cells during the life cycle of a brook-hamprey. *Z. Zellforsch. Mik. Anat.*, **67**: 297, 1965.
2. Fawcett, D.W.: An Atlas of fine structure of the Cell. Its organelles and inclusions. W. B. Saunders Co., Philadelphia, 1966, pp. 319, 329.
3. Fawcett, D. W., and Burgos, W. H.: Studies on the fine sturucture of the mammalian testis II. The human interstitial tissue. *Amer. J. Anat.*, **107**: 245, 1960.
4. Gueft, B., and Kikkawa, Y.: The periodic structure of nuclear and cytoplasmic crystals of dog liver cells. In: *Electron Microscopy* (fifth Internat. Congr. For E. M.) (S. Brese, ed.), T-5 New York: Academic Press, 1962.
5. Hamilton, D. W., Fawcett, D. W., and Christensen, A. K.: The liver of the slender salamander Batrachoseps Attenuatus. The structure of its crystalline inclusions, *Z. Zellforsch. Mik. Anat.*, **70**: 347, 1966.
6. Karasaki, S.: Studies on amphibian yolk I. The ultrastructure of the yolk platelet. *J. Cell Biol.*, **18**: 135, 1963.
7. Strunk, S. W.: The formation of intracellular crystals in midgut glands of limnoria lignorum. *J. Biochem. Cytol.*, **5**: 385, 1959.
8. Tandler, B., and Shipkey, F. H.: Ultrastructure of Warthin's tumor II. Crystalloids. *J. Ultrastruct. Res.*, **11**: 306, 1964.
9. Thiery, J. P.: Microcinematographic contributions to the study of plasma cells. In: *Ciba Foundation Symposium on Cellular Aspects of Immunity*, p. 59-91, 1960.
10. Vandenheuvel, F.A.: The origin, metabolism, and structure of human serum lipoproteins. *Canad. J. Biochem. Physiol.*, **40**: 1299, 1962.
11. Venable, J.H. and Coggeshall, R.: A simplified lead citrate stain for use in electron microscopy. *J. Cell Biol.*, **25**: 407, 1965.
12. Wills, E. J.: Crystalline structures in the mitochondria of normal human liver parenchymal cells. *J. of Cell Biology*, **24**: 511, 1965.

Akut Nekrotizan Fasitis*

Dr. Ali Ayhan / Dr. Kemal Üstay** / Dr. Ahmet H. Durukal*****

Pelvik cerrahinin en önemli ve sık görülen komplikasyonlarından biri de halâ infeksiyondur. Çoğu uygun antibiotik tedavisi ile kolayca kontrol edilebiliyorsa da halen fatal seyirli infeksiyonlarda görülmektedir. Özellikle doku nekrozu ve gangren oluşturan mikroorganizmalarda meydana gelen infeksiyonlarda mortalite yüksek olup % 20-50 arasında değişmektedir.

Benzer biyolojik davranışlarına rağmen etiyoloji prognoz ve tedavileri farklı üç tip ilerleyici letal nekrotizan infeksiyon bilinmektedir. Bunlar gazlı gangren nekrotizan fasitis ve ilerleyici “sinerjik bakteriel gangren”dir. Son ikisinin aynı olayın farklı klinik şekilleri olduğu üzerinde durulmaktadır.³

Kliniğimizin 15 yıllık uygulamasında saptanan bir akut nekrotizan fasitis nedeni ile kısaca konuya değnilip olgu takdim edilecektir.

Nekrotizan fasitis: Oldukça fulminan seyirli, cild altı ve fasia nekrozu cild altında tüneller şeklinde doku harabiyeti ve bu leze kisma isabet eden cild bölgesinde saatten saatte farklı mortofojik değişikliklerle karakterize bir klinik antitedir.^{3, 9, 10} Oldukça nadir olup hayatında bu tip infeksiyonla karşılaşmayan hekimler coğuluktadır.³

Nekrotizan fasitis, ilk kez (1871) de Joseph Jones tarafından hastane gangreni olarak tanımlanmıştır.^{3, 8}

Pfanner (1918) lezyonu nekrotizan erizipel olarak bildirmiştir.³

Meleney (1924) infeksiyona akut hemolitik streptokokkal gangren ismini vermiştir.⁶

Wilson (1952) hastalığa has klinik özellikleri tanımlayarak ilk kez nekrotizan fasitis ismini kullanmıştır.^{3, 9, 10}

* Hacettepe Üniversitesi Tıp Fakültesi Kadın Hastalıkları ve Doğum Bilim Dalı Çalışmalarından.

** Hacettepe Üniversitesi Tıp Fakültesi Kadın Hastalıkları ve Doğum Bilim Dalı Öğretim Üyesi.

*** Aynı Fakülte Genel Cerrahi Bilim Dalı Asistanı.

Crosthwait ve arkadaşları (1964), Beathard Guckain (1967) ve Rea Wyrick (1970) konuya ilgili yaynlarda bulunmuşlardır.^{2, 4, 9, 11}

Halen ülkemizde konuya ilgili yeterli yayına rastlanmamaktadır.

Nekrotizan fasitis, ekstremitelerde, karın duvarında, inguinal, gluteal ve subkostal bölgelerde, kalçalarda, bel-sırt boyunda ve endopelvik fasiada lokalize olmaktadır.⁸

Genellikle cerrahi girişimleri, travmaları infeksiyonları izlemekte hatta spontan* olarak meydana gelebilmektedir.^{3, 8}

Genel sistemik hastalıklar, şişmanlık, arteriosklerosis, kötü beslenme ve hastanın yaşlı olması lezyona yatkınlığı artırmakta ve ağır seyretmesine neden olmaktadır.³

Etken olarak antibiotic çağından önce A grubu β hemolitik streptokoklar ön plandaydı. Bu gün için nekrotizan fasitisle ilgili görülen mikroorganizmler aşağıda verilmiştir.^{3, 8} (Tablo I).

TABLO I
NEKROTİZAN FASİTİSLER İLGİLİ GÖRÜLEN MİKROORGANİZMLER⁸

a. A grubu Beta - hemolitik streptokoklar	e. Bacteroides
b. Hemolitik Stafilocoklar	f. Parakolon
c. E. Koli	g. Enterekoklar
d. Klepsiella	h. Proteus

A grubu beta hemolitik streptokoklar, vakaların % 25-46'sının kanında üretilmiştir. Wilson % 58 vakada hemolitik mikroorganizmleri üretmiş ancak bunların % 88 nin hemolitik stafilocoklar olduğunu göstermiştir.¹⁰ Crosthwait ve arkadaşları % 57 ve Rea ve Wyrick % 44,5 streptokoklar, üretmişlerdir.^{4, 9} Bu son araştırcılar % 44,5 da stafilocokları üretmişler ve % 11 de mikst ajanlar saptamışlardır.⁹

Klinik olarak hastalarda, kısa sürede orientasyon bozukluğu, apati ve toksik bir tablo gelişir. Genel infeksiyon belirtileri yanında leze sahaya rastlayan cild bölgesi koyu kırmızı bir renk alır. Üzerinde ekimoz, büller ve nekroza sahalar dikkati çeker. Bu morfolojik değişiklikler kısa sürede oluşur. Ayrıca ödem vardır. Cild altı ve fasiada nekroza sahalar dikkati çeker. Üstelik fasia boyunca yayılan nekroze defektif tüneller saptanır. Başlangıçta ağrılı olan sahalar zamanla yerini anesteziye bırakır (sinir tahribi). Lezyon sekonder olarak adele, kemik ve diğer dokulara yayılır. Lenfangitis ve adenitisde sık rastlanan bulgulardandır. Nekrotizan fasitte meydana gelen klinik özellikler ve görülüş sıklıkları aşağıda verilmiştir^{1, 3, 7, 10} (Tablo II).

* Bartolin apsesine herhangi bir girişimde bulunmadan oluşmuş.

TABLO II
KLİNİK ÖZELLİKLER VE GÖRÜLME SIKLIĞI

Görülen Lezyonlar	%
Cild altı ve fasial nekroz	100
Sellülitis	93
Ödem	81
Oriantasyon bozukluğu ve apati	41
Cild değişiklikleri	36
Gangren	34 - 48 (Wilson) 100 (Meleney)
Cildte anestezi	27
Sarılık anemi	18
Vesikül ve büller	11
Septik şok	11
Erizipel	4,5-43-(Wilson) 6 (Meleney)
Gaz ve kripatasyon*	4,5

* Diabetlide E. Coli İnfeksiyonu

Tanıda: Klinik bulgular, pü ve debirite edilen fasia ve doku kesitlerinden yaymaların gram boyası ile boyanması ve aynı örneklerden özel anaerobik ve aerobik kültürlerin yapılması ile etken izole edilerek tanıya gidilir. Bugün için tanıda önemli olan klinik özelliklerin bakteriolojik bulgu ile desteklenmesidir.^{3,5}

Tedavide

1. Cild, cild altı ve fasianın geniş debridmanı
2. Debrite edilen sahaların iyileşmesine sekonder infeksiyona mani olmak için aşağıdaki önlemler alınır.
 - a) Dakin solusyonu, Zincperkoksit, hidrojenperoksid ve neomycin veya polymiksinsel serum fizyolojik solusyonlarından biri ile günde 3-4 defa yara temizlenip bu solusyonları içeren gazlı bez konur.
 - b) Antibitoik tedavinin önemli bir bölümünü oluşturur ve infeksiyonu kontrol eder. Seçilecek ajanlar arasında vasküler sahalara penetre olabilen yüksek doz penicilin ve ilaveten duyarlı antibiotik verilir.
3. C.V.P* bakarak IV mayı ve elektrolit defisiti yapılır.
4. Mükerrer taze kan transfüzyonları yapılır. (Volüm ve yara iyileşmesi bakımından).
5. Bunlarda kalsiyum eksikliği olur. Onun için glukonat şeklinde kalsiyum verilir.

* Sentral Venoz basınç

6. Kortikosteroidler yüksek dozda verildiğinde faydalıdır. Bütün bunlara rağmen mortalite % 8,7 ila 63 arasında değişmektedir.^{9, 10, 11}

Vaka Takdimi

1106320 prot. T. A. 52 yaşında, 32 yıllık evli diabetik hasta, 3 yaşayan çocuğu var. Vaginal kanama nedeni ile 13.4.79 tarihinde Hacettepe Üniversitesi Tıp Fakültesi Hastanesi Kadın Doğum Kliniğine yatırıldı. Öyküsünden mevcut şikayetinin bir yıllık adet kesimini takiben başladığı bel ve kasık ağrısının ilave olduğu saptandı. Özgeçmişinde süspansion ameliyatı geçirdiği öğrenildi. Muayenesinde uterus normal büyüklükte ve batın duvarına yapışık olarak bulundu. Hastaya diabet ve post menopozal kanama tanısı kondu. Diabeti ilaçla (insülin) kontrol edildi. Serviko vaginal sitolojik muayenesi negatif olarak tesbit edildi. Diğer rutin tetkikler (Hb, Het-BUN, creatin, EKG, akciğer grafisi) normaldi. 30.5.1979 da hastaya genel anestezi altında* TAH + BSO yapıldı. Post operatif 3.cüünde hastada ateş (38 derece), taşikardi, insizyon yerinde ödem, ağrı, insizyon yeri dahil solda sırtadogru cildde koyu kırmızı renk değişikliği ve vesiküler gözlendi. Üstelik bölgesel bezler atake idi. Ameliyat sonu 5 ci gün büller oluştu ve hasta apatik ve toksik bir tabloya girdi. İnsizyondan yara direne edildi. Dikişler alındı. İnsizyon soldan bele doğru 30 cm. kadar uzatıldı. Bol pü geldi, cild altı dokusu ve fasia nekroze olmuştu. Ayrıca cild altında fasia boyunca özellikle soldan bele sırtta doğru yayılan nekrozlu dekstrüktif lezyonları içeren tüneller mevcuttu. Cilt altı dokusu ve fasia geniş olarak bütün tüneller boyunca debirite edildi. Bizzat fasia ve pü materyalinden anaerop hemolitik stafilocoklar üretildi. Hastaya 6 saatte bir pansuman yapıldı. Hidrojen peroksidli gaz kondu. 30.000.000 kristalize penicilin ve 3x80 mg garamicin başlandı. Ayrıca iki defa iki şişe taze kan verildi. Hiperalimentasyon uygulandı. İnfeksiyonun temizliğini müteakip telle sekonder sütür kondu. Gerekli tıbbi bakım yapıldı. Hasta şifa ile taburcu edildi.

Tartışma

Genellikle cerrahi yara, travma, injeksiyon sonu veya spontan olarak başlayabilir.^{1, 3, 8} Sunulan olguda lezyon ameliyat yarasında ve batın duvarında idi. Daha çok karın duvarı, ekstremiteler, endopelvik fasia gibi bölgelerde lokalize olmaktadır.⁸ İnfeksiyon nadir ve fulminan seyirlidir.³ Nitekim 15 yıllık klinik uygulamamızda sadece bir vaka gözlenmiştir. Diabet, arterosklerosis, yaş, beslenme gibi faktörler hastalığın прогнозunu olumsuz yönde artırmaktadır. Olgumuzun diabetik oluşu enfeksiyonun ağır seyretmesine neden oldu. Etken olarak, dominant

* Total Abdominal Histerektomi ve Bileteral Histerektomi.

mirko organizma A grubu β hemolitik stretopkoksa da yukarıda bildirildiği gibi çeşitli bakteriler etken olabilmektedir.^{3,8} Olgumuzda anaerop hemolitik stafilocok üretilmişti.

Karakteristik klinik bulgular yanında bül, kan, pü, özellikle nekrotik nekroze dokudan kültür ve yaymanın gram boyası ile boyayıp doğrudan bakteriolojik incelenim yaparak tanı konmaktadır.

Sunulan olguda klinik ve bakteriolojik olarak tanıda güçlük çekilmedi. Geniş debirtman, antibiotik, 6 saatte bir Dakin solusunu, H_2O_2 ile yara temizliği hiperalimentasyon, gerekli elektrolit ve mayi tedavisi, mükerrer taze kan transfüzyonları tedavinin esaslarını oluşturur. İlave olarak infeksiyondan temizlenen yaraya sekonder dikiş veya duruma göre greft konur.

Hastalıktan mortalite % 8,7 ila % 63 arasında değişmektedir.^{9,10,11} Prognoz erken tanı uygun tedaviye bağlıdır. Üstelik arteriosklerosis, diabet, kötü beslenme, şişmanlık, sistemik hastalıklar ve ileri yaş prognosunu olumsuz yönde etkileyen faktörler olarak sayılabilmektedir.

Lezyonun lokalizasyonu da prognozu etkilemektedir. Özellikle karın duvarı, toraks, baş ve boyun lokalizasyonları ekstremitelere göre daha tehlikelidir. Aşağıda araştırcıların farklı mortalite yüzdesleri verilmiştir (Tablo III).

TABLO III
NEKROTİZAN FASİTİSTE MORTALİTE HİZLARI^{2,3,4,9,10}

Araştıracı	%
Meleney (1933)	20 Peking
	50 (USA)
Wilson (1952)	8,7
Crosthwaitetal (1964)	31,0
Beathard and Guckain (1967)	50
Rea and Wyrick (1970)	30
	63 (diabet)

Özet

Abdominal duvarda nekrotizan fasitisi olan bir olgu takdim edildi. Kültür ve doku kesitlerinde olaydan sorumlu olarak staf. (ae. ve anaerobik hemolitik) saptandı. Diabetin hastalığın başlangıcını hızlandırdığı kanısına varıldı. İlgili literatür gözden geçirildi.

KAYNAKLAR

1. Bahary, M. C., et al.: Necrotizing Fasciitis, *Obstet and Gynecol*, **50**: 633, 1977.
2. Beathard, G. A., and Guckain, J. G.: Necrotizing Fasciitis due to group A Beta Hemolitic streptococci, *Arch Intern Med.* **120**: 63, 1967.
3. Borkowf, H.: Bacterial Gangrene Associated with Pelvic Surgery, *Clinical Obstetrics and Gynecology*, **16**: 40, 1973.
4. Crosthwait, R. W. et al.: Necrotizing Fasciitis, *J. Trauma* **4**: 149, 1964.
5. Daly, W. J. et al.: Progressive Necrotizing Wound Infections in Postirradiated Patients, *Obstet and Gynecol*, **52**: 5, 1978.
6. Meleney, F. L.: Hemolitic Streptococcus Gangerene, *Arch Surg* **9**: 317, 1924.
7. Melluzzo, P. J., et al.: Necrotizing Fasciitis in Necrotic Addicts, *Am. Sur.* **42**: 2, 1978.
8. Pruyn, C. S.: Acute Necrotizing Fasciitis of the Endopelvic Fascia, *Obstet and Gynecol*, **52**: 2, 1978.
9. Rea, W. J., and Wyrrick, W. J.: Necrotizing Fasciitis, *Ann Surg* **172**: 957, 1964.
10. Wilson B.: Necrotizing Fasciitis, *Am. Surg.* **18**: 416, 1952.
11. Wyrrick, W. J., and Rea, W. J.: Necrotizing Fasciitis, *Rev Surg.* **28**: 143, 1971.

